

Biotické krize a globální ekosystémy v historii Země

Úvod

Rostislav Brzobohatý

výběrovka 15

Země (dnes)

Geosféra – Hydrosféra – Atmosféra – Biosféra – Noosféra

Geologické faktory:

Kosmické – sluneční energie (teplo, světlo),

- záření (UV, kosmické),
- hmota (1 t/den, impakty mimozemských těles)

Zemské – geofyzikální pole (gravitační, magnetické, teplotní, elektrické)

- radiace (radioaktivní prvky – rozpad – teplo – výstup etc.)
- energetický systém (příjem sl. energ. – výdej vlastní energie)



zemský metabolismus = **látkové cykly**

geotektonické (horniny – 100 000 000 mil. t/rok),

geochemické (voda, C, N, S, O, P),

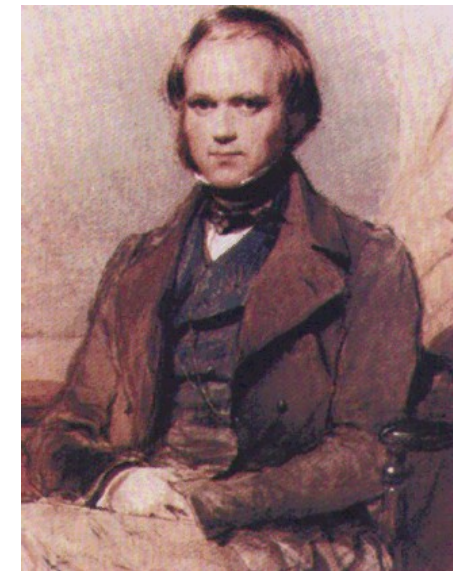
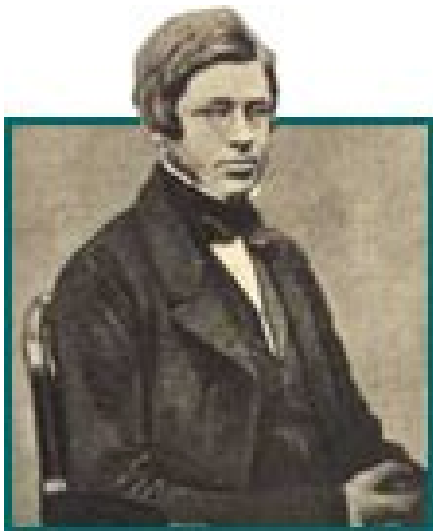
biologické (+ člověk – 50 000 mil. t/rok pevných materiálů)

Látkové cykly (jejich velikost)

- Hydrologický 500 000 000 mil.t/rok
- Tektonický 100 000 000 "
- Člověk 4 000 000 (voda) "
..... 50 000 jiné mat. "
- Biologický 200 000 "
- Sedimentární 10 000 "

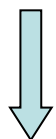
A.R. Wallace (1823-1913)

Ch. Darwin (1809-1882)



→ **evolucionismus** ←

Každý organismus je nositelem kvalit, které jsou konfrontovány s daným prostředím – výsledkem konfrontace je „fitness“ (**zdatnost, způsobilost**) a ta je různá u různých jedinců – jedinec s lepší způsobilostí zanechá více potomků – hlavním faktorem rozhodujícím o způsobilosti je přírodní výběr – některé rozdíly ve způsobilosti jsou dědičné =>

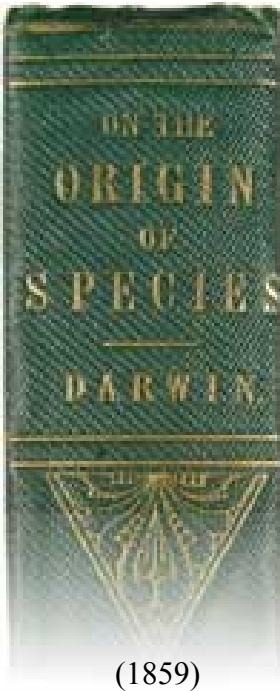
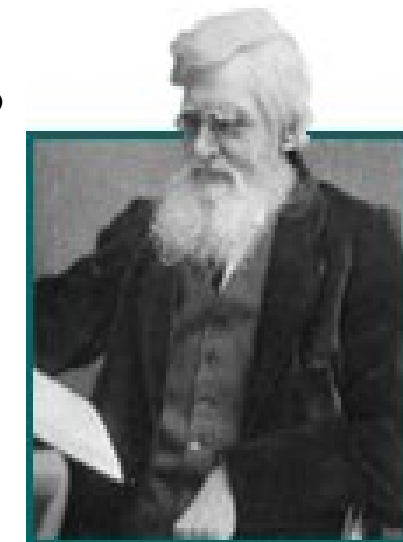


změna prostředí → změna hierarchie způsobilosti („fitness“) → posun v rozmístění způsobilosti u potomstva („struggle for life“ - „struggle“ = boj, ale také „úsilí“, přirozený výběr + pohlavní výběr, adaptace)

A.R. Wallace — biogeografie, rozšíření druhů živočichů a rostlin podle oblastí, klasifikace oblastí, srovnání druhů podle anatomické příbuznosti a paleontologického záznamu, druh vznikl jednou a na jednom místě a lze zjistit směry jeho šíření do jiných oblastí => **domněnka, že některé pevniny byly dříve spojeny;**



k pochopení současného rozšíření rostlin a zvířat je nezbytně nutný paleontologický základ

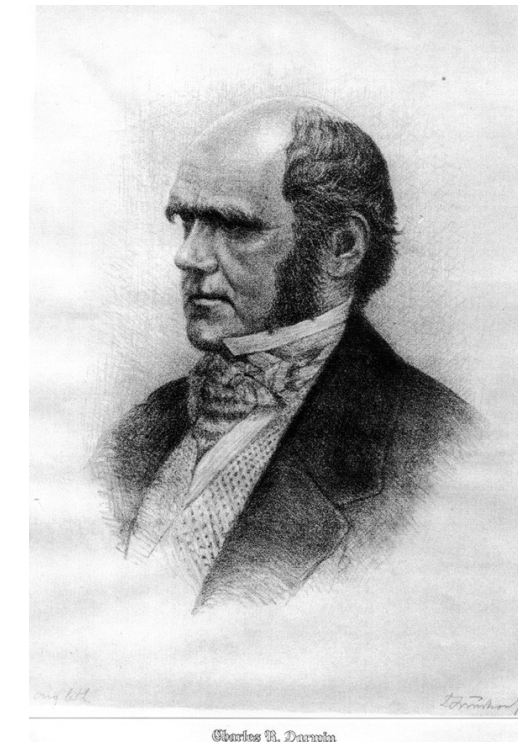


Ch. Darwin — formulace „teorie vzniku druhů“ – její zásadní přínos:

Druhy se mění vlivem přirozeného výběru (selekce) a získávají postupně a pomalu účelné vlastnosti (**gradualismus**) – akceptace sloganu „Natura non facit saltum“

ale

„I am convinced that natural selection has been the main but not the exclusive means of modification“



Charles R. Darwin

Tehdejší geologie a základní spor

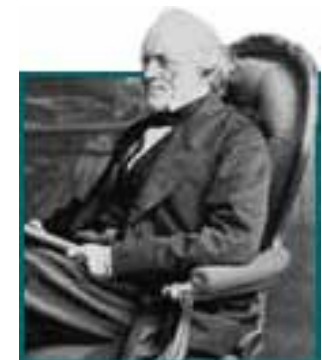
geologický čas v Darwinově době (trvání Země 200-400 Ma; Cm – recent ~ 60 Ma),
velmi malá znalost prekambria – zcela bezfosilní

**George Cuvier (1769-1832), katastrofizmus, ale kreacionista
(opakované stvoření)**



VERSUS

**Charles Lyell (1797-1875) – Principles of Geology (1830-1833):
„současnost klíčem k minulosti“, uniformismus (princip
aktuálismu, ontické chyby), stálost druhů
gradualismus**



Darwin se přiklonil k Lyellovi

Stručný přehled evolučních názorů zahrnujících geologii

Pierre Teilhard de Chardin (1881-1955)

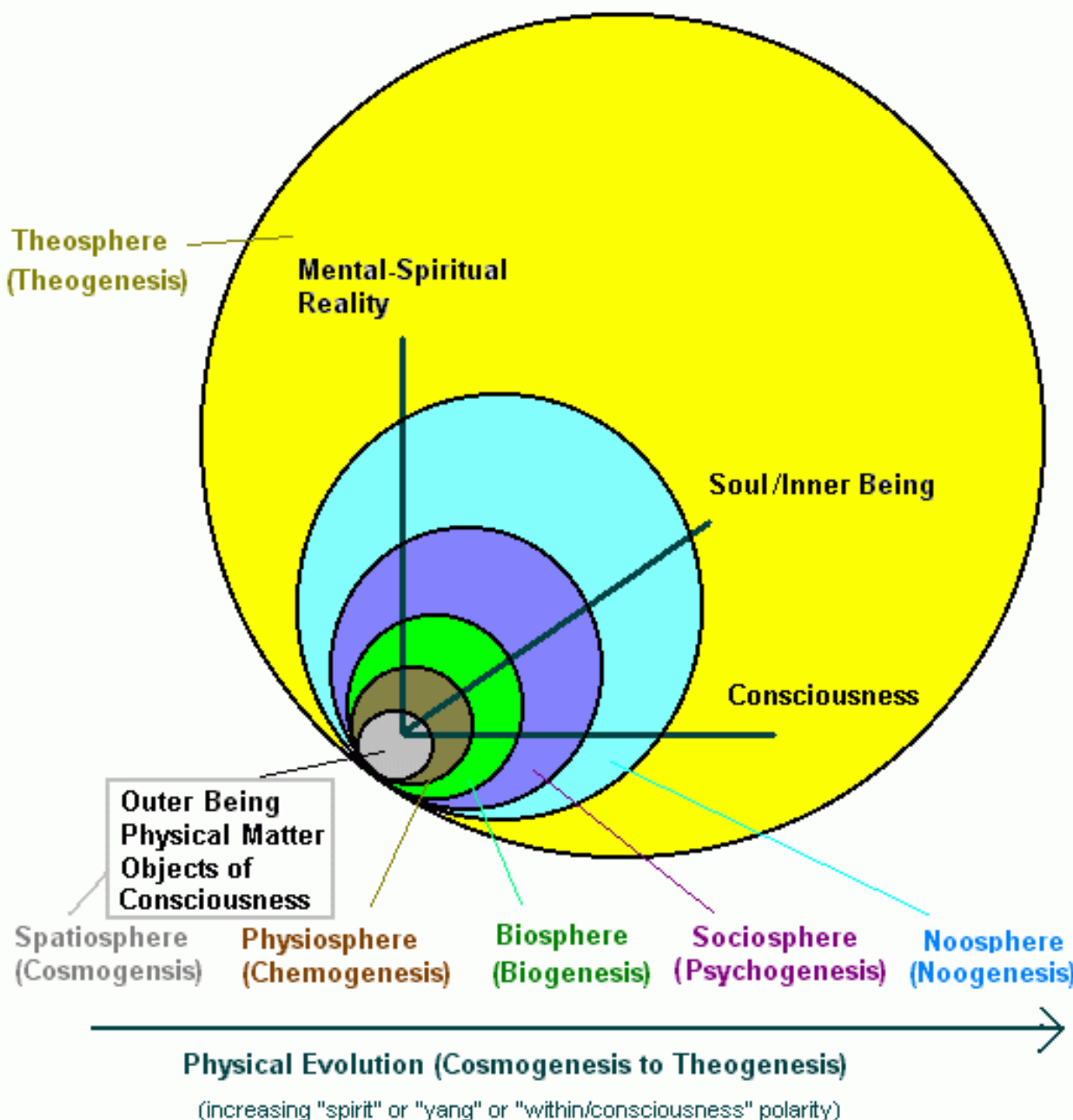


Pierre Teilhard de Chardin se narodil 1. 5. 1881 v Sarcenatu, Puy-de-Dôme. R. 1889 vstoupil do jezuitského řádu. Po filosofických a teologických studiích se specializoval na geologii a paleontologii. R. 1922 se stal profesorem geologie na Katolickém institutu v Paříži. Mnoho let strávil v Číně, kde se podílel na objevu a studiu sinantropa. R. 1940 založil v Pekingu Geobiologický institut. R. 1950 byl zvolen do francouzské Akademie věd. Jako člen americké Wenner Gren Foundation for Anthropological Research se pak zabýval studiem australopitěka. Zemřel v New Yorku 10. 4. 1955. Jeho hlavní myslitelská díla byla vydána až posmrtně. Řada jeho prací zůstává dosud v rukopise.

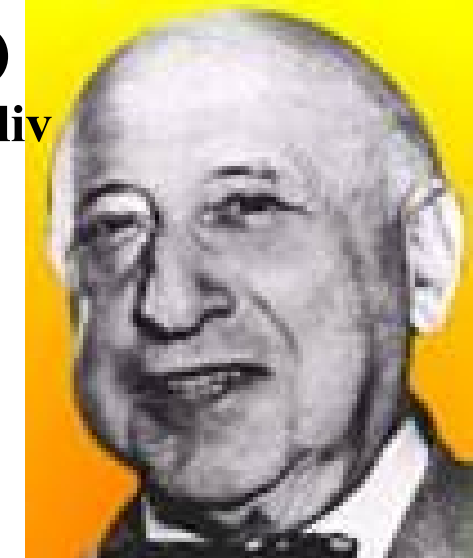
**Ortogeneze + emergentismus:
kosmogeneze, chemogeneze, biogeneze, noogeneze, christogeneze**



Emergentismus – jedna z verzí



Saltacionismus – Richard Goldschmidt (1878-1958)



- Kritika neodarwinismu a gradualismu (Evoluce probíhá nikoliv graduálně, ale skokovitě; selekce jako E mechanismus je nedostatečná)
- Spontánní mutace mohou vést k velkým reorganizacím genomu individuí
- Většina takových mutací je letální
- Některé náhodně přežívají a mohou být zdrojem preadaptací k novým podmínkám prostředí
- Takové mutace mohou být zdrojem nového druhu

Saltacionismus – odmítnut neodarwinisty a gradualisty (genetika nezná cestu velkých mutací k dědičné fixaci ?), přijat řadou paleontologů – především Otto Schindewolf:

„Typogeneze – typostáze – typolýza (typostrofická hypotéza)“

Paleontologický záznam totiž často ukazuje na náhlé objevení druhů, evoluce probíhá v etapách „evolučního vzryvu“ a „evoluční stasis“ (viz dále Flegr – zamrzlá evoluce)

(vysvětlení gradualistů = neúplný záznam)

Přerušovaná rovnováha (J. S. Gould & N. Eldredge, 1972):

Evoluce = stasis + rychlé speciační kroky,

přírodní výběr působí na:

geny, organizmy, populace, druhy i vyšší taxony,
(tj. stabilní soudržné jednotky diferenčně
přežívající),

makroevoluce oddělena od mikroevoluce, je
výsledkem mezidruhové selekce,

katastrofy (speciální případ darwinizmu).

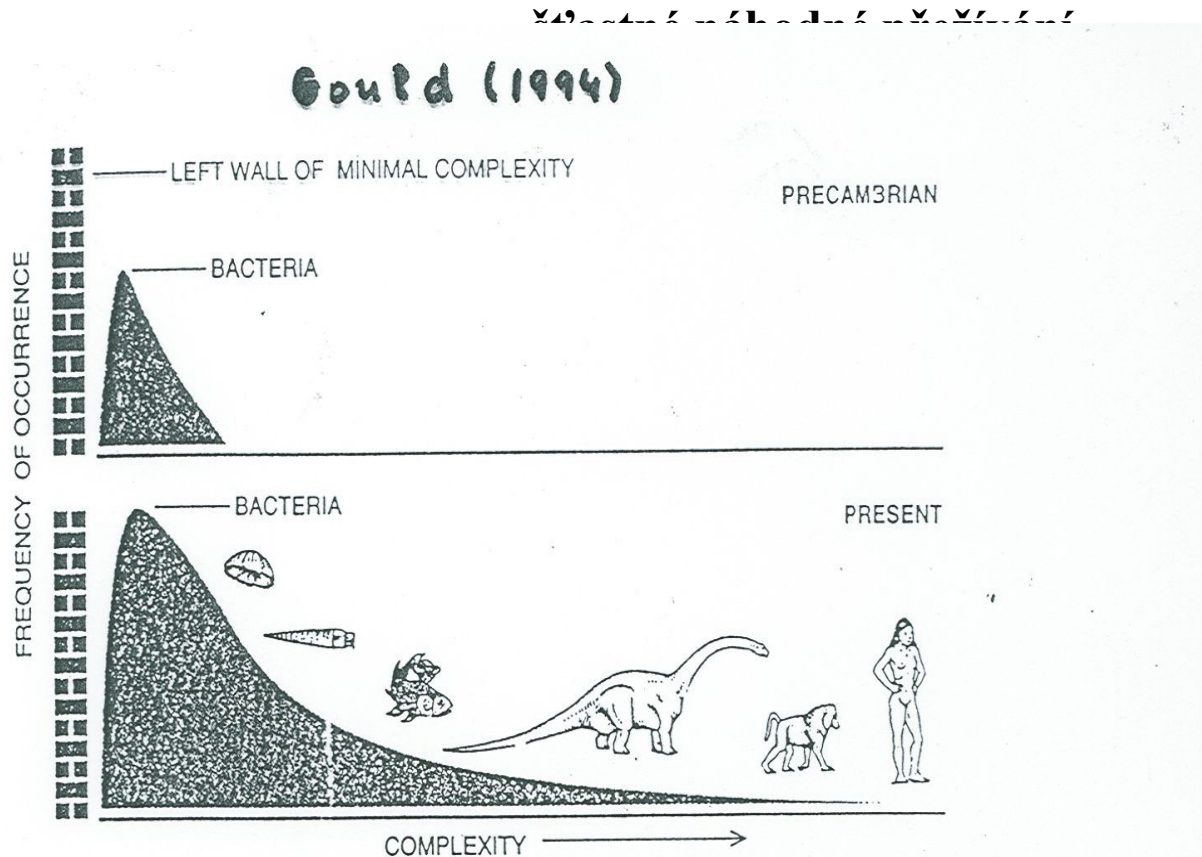
3 druhy evolučního času (pořadí):

- 1) ekologické momenty (změny v krátkém časovém úseku existence druhu = zdokonalení druhu přírodním výběrem (darwinowsky))
- 2) děje a stavů mezi dvěma epizodami masového vymírání (dlouhé miliony let)
- 3) periodické katastrofy a decimace ekosystémů a biosféry (Př. P/T – *Ophiceras* – 300 rodů v T – konec sv. T + další rozvoj J+Cr)



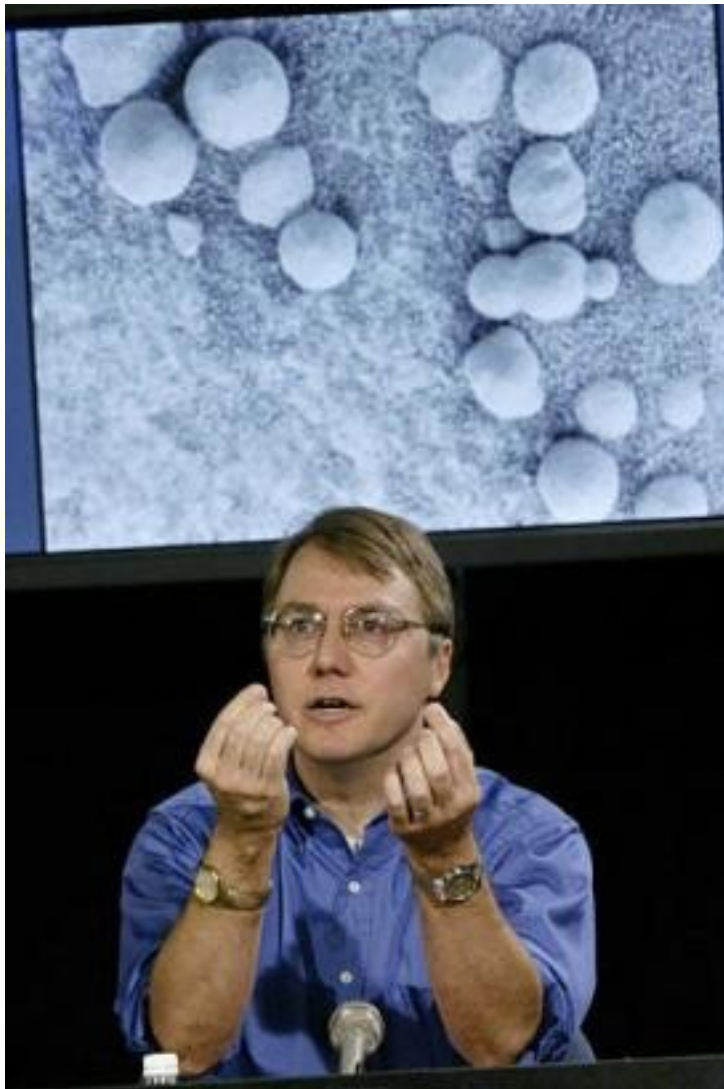
Niles Eldredge

Modální komplexita (J. S. Gould, 1994): evoluce zahrnuje chaos, nahodilost, architektura modální komplexity, evoluční „keř“ s širokou bází,



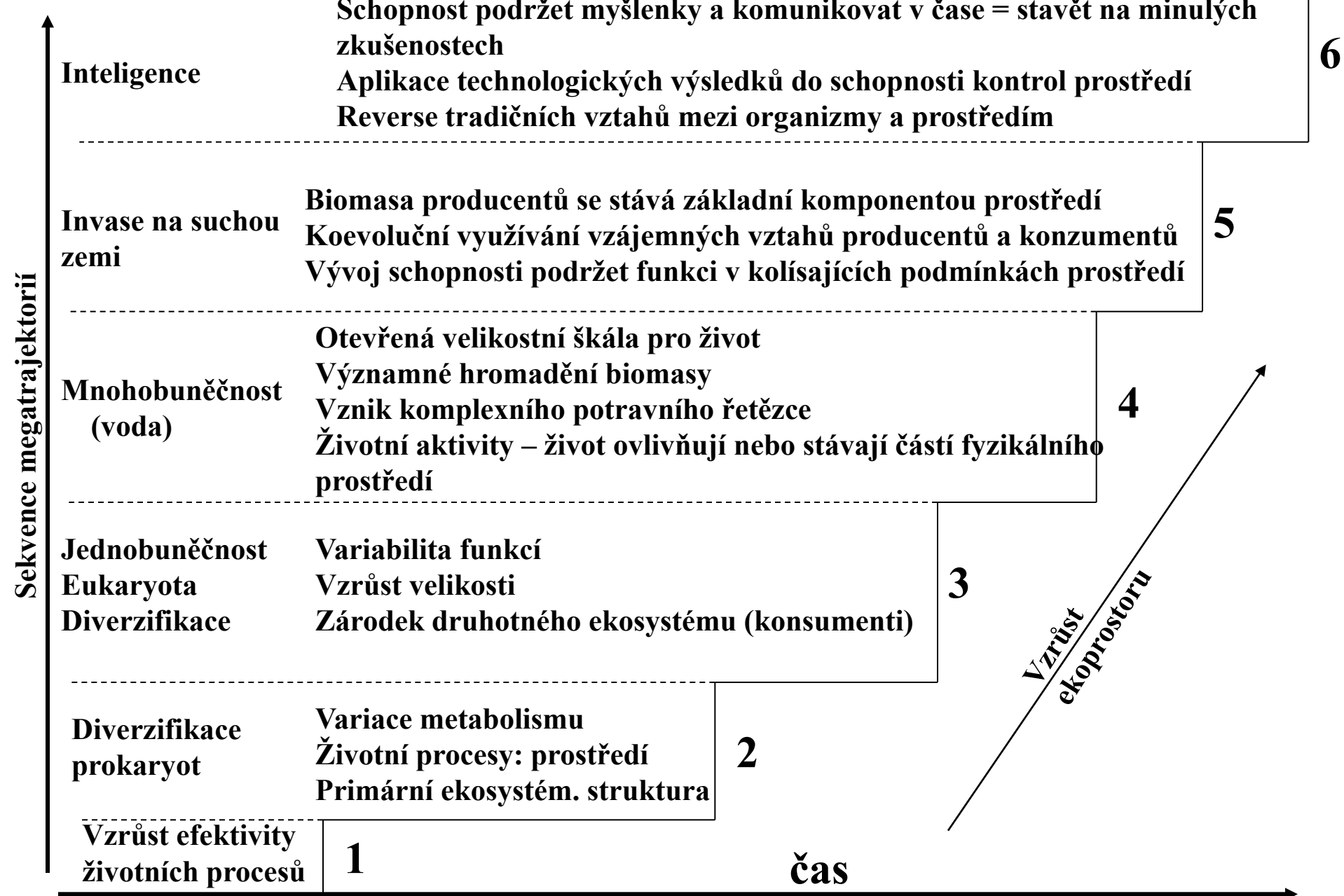
PROGRESS DOES NOT RULE (and is not even a primary thrust of) the evolutionary process. For reasons of chemistry and physics, life arises next to the "left wall" of its simplest conceivable and preservable complexity. This style of life (bacterial) has remained most common and most successful. A few creatures occasionally move to the right, thus extending the right tail in the distribution of complexity. Many always move to the left, but they are absorbed within space already occupied. Note that the bacterial mode has never changed in position, but just grown higher.

Usměrněnost velkých trajektorií (A. Knoll & R.K. Bambach, 2000): 6 evolučních megatrajektorií, jejich následnost a usměrněnost od počátku historie Země v čase



A. Knoll

Knoll et Bambach, 2000:



Biotické krize a globální ekosystémy v historii Země – část I.

Hadaikum, archaikum, proterozoikum

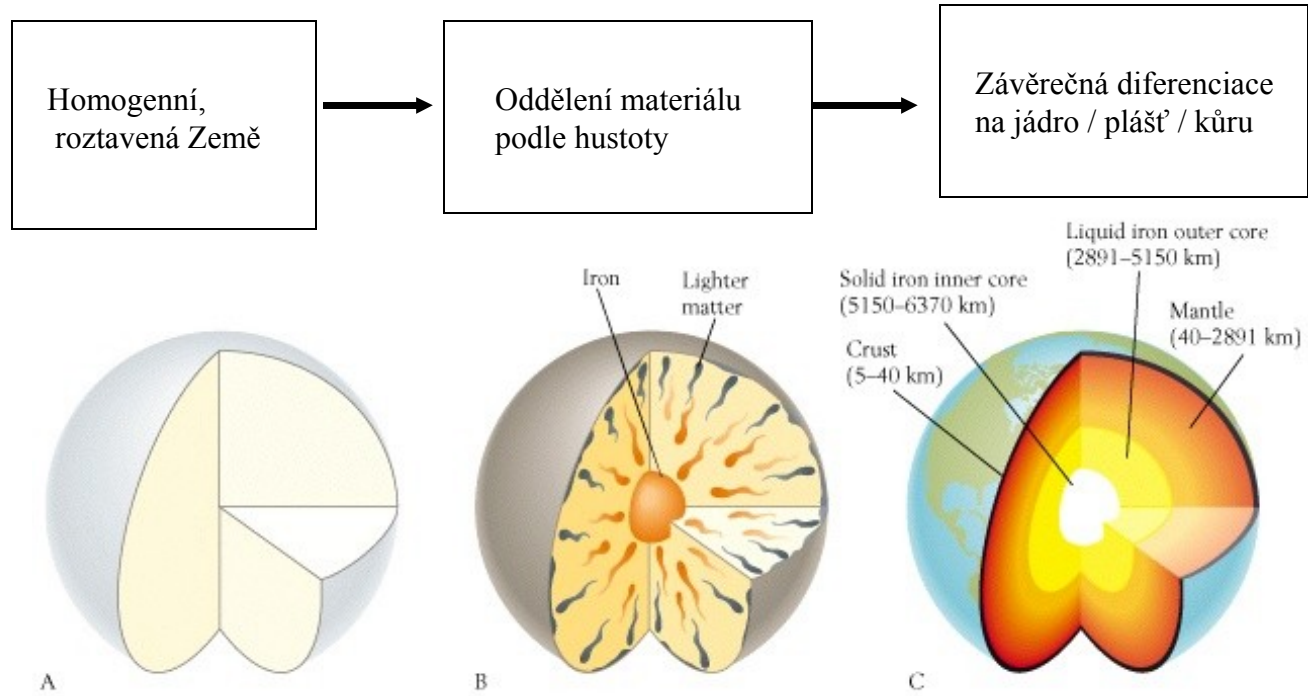
Rostislav Brzobohatý

výběrovka 13



Velký třesk – 15 Ga – elementární částice, lehké prvky (H, He)-hvězdy a galaxie první generace – bílí trpaslíci.
Neutronové hvězdy, černé díry, další lehké prvky – supernovy – těžké prvky, hvězdy druhé generace s planetami – chemická evoluce

Tvorba Země jako planety zahrnuje



Earth History Ch 11

10

-Po počátečním oddělení Fe a Ni jádra a vnější silikátové slupky pokračovala diferenciace na vnitřní (pevné, tlakový efekt – pevné Fe je hustší než tekuté Fe) a vnější (tekuté) **jádro, plášt'** (Fe + Mg silikáty) a **kůru** (K + Na silikáty).

-Chladnoucí magma vytvářelo prvotní basaltovou („čedičovou“) kůru (tak jak je to dnes na dnech oceánů). Ta byla několikrát přetavena energií impaktů velkých asteroidů během hadaika.

-Kontinentální kůra je mladší a její tvorba souvisí s rozbehnutím geologických cyklů.

Origin of Continental Crust

- 3.9 to 4.2 Ga
Acasta Gneiss
 - 3.96 Ga +/- 3 Ma

(ZrSiO_4) (+Hf)

4,404 Ga – Jack Hills (Austrálie) – nejstarší zirkony

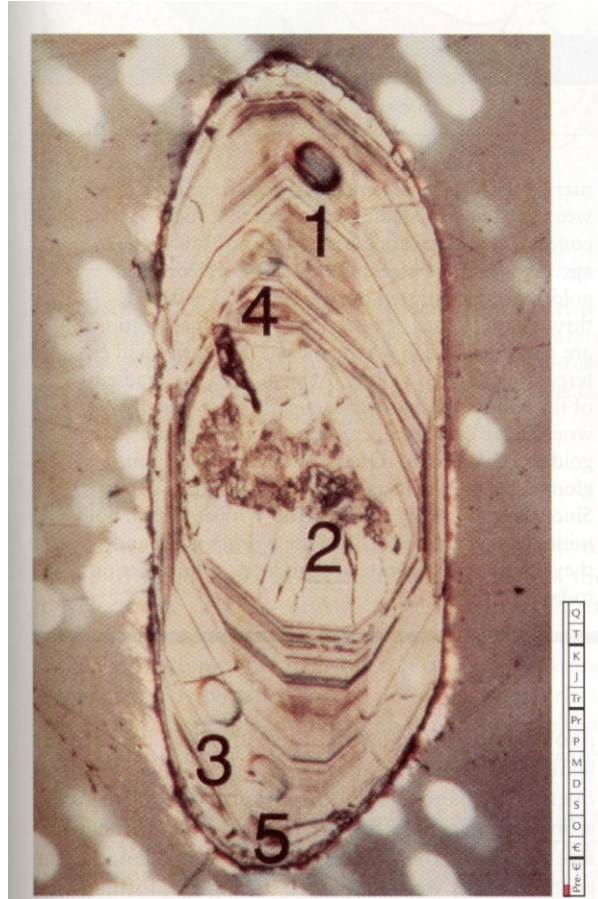
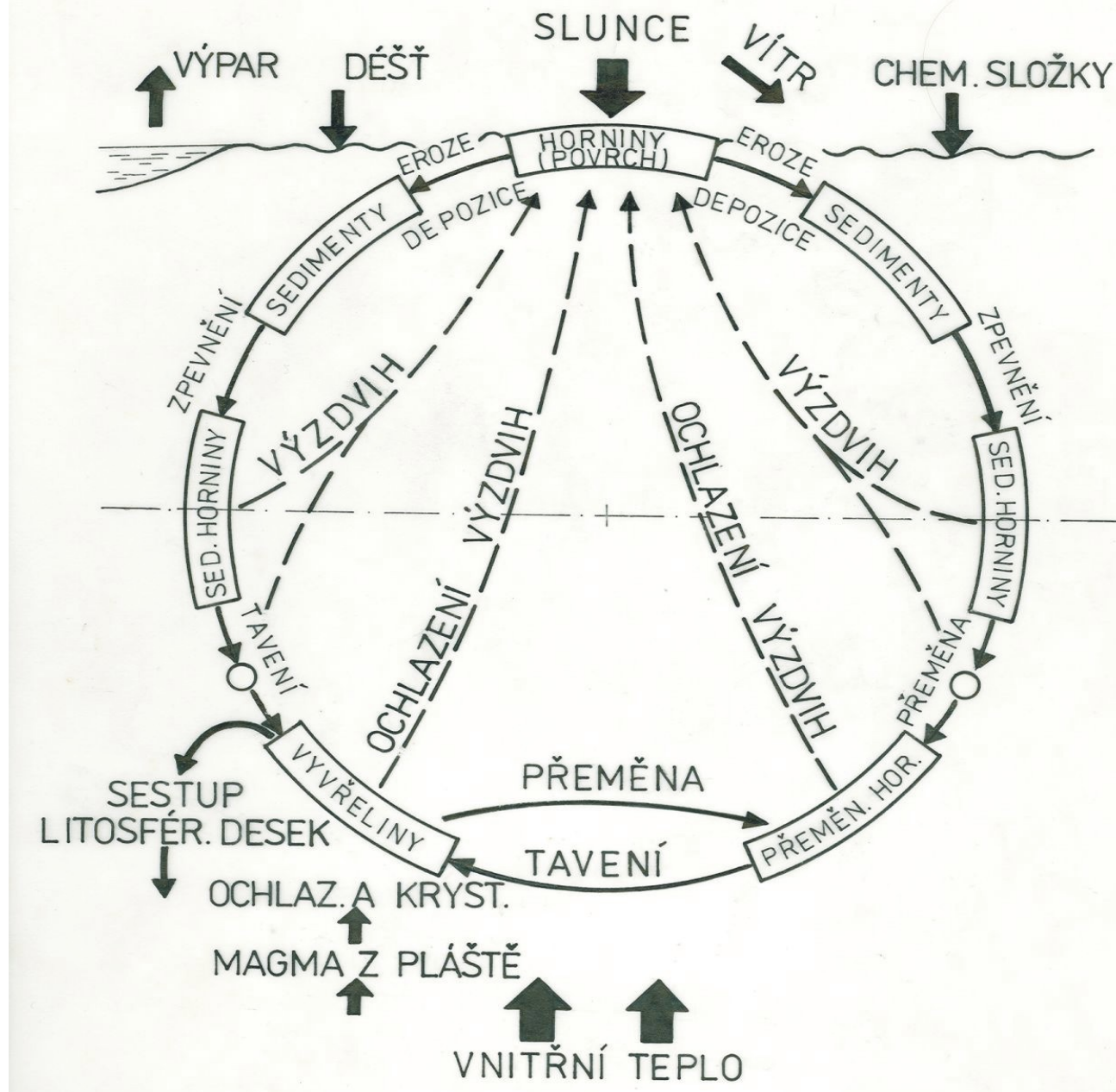


FIGURE 6–18 Photomicrograph of one of the 3.96-billion-year-old zircon grains extracted from the Acasta Gneiss, Slave province, Northwest Territories of Canada. The grain is 0.5 mm long. Its polished surface has been etched with acid to highlight crystal growth zones. Numbers refer to points selected for analysis. (Courtesy of S. A. Bouring.) Why are zircon crystals particularly valuable in determining isotopic ages?

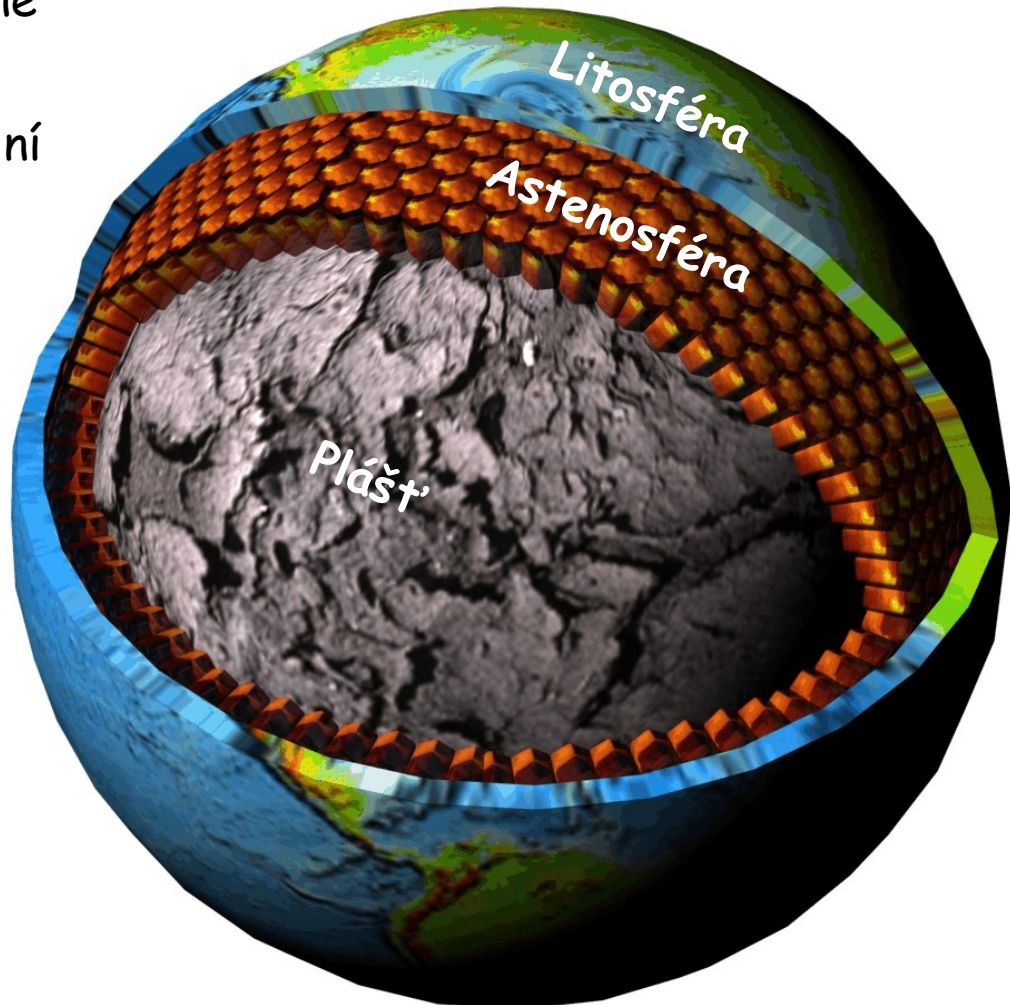
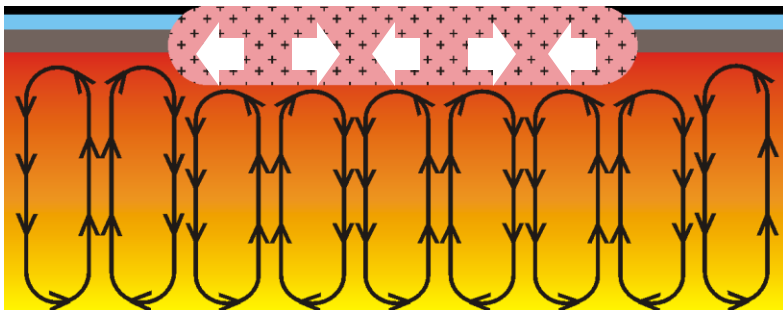
Horninový cyklus



Jak je to tedy s konvekčními proudy

Novější hypotéza

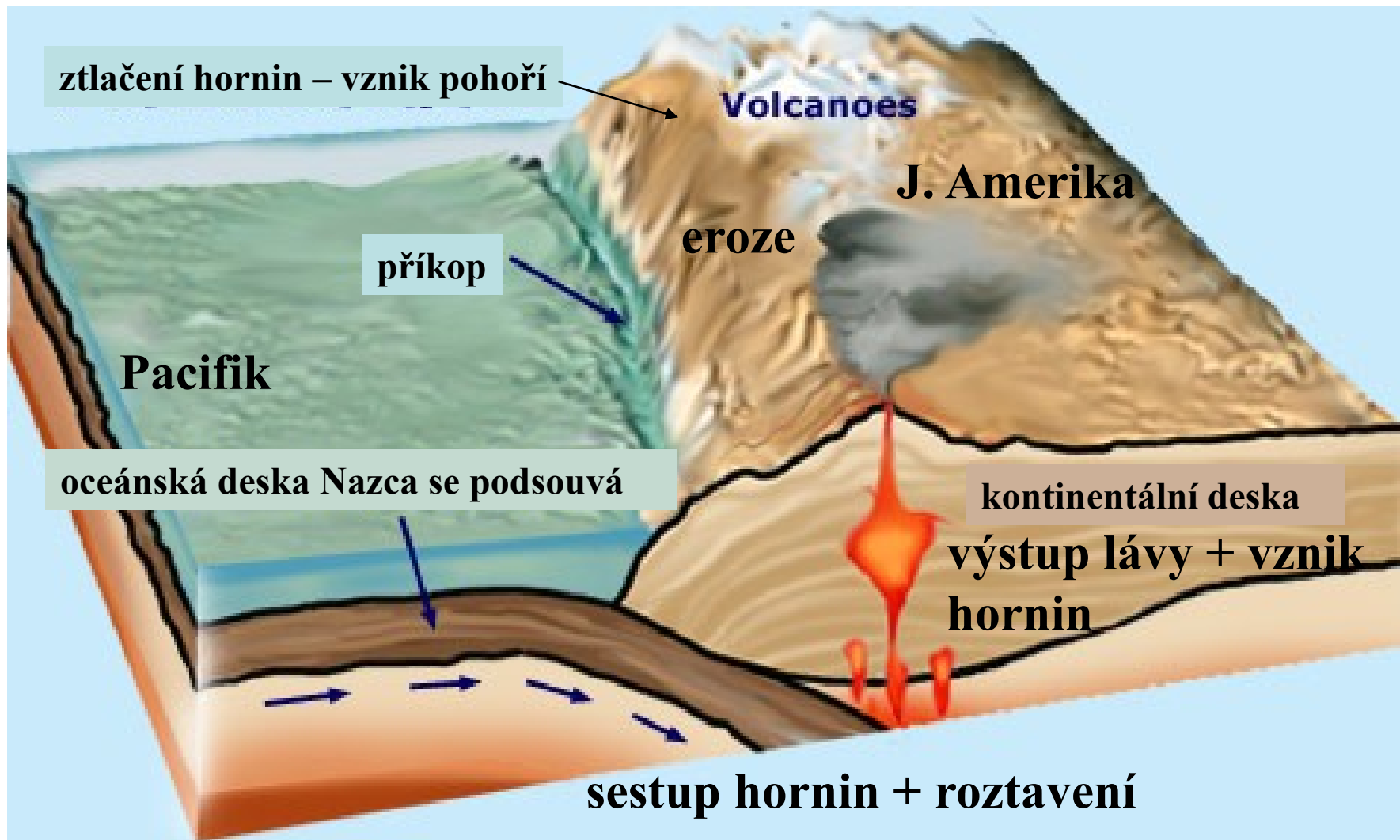
- Astenosféra je velmi plastická a horká = musí v ní probíhat konvekce
- konvekční buňky jsou avšak relativně malé a pravidelné
- experimenty prokázaly, že konvekční buňky mají zhruba tvar šestibokého hranolu, o délce hrany ~500 km
- vzhledem ke své velikosti nemohou konvekční proudy hýbat deskami, jejich účinky se vzájemně ruší



Konvekční proudy (buňky) vytvář
jakýsi polštář, po kterém desky
kloužou

Desky se zabořují a podsouvají vlivem spredingu a
rozdílné hustoty litosféry a astenosféry

Podsouvání (subdukce) oceánské desky pod kontinentální desku (např. Nazca pod Jihoamerickou) v současnosti



Trapy – DEKKAN
byly na místě dnešního
Reunionu před 65 miliony let

„horká skvrna“
REUNION
(dnes)

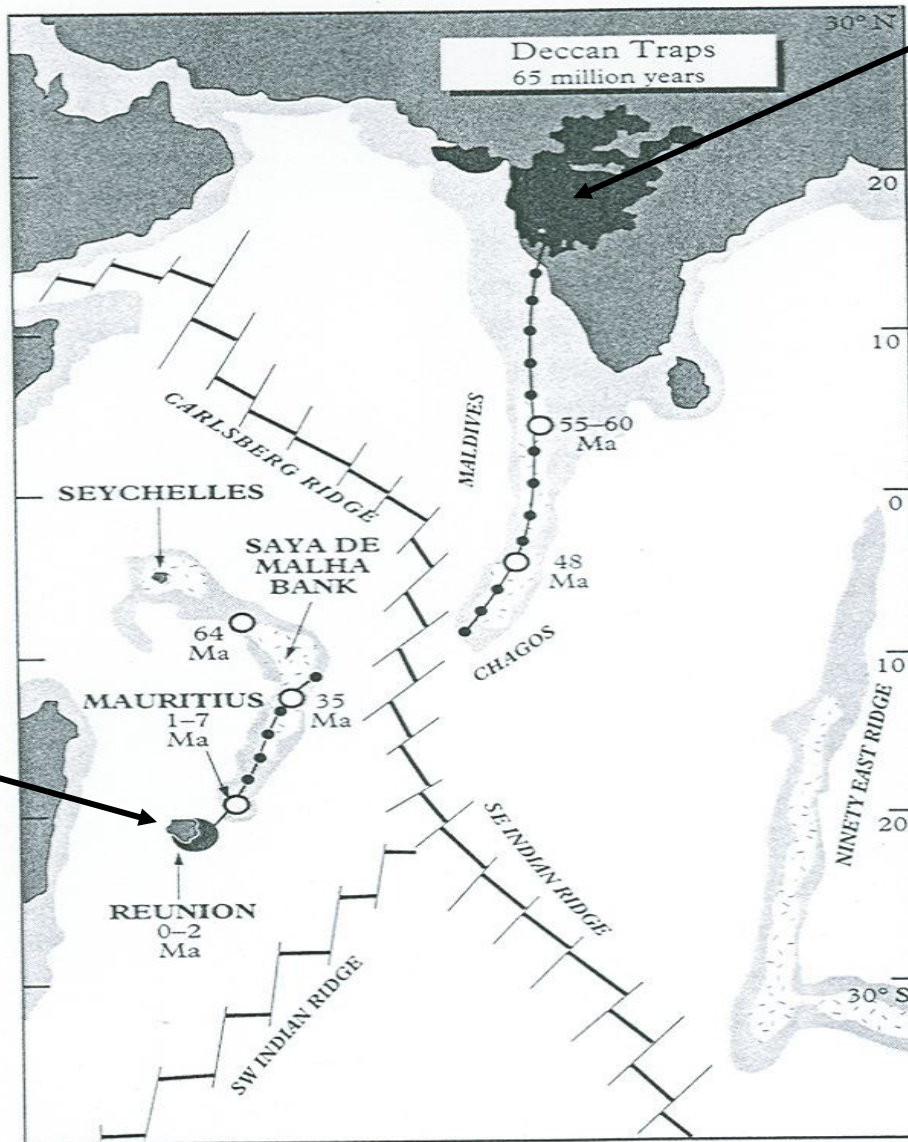
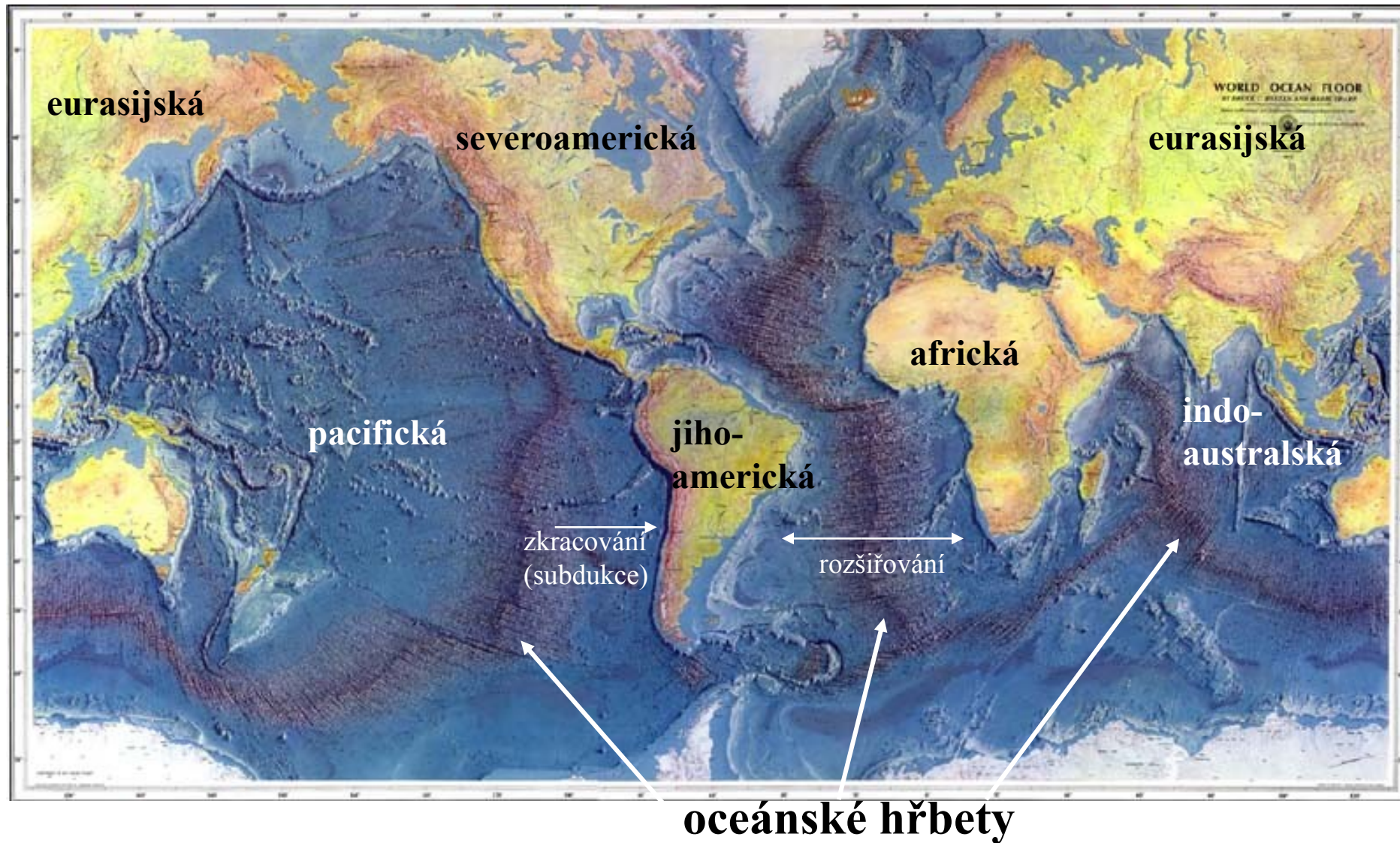


Figure 5.1
Part of the Indian Ocean, showing chains of seamounts leading from the active Réunion hotspot, to the Deccan Traps. Age progression (in Ma) is shown where actual measurements were carried out on dredged samples.

Svědectví rozevírání Indiku, pohybu desek a rozsáhlé povrchové výlevy láv (čediče) na konci křídy (65 Ma)

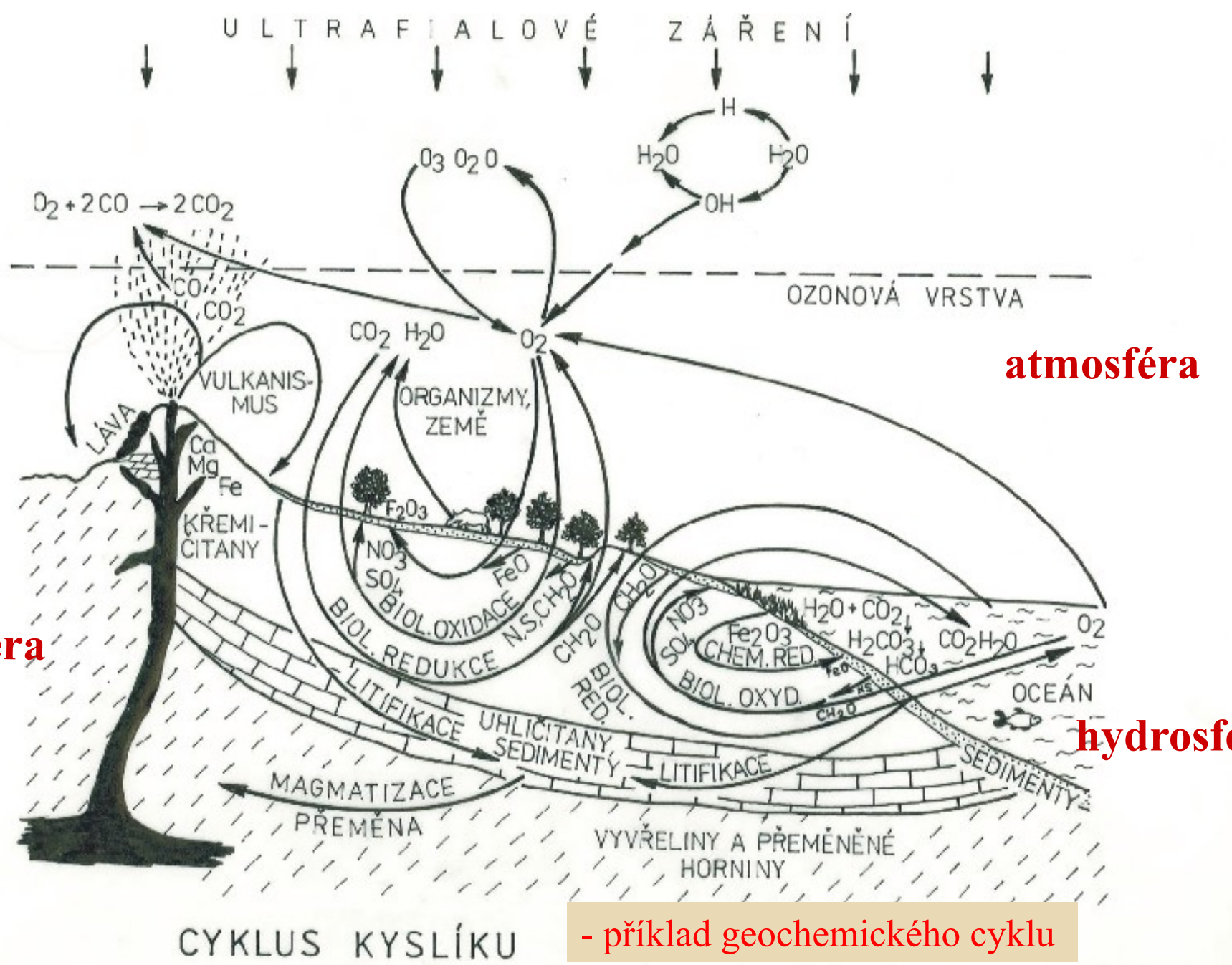
Oceánské dno – svět, dnešní pohled, rozložení nejdůležitějších desek



geosféra

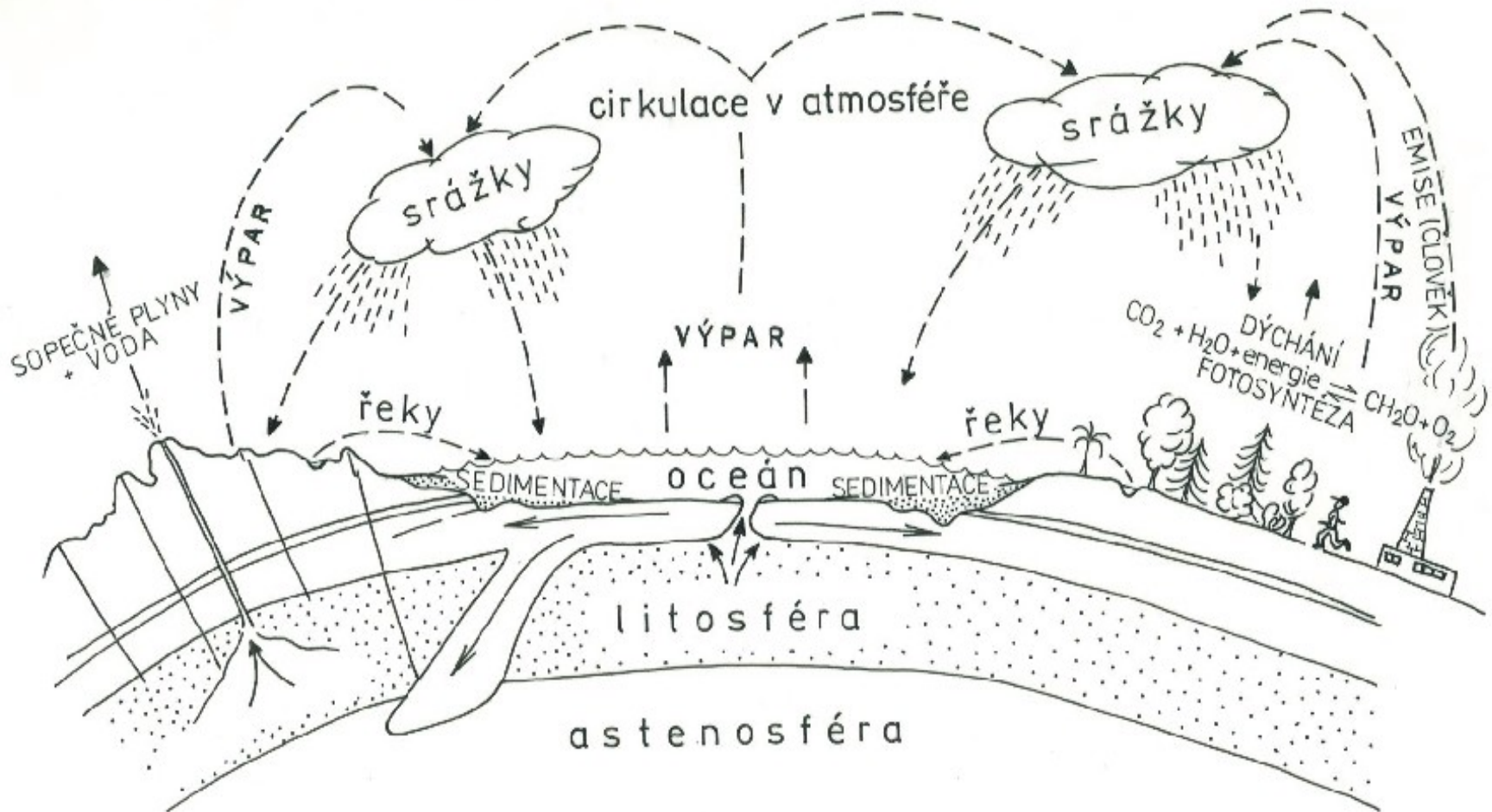
atmosféra

- příklad geochemického cyklu

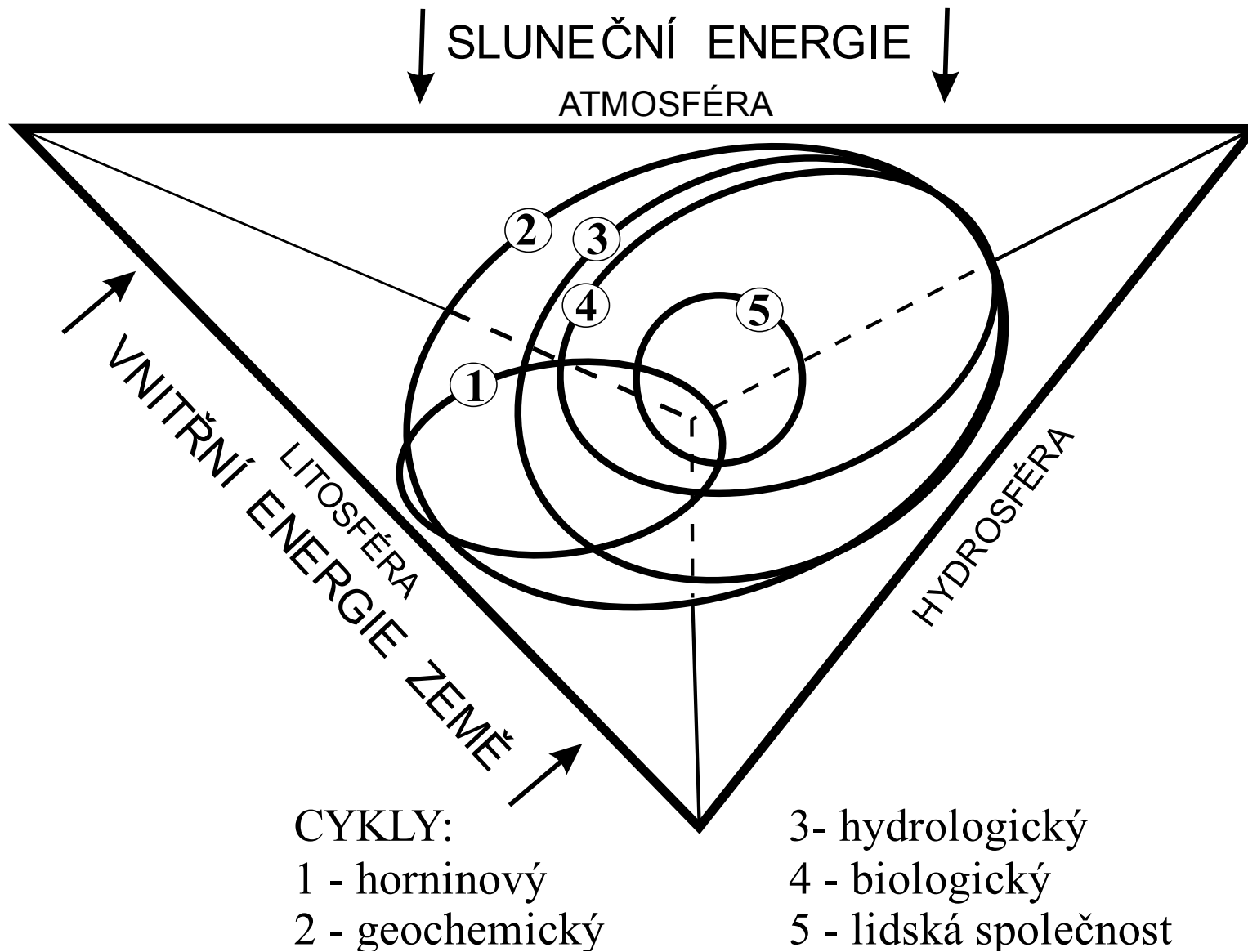


Zemský metabolismus

5



Propojení všech hlavních součástí systému Země





**~4.5 Ga: srážka Země s planetou cca velikosti Marsu, následky: hmota Měsíce vyrvána,
? likvidace původního plynného obalu Země**

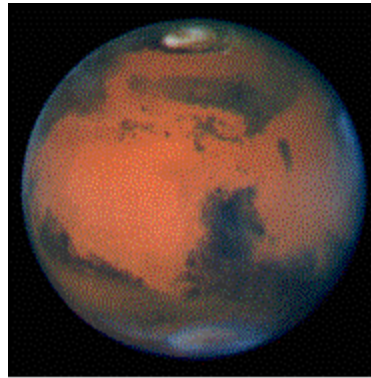


Hadaikum

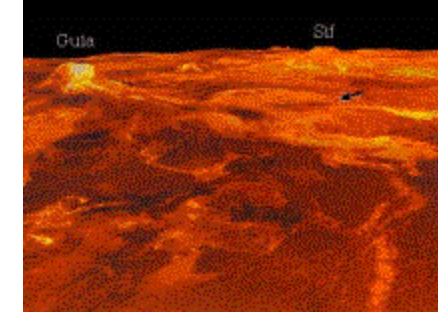
(G. Richter 2014)

Časná atmosféra

- Prvotní atmosféra Země (H, He) byla odváta slunečním větrem. V úsvitu planety ještě nebylo magnetické pole – vytváří se kolem 4 Ga (po spuštění dynama tekutého jádra).
- Časná stabilní atmosféra udržovaná gravitací = < inertní N + CO₂
Aby byl CO₂ odstraňován z atmosféry je třeba voda v kapalném stavu.
 - Mars je příliš studený.
 - Venuše je příliš horká.
 - Obě planety mají CO₂ atmosféru.
- Jen na Zemi je hydrosféra a proto většina CO₂ vázána ve vápencích, dolomitech a v živé hmotě!



Mars

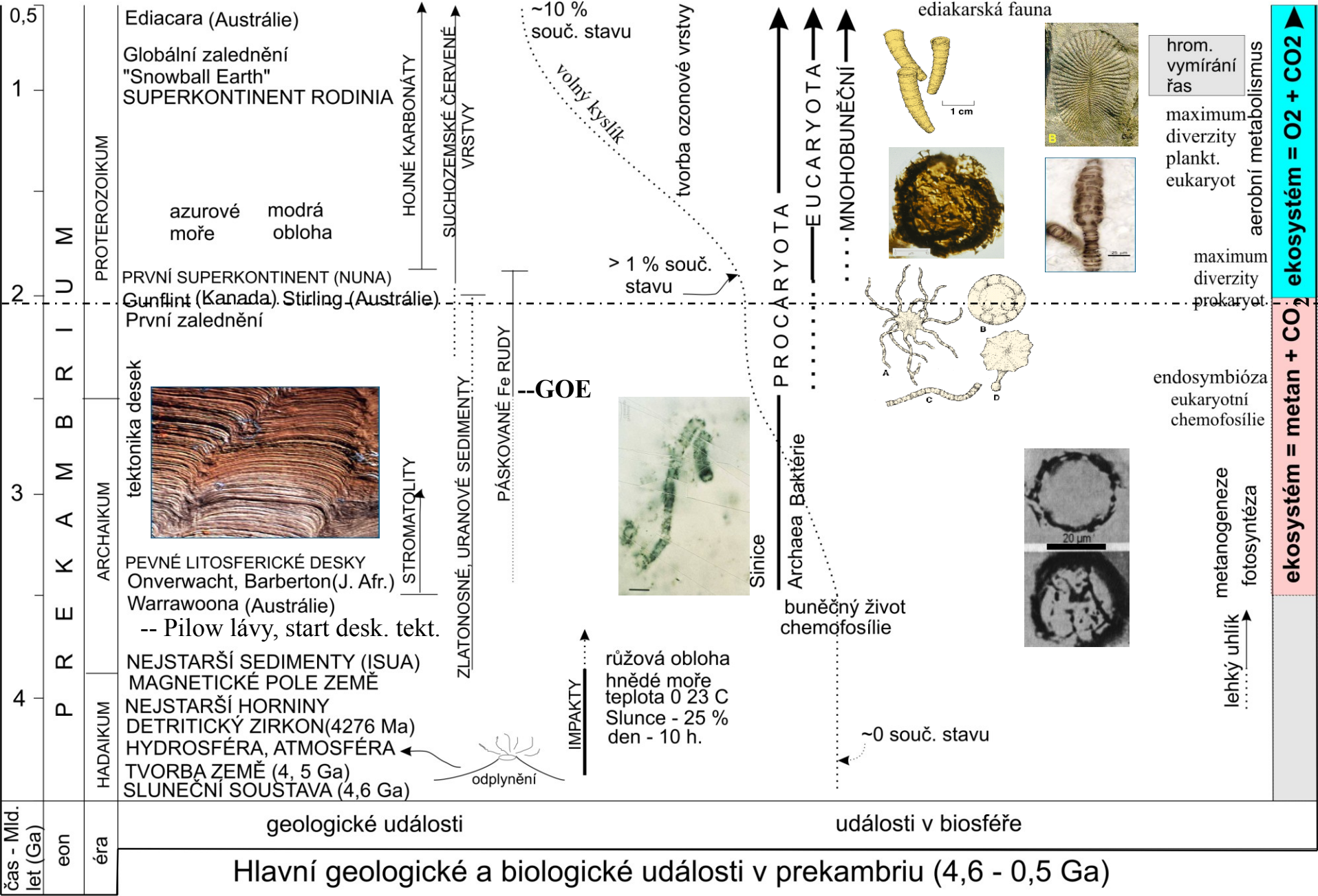


Venuše



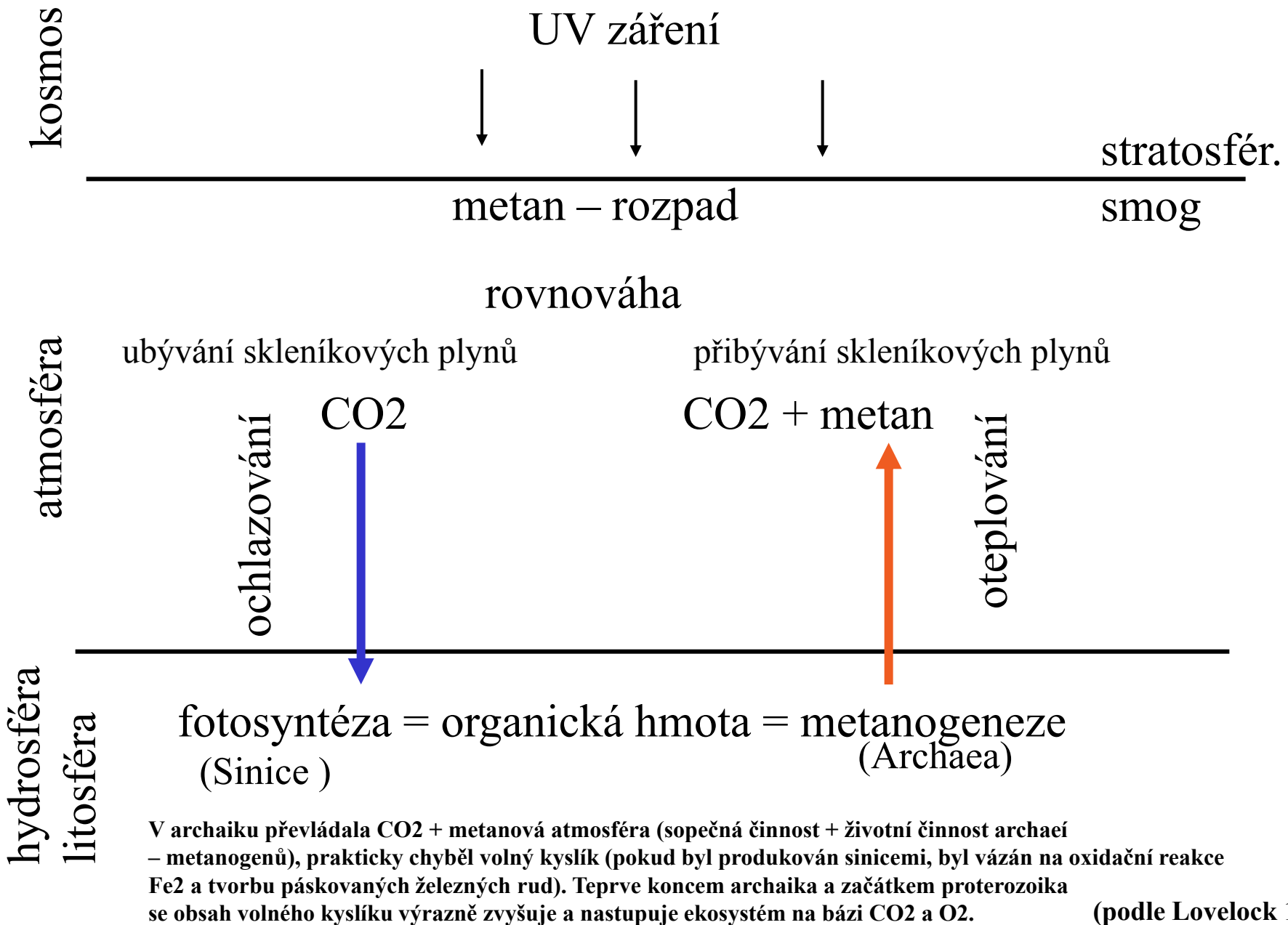
Země

Vznik života – viz minulý semestr



Zachycují prolínající se působení živé a neživé složky, jejich rozružňování a tvorbu neustále proměňujícího se obrazu planety.

První stabilní ekosystém v archaiku (3, 6- 2, 3 Ga)



Archaické až proterozoické sedimenty (litosféra):

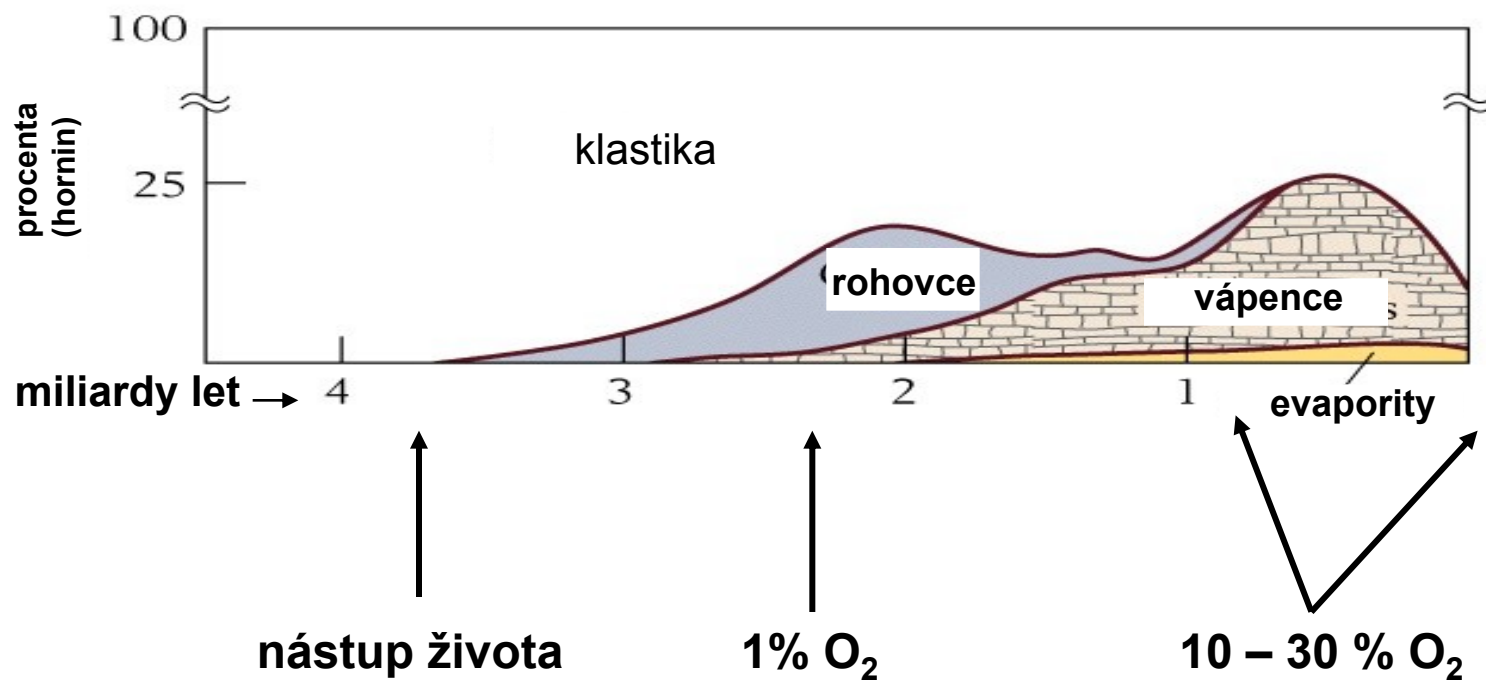
Archaikum:

- Většinou hlubokovodní klastické uloženiny (břidlice, pískovce) s vysokou koncentrací erodovaného vulkanického materiálu.

•Převažují rohovce.

- Absence mělkovodních šelfových vápenců (karbonátů) a evaporitů.
- Časté páskované Fe rudy (vukanismus = volné Fe + nastupující volný kyslík vlivem životní činnosti prokaryot). Páskovaný = hydroxidy Fe + polohy rohovců
 - Stromatolity (laminované sedimenty vzniklé životní činností cyanobaktérií a řas)
 - V **proterozoiku** nastupuje již silná tvorba karbonátů a ustupují rohovce.

Zastoupení hlavních sedimentárních hornin v historii Země





The Acasta gneiss in Canada's NWT was formed 4.0 Ga ago. Along with similar metamorphic rocks in southern Greenland, these are the most ancient pieces of crust remaining on Earth.

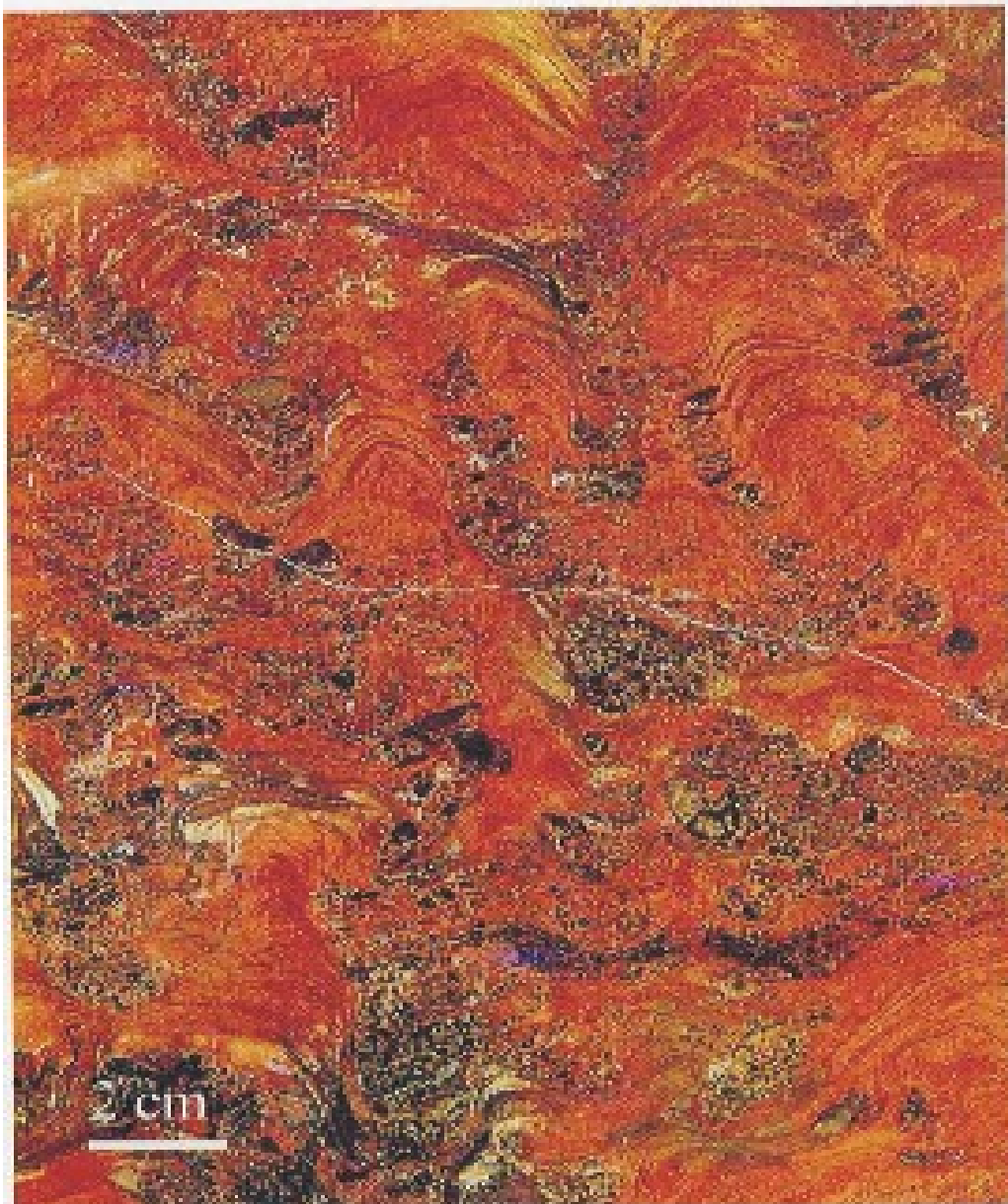
Stromatolity (petrifikovaná bakteriální bahna)



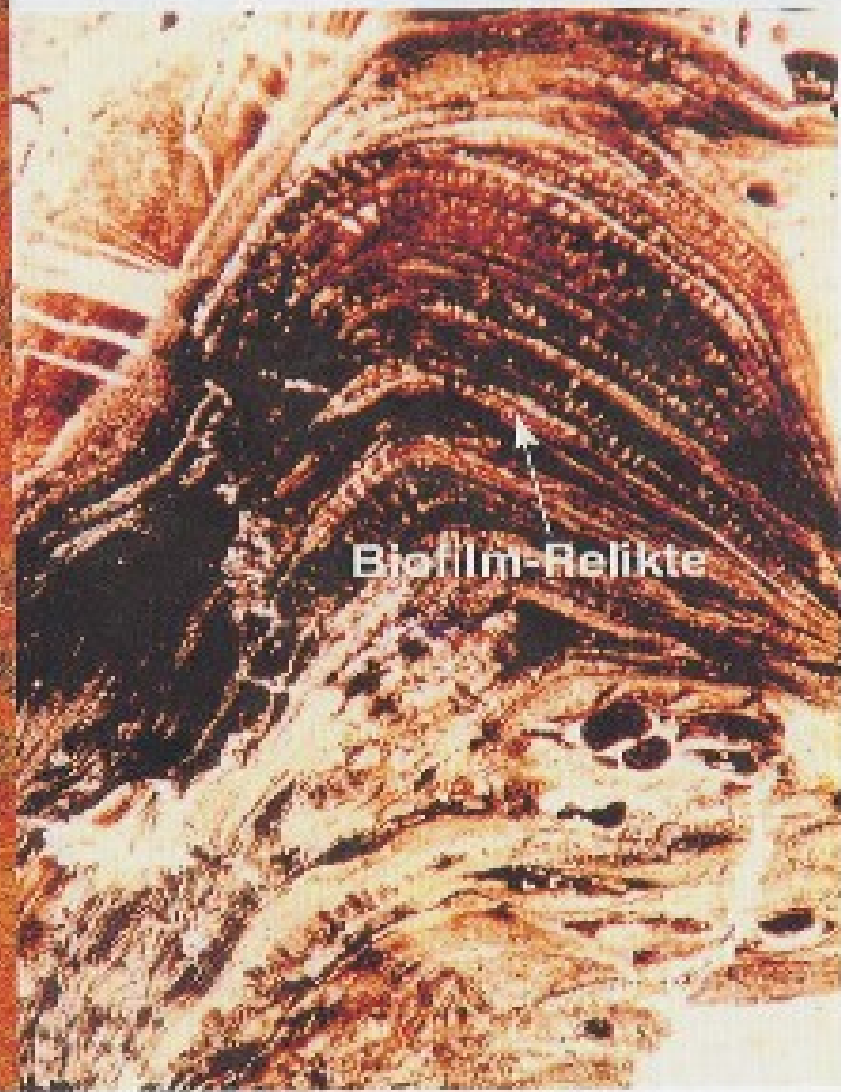
Benjamin
Cummings

BIF – magnetit (Fe_3O_4), haematit (Fe_2O_3), $\sim 3,7$ Ga, maximum kolem GOE (2, 4 Ga), až 30 % Fe

Páskované Fe rudy, 2.2 Ga, řez



Stromatolithische Banded Ironstone Formation, BIF, 2.2 Mrd.Jahre

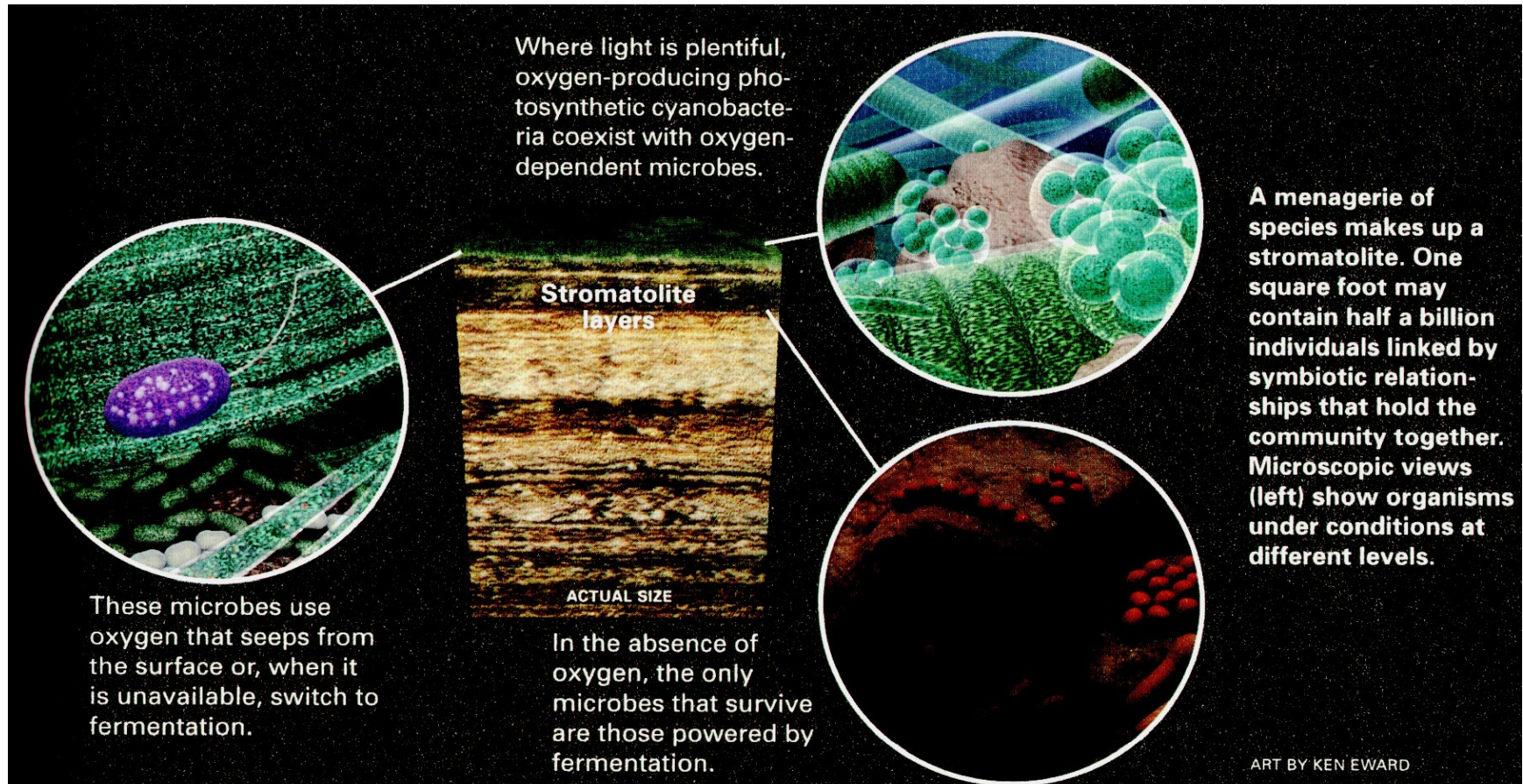


Páskované Fe rudy, makroskopický pohled



Vznik stromatolitů

- Za dostatku světla produkovaly cyanobakterie kyslík (fotosyntéza), ten používali jiní mikrobi k získávání energie (světlejší vrstva) - pokud kyslík chyběl, přecházeli k fermentaci, za absence kyslíku přežívali jen fermentanti (tmavší vrstva). Bahnité sedimenty byly zpevněny uhličitanem vápenatým z vody a vytvářely pevné páskované horniny.

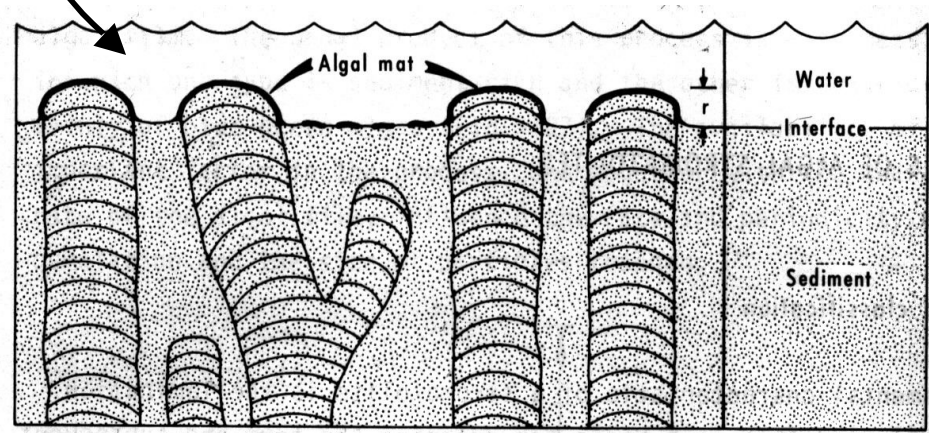


The Archean fossil record (cont.)



← 3.2 billion year old stromatolite from South Africa

Growth of cyanobacterial mats



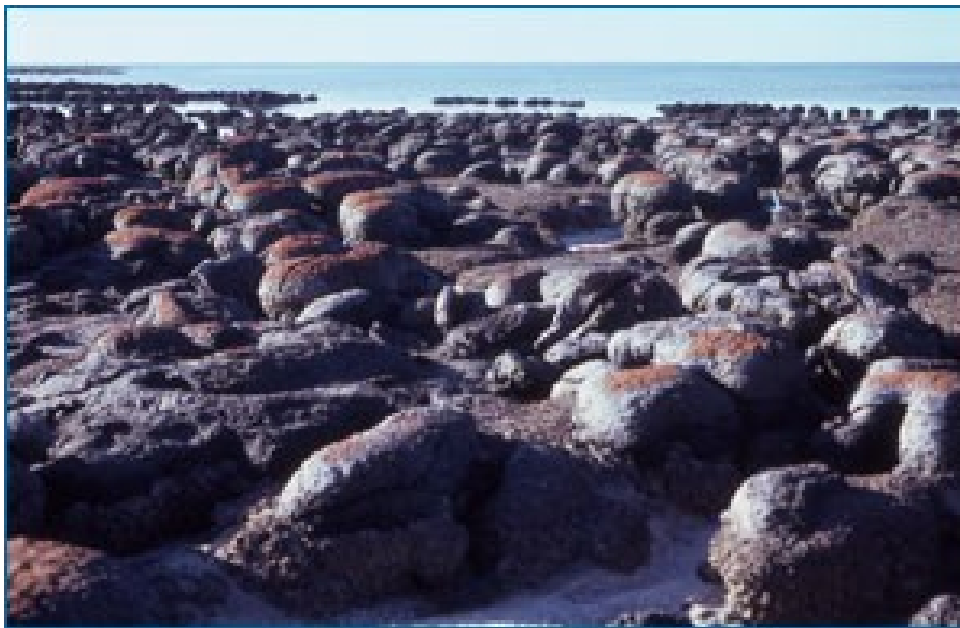
Stromatolity, 1,8 Ga, Great Slave Lake (Kanada)





Recentní stromatolity, Shark Bay, Austrálie

(vzácně se tvoří
ještě dnes v hypersalinních podmínkách, které zabraňují vstup případným požíračům)



© 2005 Pearson Education, Inc., publishing as Addison Wesley

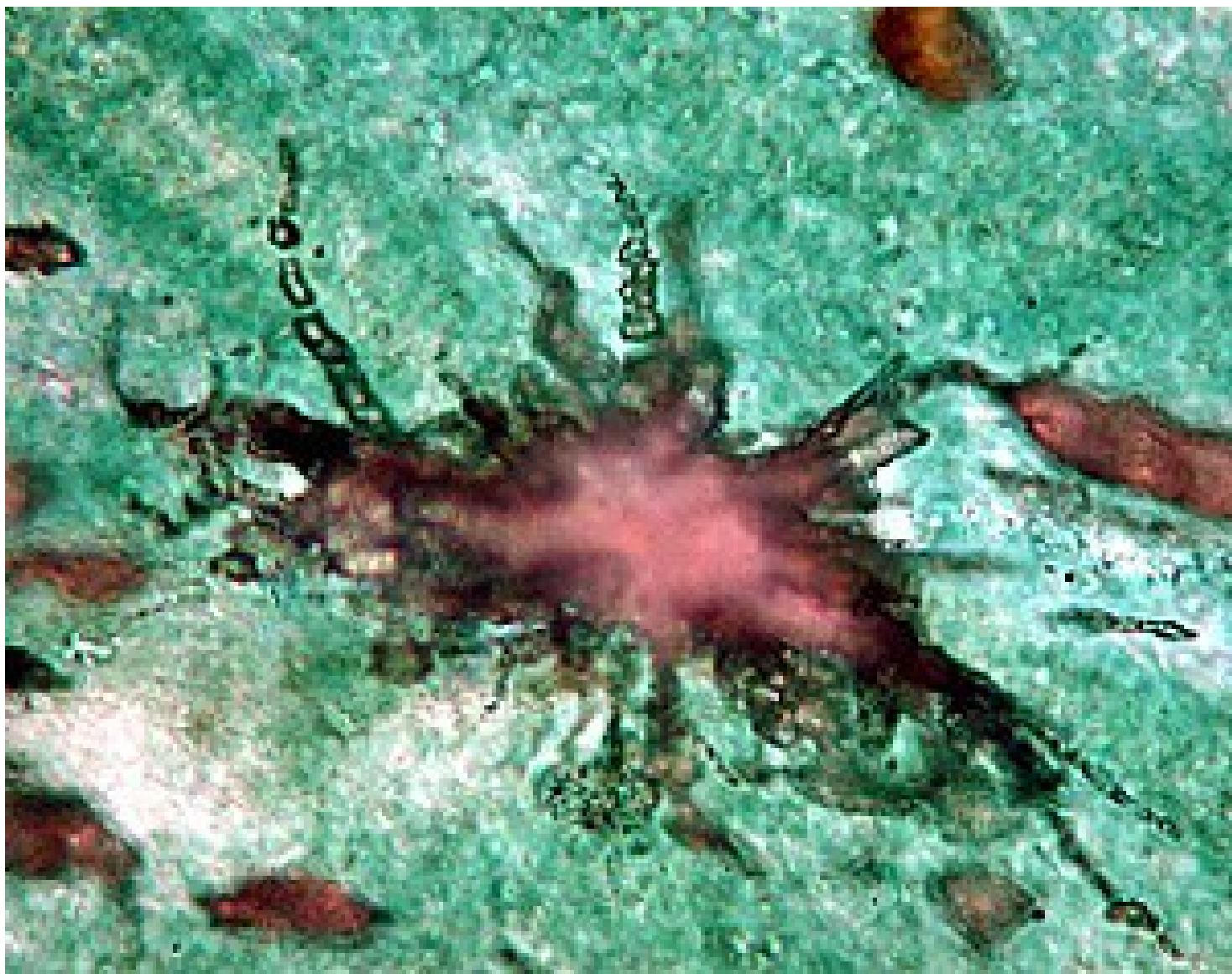
At right is a layered **stromatolite**, produced by the activity of ancient cyanobacteria. The layers were produced as **calcium carbonate** precipitated over the growing mat of bacterial filaments; photosynthesis in the bacteria depleted carbon dioxide in the surrounding water, initiating the precipitation. The minerals, along with grains of sediment precipitating from the water, were then trapped within the sticky layer of mucilage that surrounds the bacterial colonies, which then continued to grow upwards through the sediment to form a new layer. As this process occurred over and over again, the layers of sediment were created. This process still occurs today; [Shark Bay](#) in western Australia is well known for the stromatolite "turfs" rising along its beaches.



(Rashid 2009)

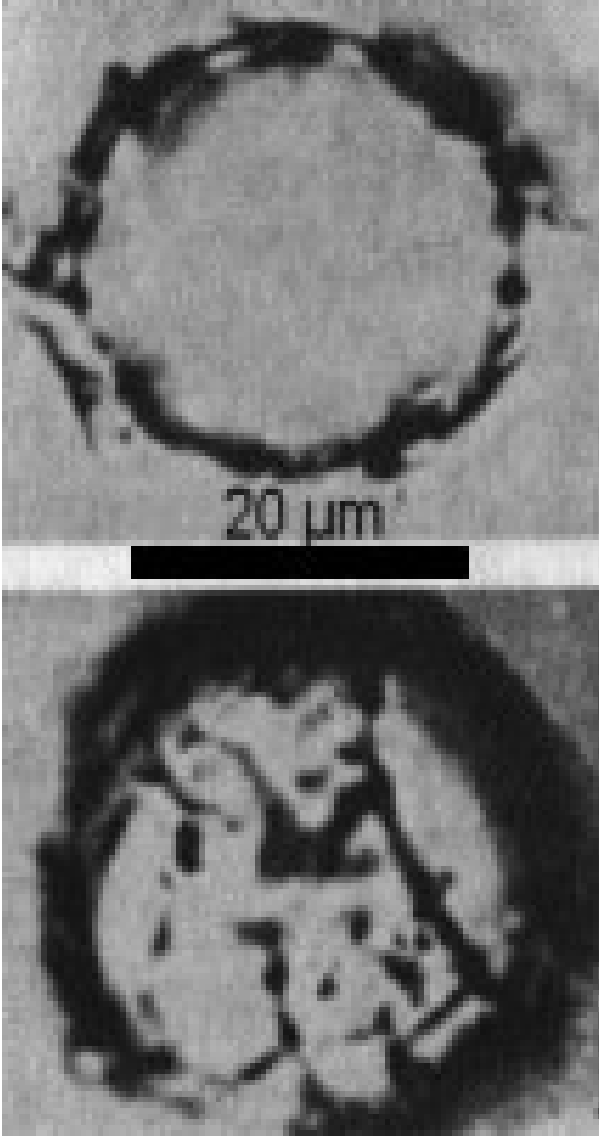
Shark Bay

**Barberton (J. Afrika, ~ 3.5 Ga), jedna z
nejstarších mikrofosílií (?)**



Buněčný filament - 3465 Ma





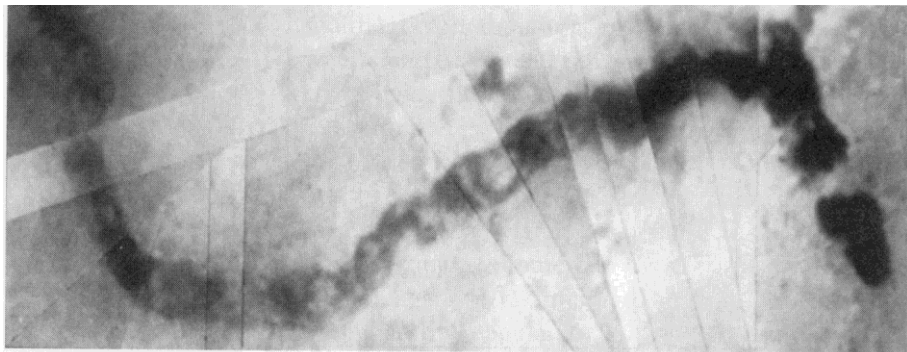
***Archaeosphaeroides barbertonensis*, Barberton, J. Afrika, ~3.2 Ga**
(Prokaryota)

Cyanophyta ~ cca 3.4 Ga

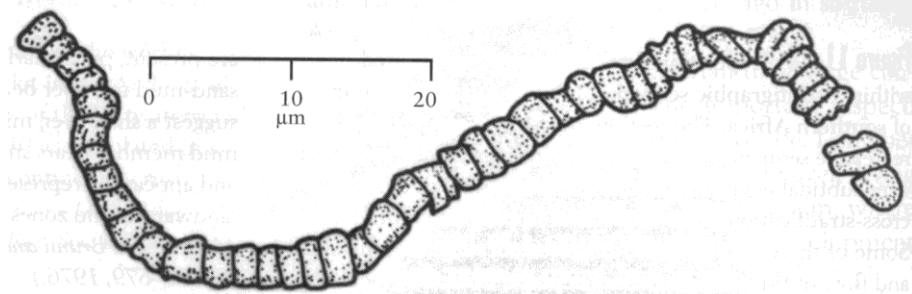


Benjamin
Cummings

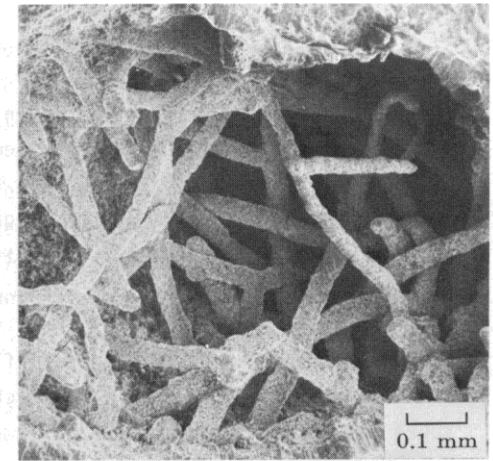
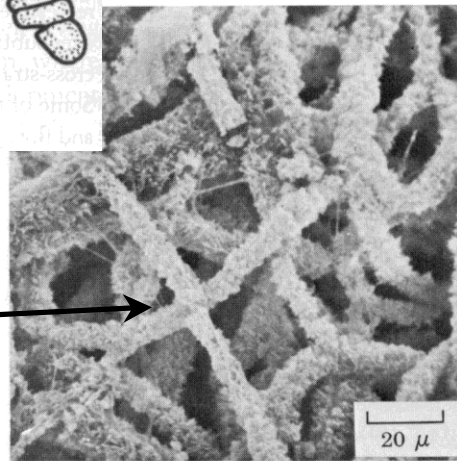
The Archean fossil record (cont.)

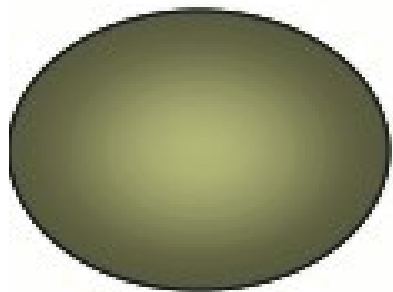


← 3.5 billion year old bacteria
preserved in chert from
Western Australia

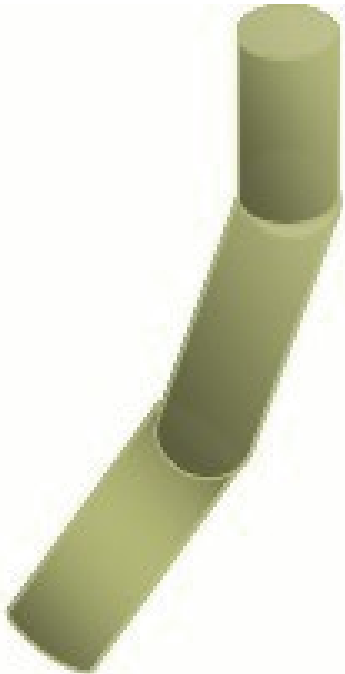


Modern cyanobacterial
filaments

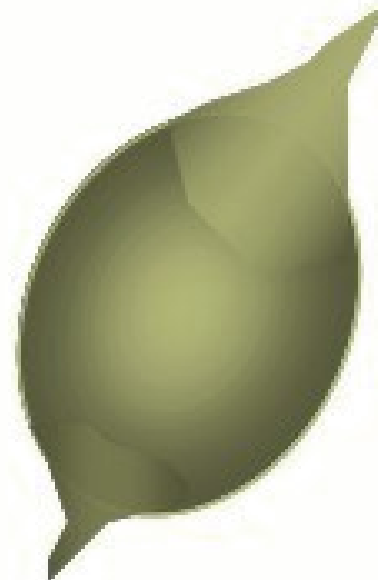




Spheroid



Filamentous



Spindle-like

Souhrnná morfologie archaicko-proterozoických mikrofosílií



Horniny 2.9 Ga staré (Pongola Supergroup, J. Afrika) obsahují struktury shodné se strukturami, které vytvářejí **mikrobiální filmy („mats“)** v příbřežních zónách recentních moří (vlevo fosílie z Pongoly, vpravo recentní srovnání)

- uvolněný a přemístěný lupínek,
- b) zvrásněná hornina

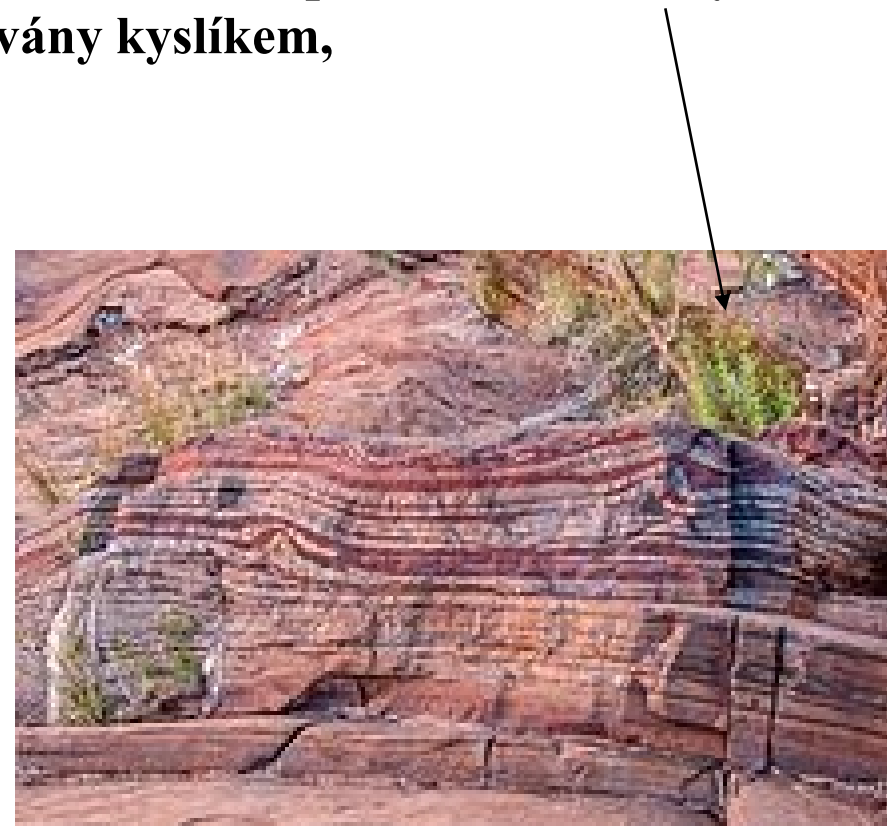
The Proterozoic Timescale

Eon	Era	Period	when My ago	began My	duration
Proterozoic	Neoproterozoic 1000 mya	<u>Ediacaran</u>	630	88	
		<u>Cryogenian</u>	850	250	
		Tonian	1000	150	
	Mesoproterozoic 1600 Mya	<u>Stenian</u>	1200	200	
		<u>Ectasian</u>	1400	200	
		Calymmian	1600	200	
	Paleoproterozoic 2500 Mya	Statherian	1800	200	
		Orosirian	2050	250	
		Rhyacian	2300	250	
		Siderian	2500	200	

Paleoproterozoikum (2.5-1.6 Ga)

Siderian (2.5-2.3 Ga):

- první volný kyslík v hydro- a atmosféře,
- zformovány stabilní kontinenty,
- 2.4 Ga – GOE (někdy též OC), vrcholí srážení Fe – páskováne Fe rudy, anaerobní organizmy likvidovány kyslíkem, startuje huronské zalednění
- chybí ještě Acritarcha,

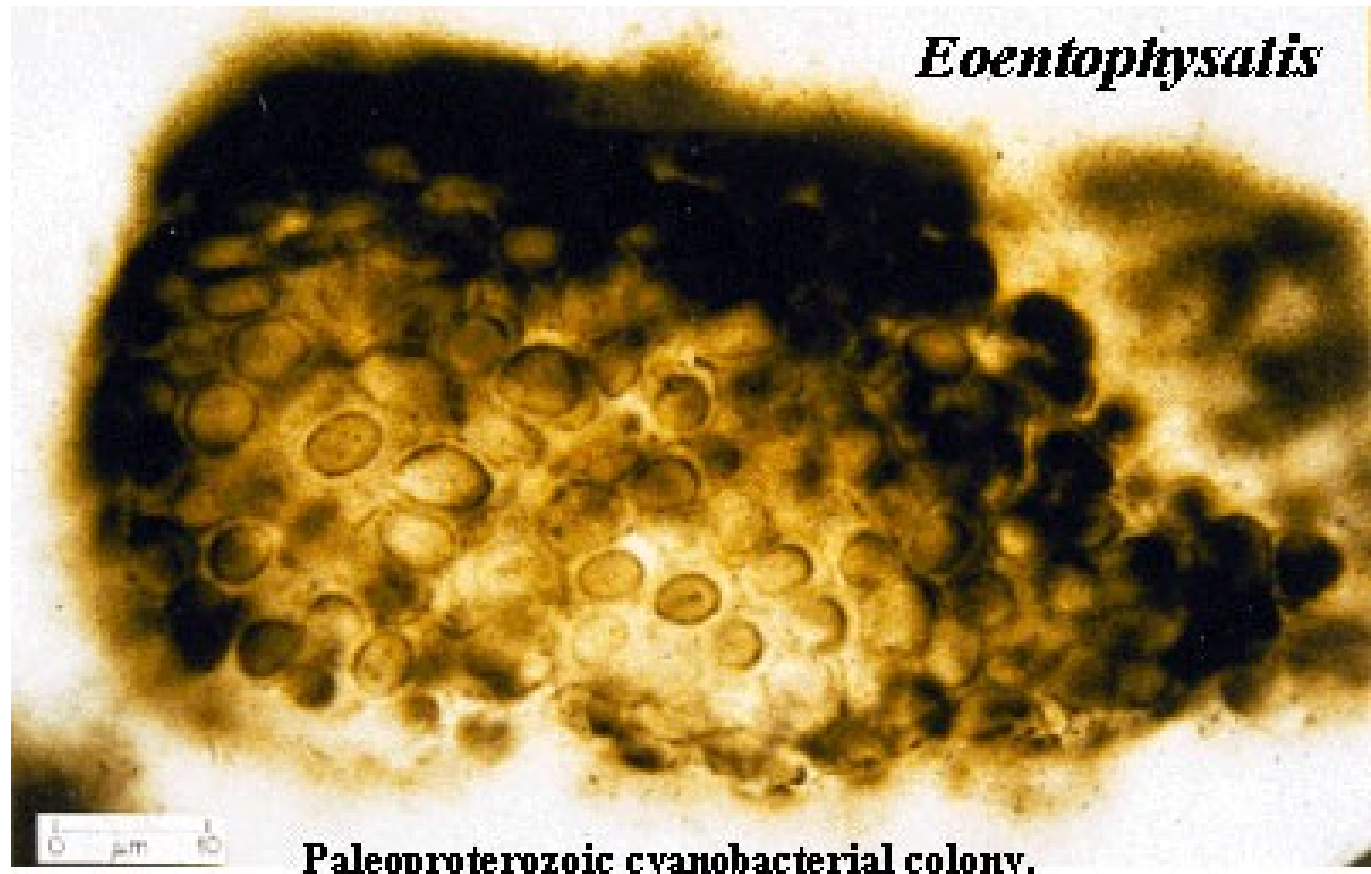
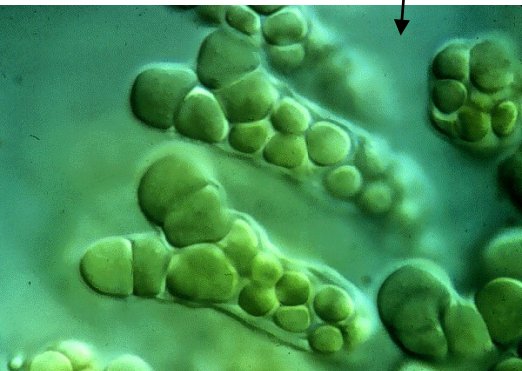




(Hogpusly, 2007)

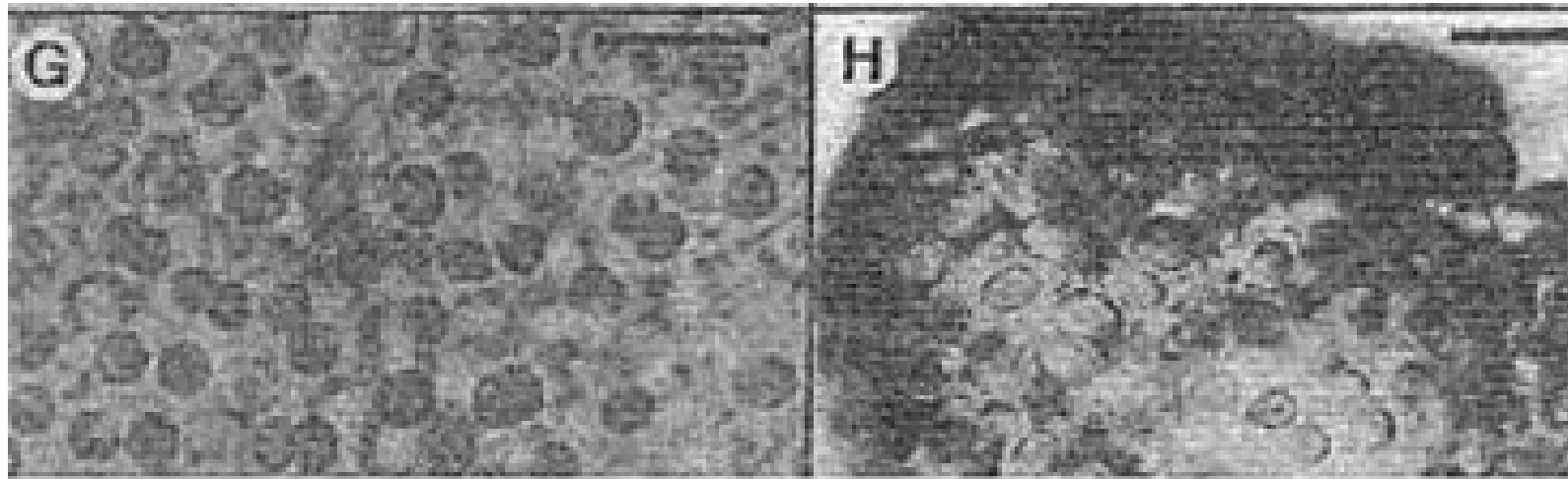
***Ostreococcus* – nejmenší žijící eukaryot (0,8 um)
?(Život na této úrovni ~2,4 Ga)**

- biomarkery ukazují na existenci fytoplanktonu (vesměs sinice, *Eoentophysalis*),
- recentní *Entophysalis* žijí v hypersalinních vodách



recent

fossil



(G) *Entophysalis*, compared with **(H)** *Eoentophysalis*

**G, living stromatolite-building
cyanobacteria from northern Mexico**

**H, fossil, 2100 Ma,
Belcher Supergroup of Canada,
Hudson Bay.**

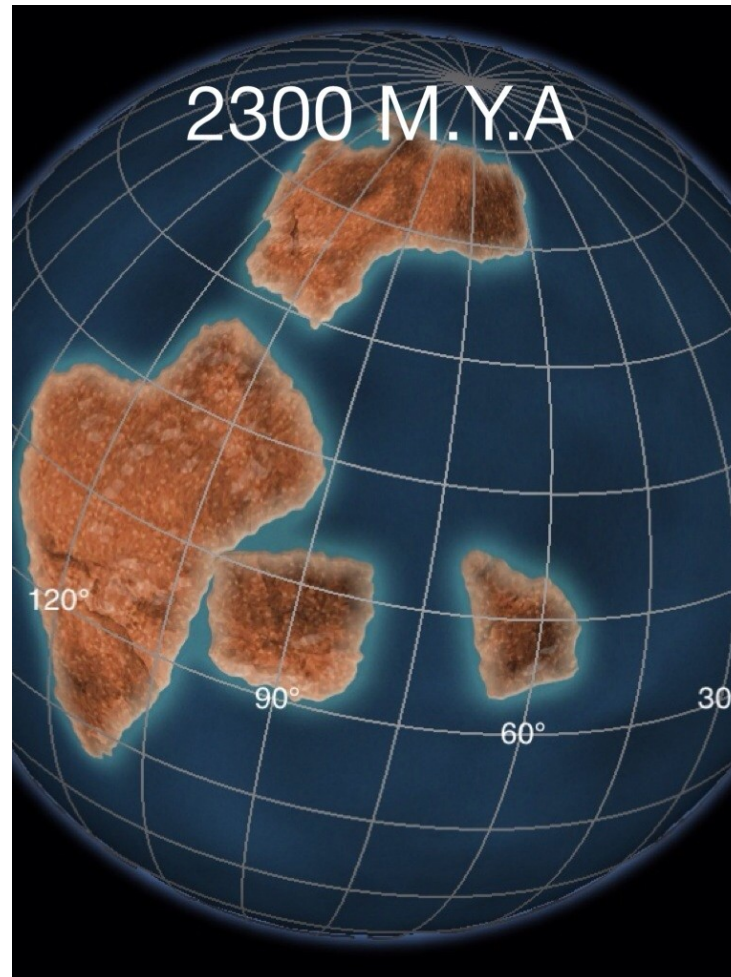
Bars for scale represent 10μm

J. W. Schopf (1999)

Rhyacian (2.3-2.05 Ga):

2.2 Ga – nástup organizmů s mitochondriemi – aerobní dýchání

2.1 Ga – konec huronské orogeneze



Grypania, nejstarší mnohobuněčné fosílie (?řasy, ?kolonie baktérií), Iron Mine (Michigan, USA, ~ 2.1 Ga)



Dtto, Negaunee Iron Fm.



Grypania spiralis

Pozn.: někteří autoři zpochybňují zařazení k mnohobuněčným organismům. *G. spiralis* z rampurských břidlic (Indie, Rohtas Fm., 1.6 Ga) však patří již jistě k mnohobuněčným



Gabonské fosílie



**JV Gabon (Z. Afrika),
Franceville Group,
černé břidlice,
mořská delta,
2. 1 Ga**

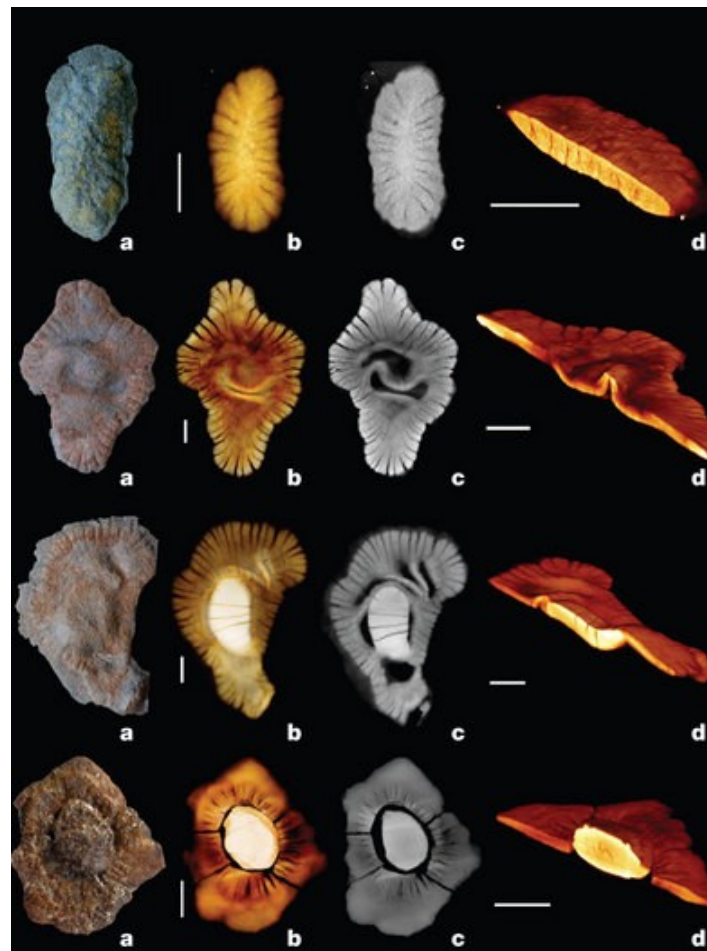


Trojrozměrná stavba
+ některé struktury
=> mnohobuněčnost



**Bengtson:
„první pokus multicellularity“
(?)**

Rekonstrukce gabonských fosilií (News Staff, 2010)



Pozn.: „Gabon“ je o 200 Ma starší než tzv. Stirling Biota (Z. Austrálie)



Další ukázka gaboniontů

Orosirian (2.05-1.8 Ga):

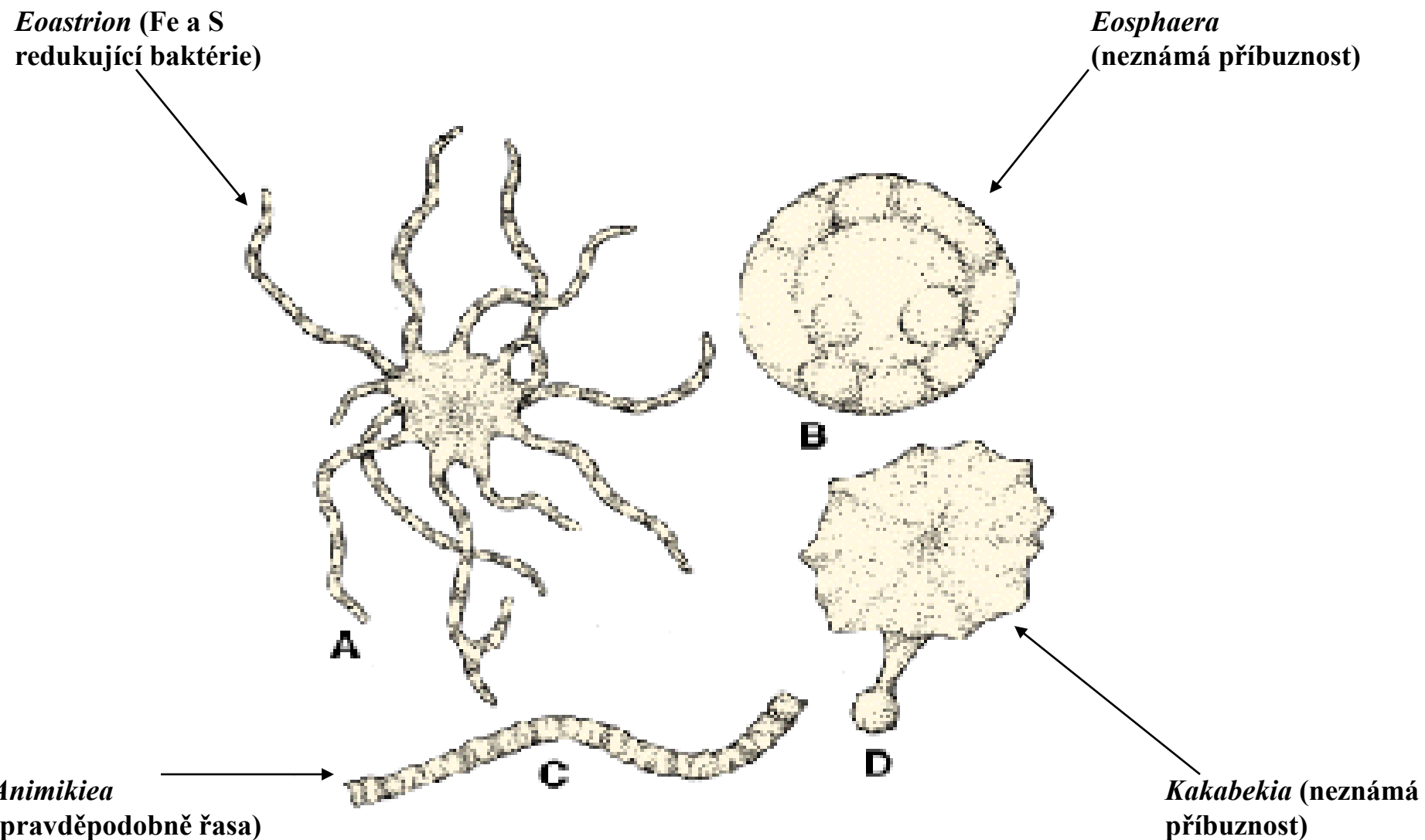
Intenzivní orogeneze

- 2023 Ma – velký impakt, Vredefort, J. Afrika, 300 km prm. kráter,
těleso průměr > 10 km
- 2000 Ma – sluneční zářené = 85 % dnešní intenzity
 - začátek akumulace kyslíku v atmosféře
- 1850 Ma – impakt, Sudbury, Ontario, Canada, 250 km průměr,
těleso průměr > 10 km

Vredefort crater is the largest verified impact crater on Earth. It is located in the Free State Province of South Africa and named after the town of Vredefort, which is situated near its centre. The site is also known as the Vredefort dome or Vredefort impact structure. In 2005, the Vredefort Dome was added to the list of UNESCO World Heritage [...]

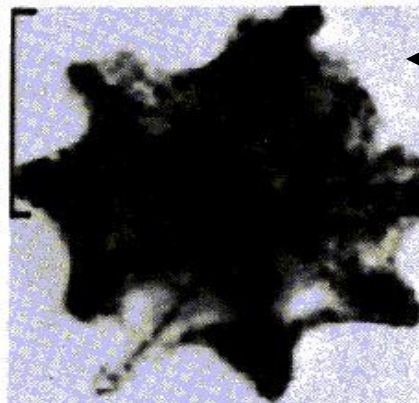
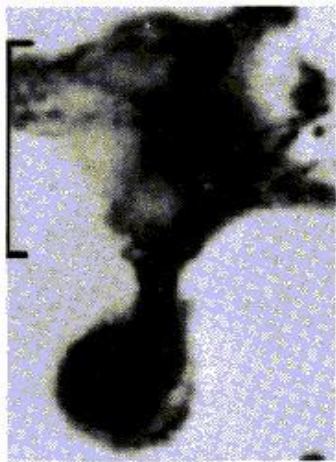
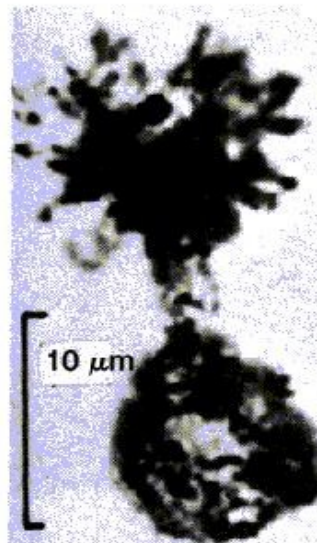


Mikrofosílie (Prokaryota) z Gunflint (Kanada, ~ 2.0 Ga) - rekonstrukce



Mikrofosílie (Prokaryota) z Gunflint (Kanada, ~ 2.0 Ga) – snímek el. mikroskop

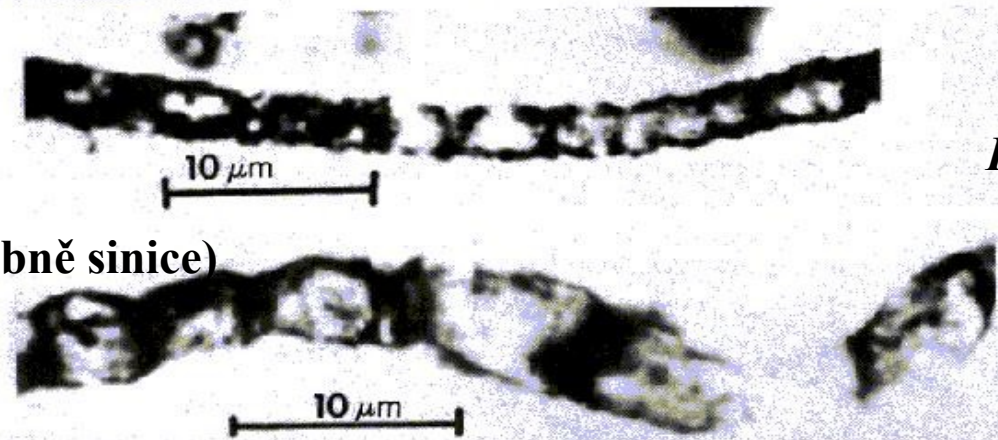
Eoastrion (Fe a S
redukující baktérie)



Kakabekia
(neznámá
příbuznost)



Animikiae
(pravděpodobně sinice)

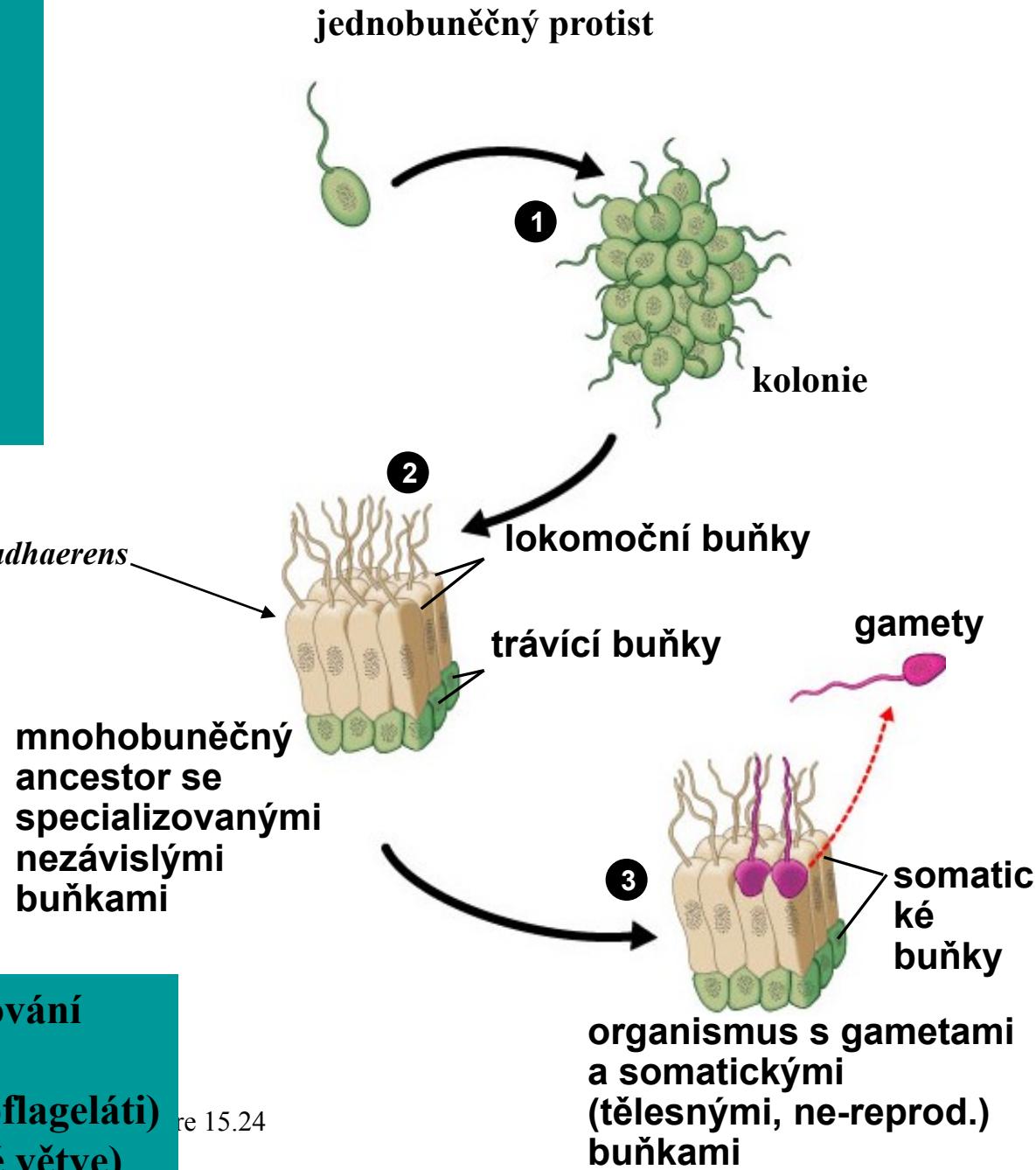


Huroniospora

Eosphaera
(neznámá
příbuznost)

Přijímaná cesta od jednobuněčných k mnohobuněčným organizmům (2-1.5 Ga)

Stadium *Trichoplax adhaerens*
(viz dále)



~ 1.2 Ga – sexuální rozmnožování
zrychlení evoluce

~ 900 Ma – bičíkovci (choanoflageláti)
(ancestor živočišné větve)



kresba



foto - v pohybu

Trichoplax adhaerens, recent

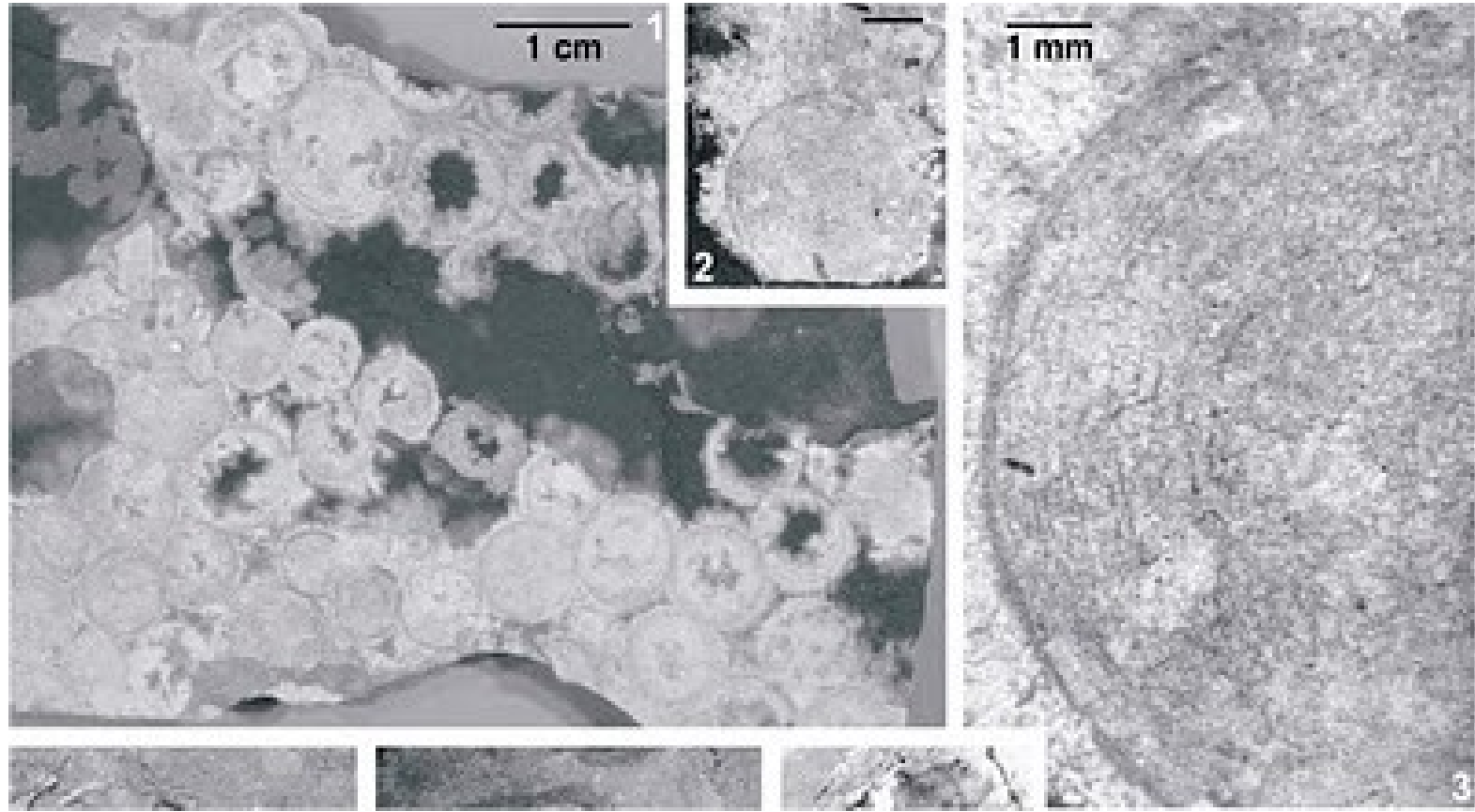
Placozoa – kmen s jediným druhem *T. adhaerens*, organizmus složen pouze ze 4 typů buněk (cca soubuní) funkčně diferencovaných, studium genomu v r. 2006 prokázalo, že geny obsahují introny (nepřesaditelné oblasti uvnitř genů) a další genetické struktury typické i pro jednobuněčné organizmy => *Trichoplax* je blízký přechodu od jedno- k mnohobuněčným (nikoliv regrese)



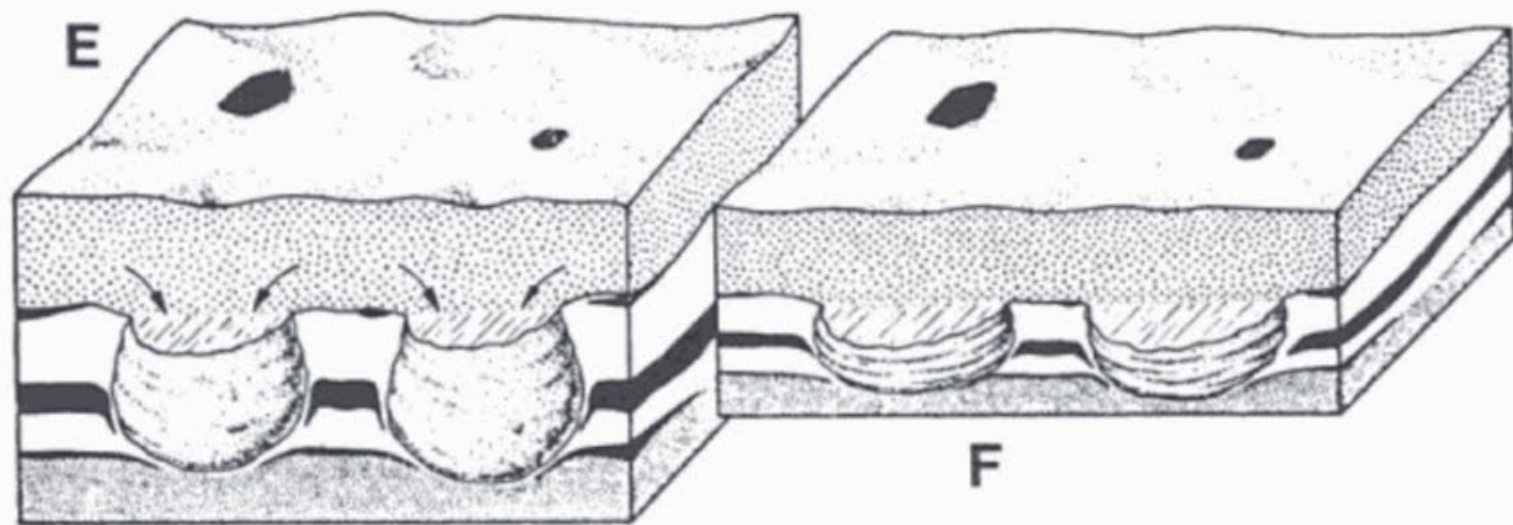
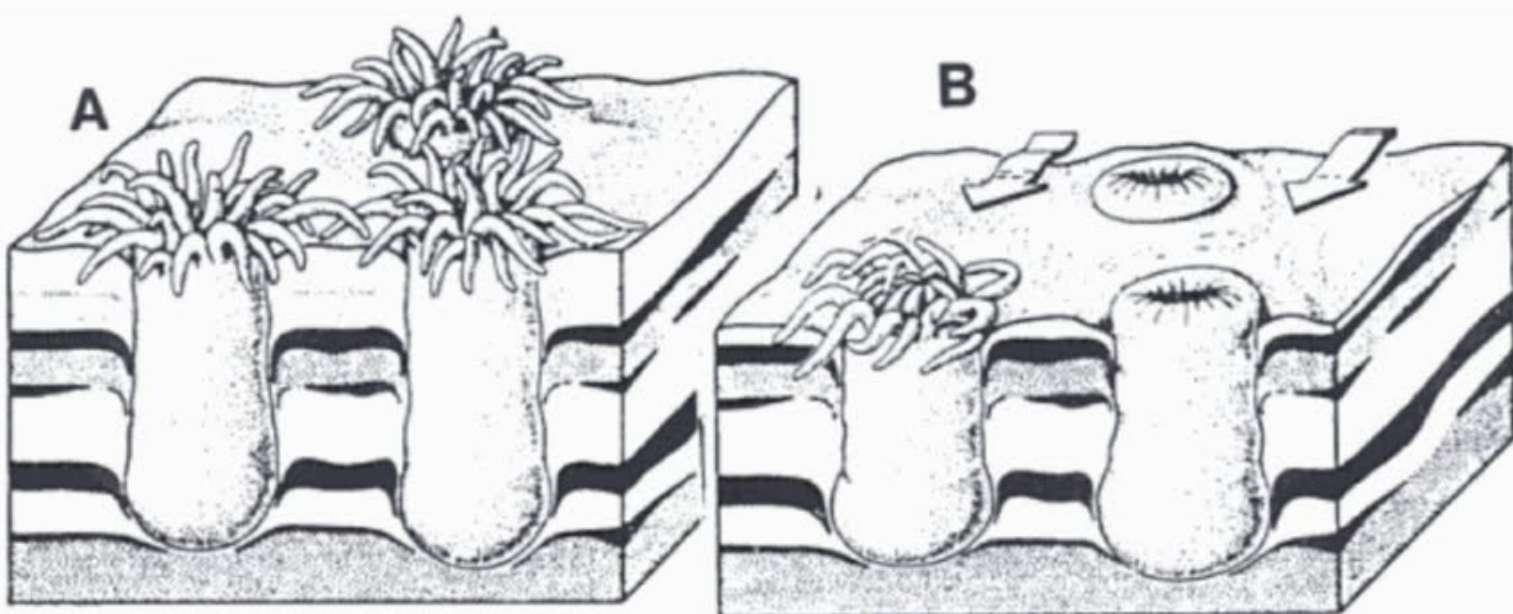
Beltanelliformis

2 cm

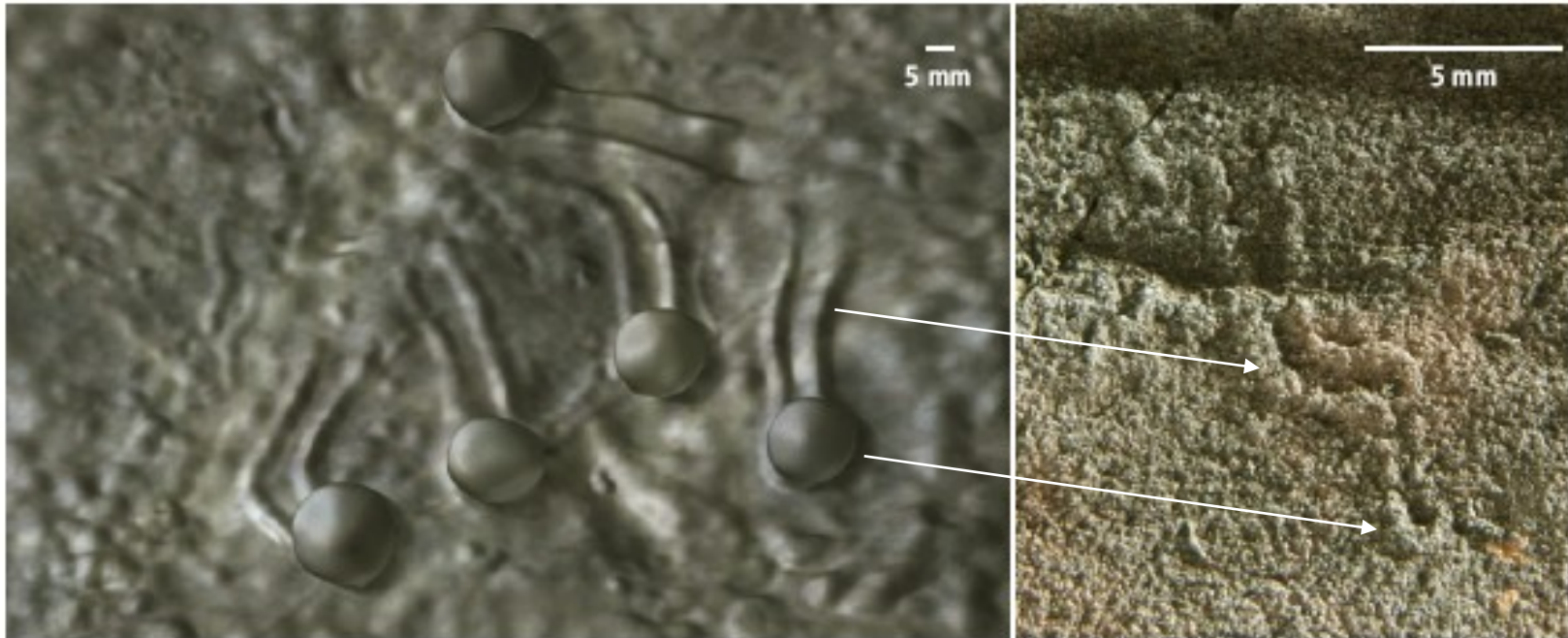
Beltanelliformes – Gabon, Franceville Group, prz. ~ 2Ga



***Beltanelliformes* – Gabon, Franceville Group, prz. ~2Ga, řezy**



Možná (?) rekonstrukce *Beltanelliformes*

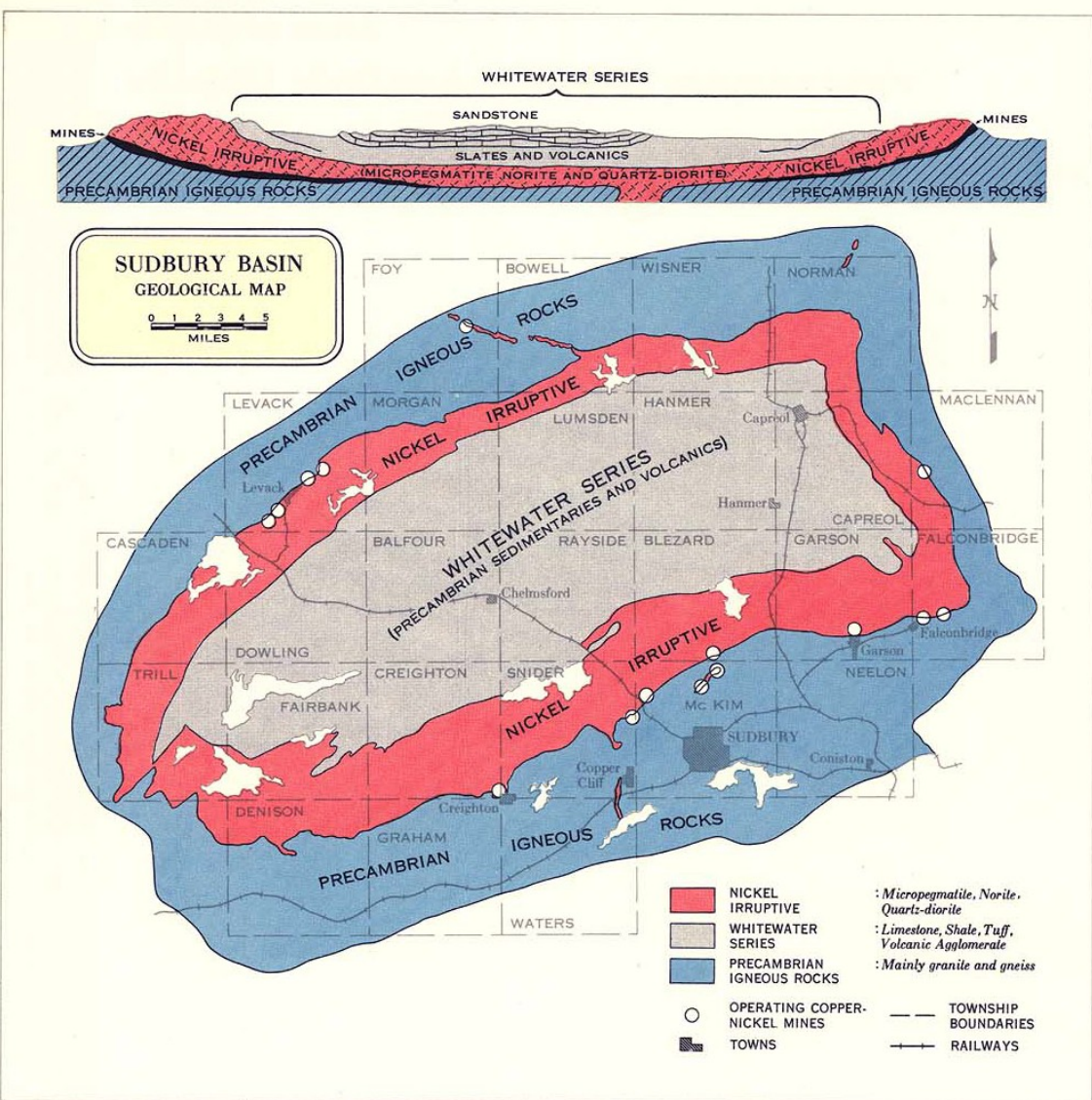


Making traces. (Left) Reconstruction of *Gromia* making traces on the sea floor. (Right) Trace fossils of *Myxomitodes* dated at 1.8 to 2 billion years (9).

vlevo: *Gromia*, recent, stopy po pohybu obřích měnavek

**vpravo: *Myxomitodes* v horninách starých 1.8-2 miliardy let
(Stirling Range Formation, jz. Austrálie), jsou považovány
za stopy vytvořené pohybem mnohobuněčných nebo
syncytiálních organizmů => problém (???,
měňavky potvrzeny až cca 850 Ma)**

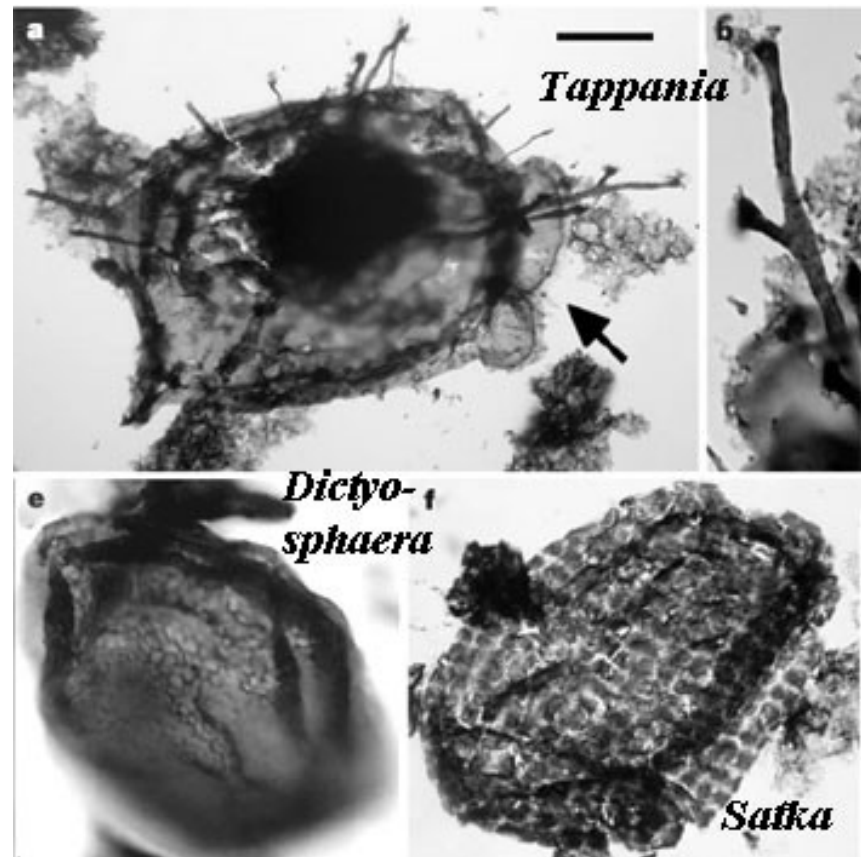
1850 Ma – impakt, Sudbury, Ontario, Canada, 250 km průměr



Sudbury

Statherian (1800-1600 Ma)

- rozvoj komplexního jednobuněčného života
 - hojné baktérie a archaea
- + akritarcha, vzácná, sférická (jednoduchá - *Tappania*, *Dictyosphaera*, *Satka*) = ? prasinophyta (zelené řasy) nebo glaukophyta či bazální skupina ke všem eukaryotům, vesměs akinetes = spící stadia sinic.



Acritarchs from the Mesoproterozoic Roper Group. Javaux et al. (2001). Bar = 35, 10, 15 & 40 μ .

Představují vesměs eukaryotické buňky planktonních řas, nastupují cca 1,6 Ga,

ve srovnání s prokaryoty jsou větší, komplexnější a geologicky mladší mají ornamentovanou vnější stěnu.

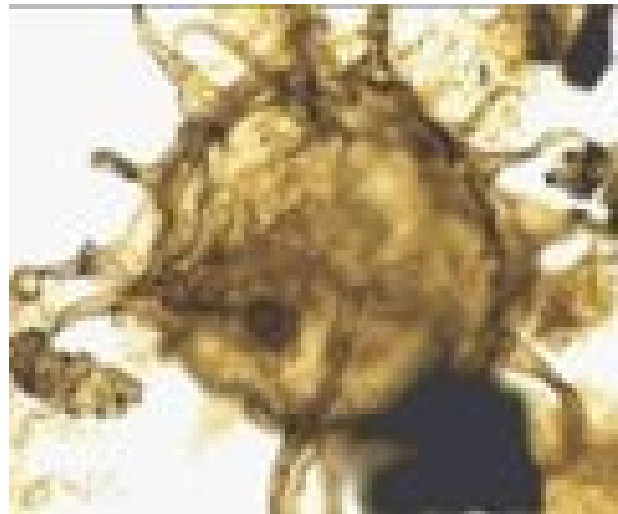
- při hranici Paleoprz/Mesoprz už častá *Grypania* = zčásti (okolo 1 mm v průměru) mohou být kolonie baktérií, větší jsou interpretovány k červům = časná eukaryota ?



Mezoproterozoikum (1600-1000 My):

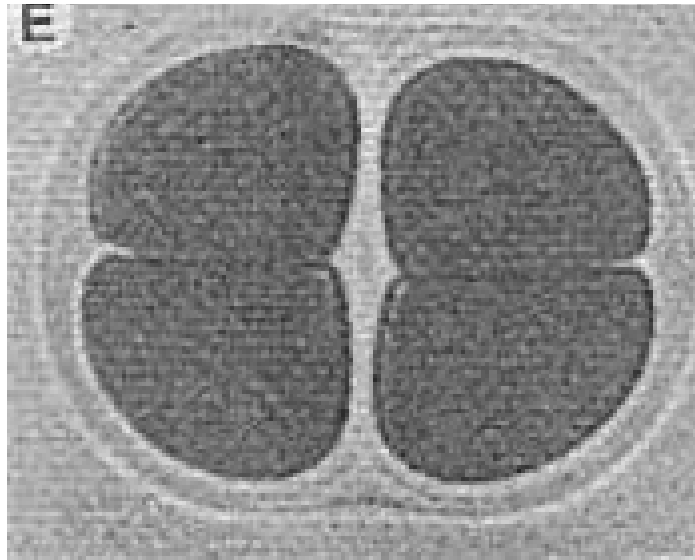
- rozvoj fotosyntetizujících organizmů a eukaryot,
- vzrůst O₂ v atmosféře až na 10 %,
- nástup tvorby ozonové vrstvy blokující sluneční UV záření

Calymmian (1600 - 1400 Ma) - eukaryontní organizace je definitivní. Spočívá: (1) struktura stěny a povrchová ornamentace, (2) processes that extend from vesicle walls (3) otvory pro komunikaci buněčného obsahu s okolím, (4) ultrastruktura stěn a (5) stěnová chemie . Velké buňky zřejmě již mají eukaryotický cytoskeleton. To souhlasí s "molekulárními hodinami“, jejichž výpočty dávají prvotní radiaci rostlin (Plantae) do calymmianu. V profilech Roper (Australie) jsou už i zřetelné ekologické trendy (zonace) - rozrůznění na příbřežní, šelfová a distálně šelfová společenstva. Vedle rostlin nástup ancestrálních živočichů a hub.

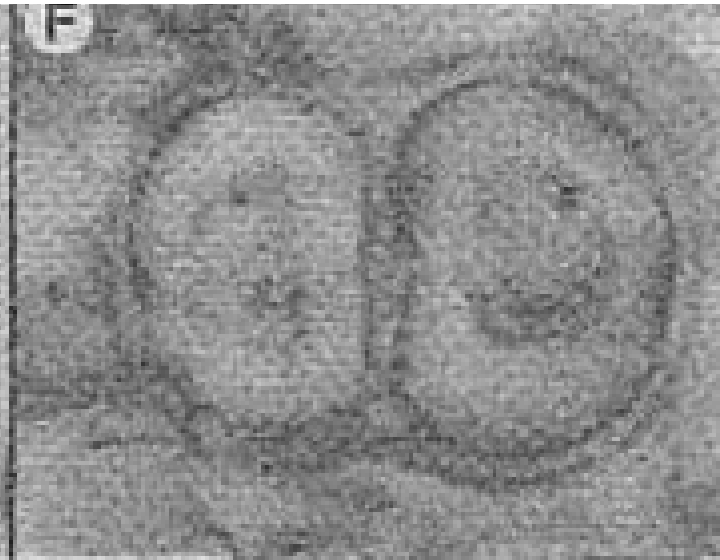


Tanarium conoideum, calymmian,.....

recent



fossil



(E) *Gloeocapsa*, compared with (F) *Gloeodiniopsis*.

**E, living stromatolite-building
cyanobacteria from northern Mexico**

**F, fossil, 1550 Ma,
Satka Formation of Bashkiria;**

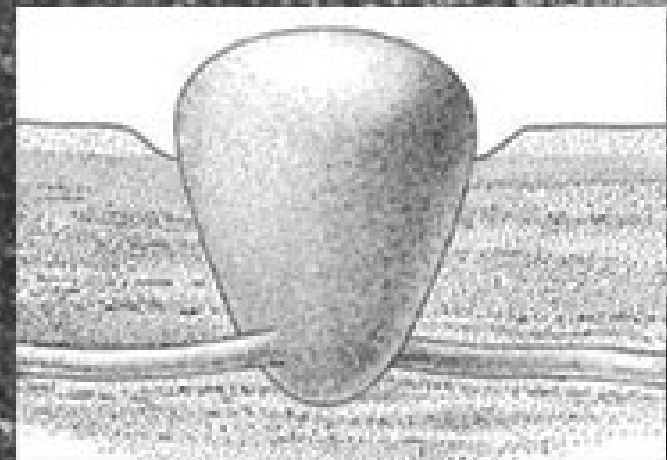
Bars for scale represent 10μm

J. W. Schopf (1999)

Horodyskia

Calymmian of Montana. Inset:
life reconstruction. Fedonkin
& Yokelson (2002).

1 cm



? korálovitá *Horodyskia*, calymmian - 1500 Ma, S. Amerika, Austrálie,
nejasnosti v syst. zařazení

Ectasian (1400-1200 Ma)

Mzprtz akritarcha obsahují druhy s novými znaky: eliptický tvar, vesikulární póry a mnohobuněčný nebo koloniální vzhled. V **ectasianu** jsou prtz akritarcha kosmopolitně rozšířená. Podle jejich izotopických analýz byla úroveň CO₂ v Mzprz cca 10 až 1000 krát vyšší než dnes.

Všechna tato akritarcha jsou považována za fotosyntetizující organizmy.

Hojné jsou již zelené (**Chlorobionta**) a červené (**Rhodophyta**) řasy.

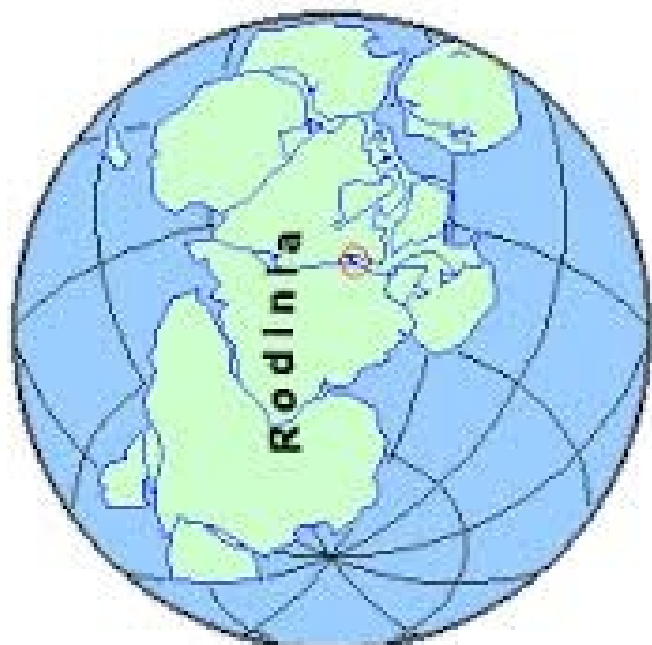
Stenian (1200-1000 Ma):

1200 Ma – tvorba spór a gamet indikuje nástup sexuálního rozmnožování

1100 Ma – vznik Rodinie

Rodinia – 1.100 – 750 Ma

850 Million Years Ago

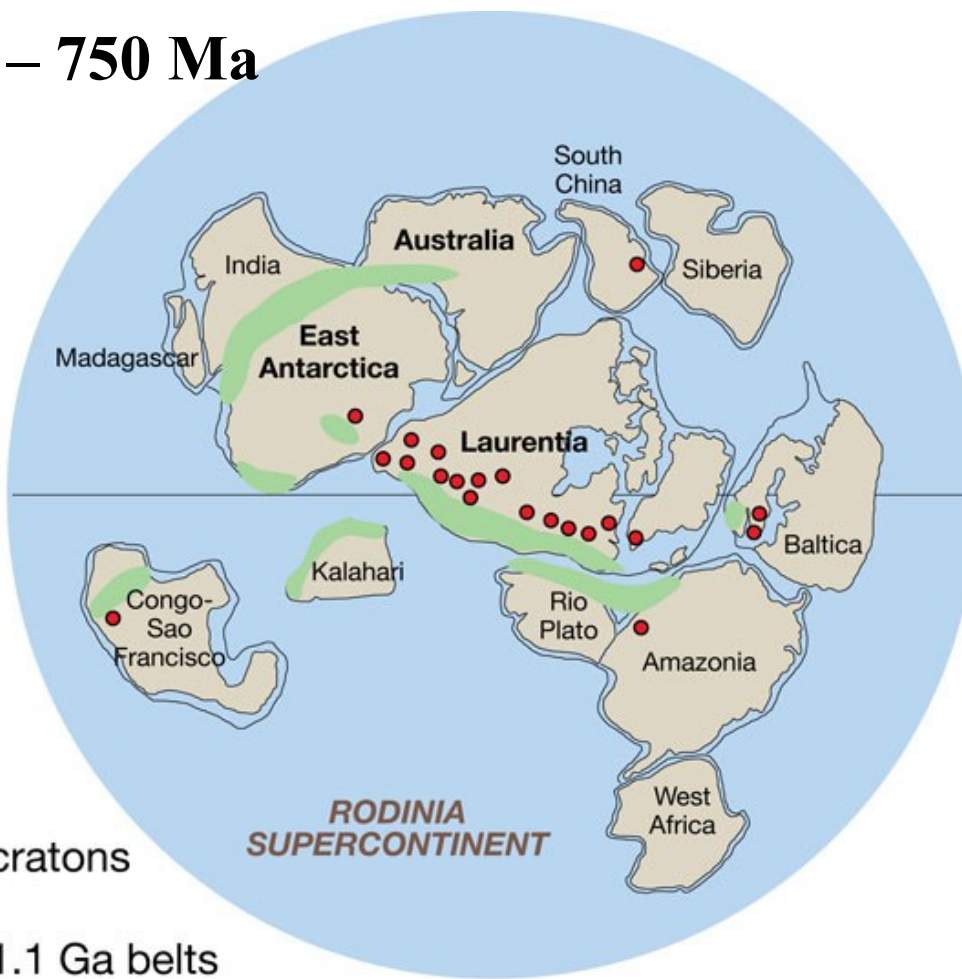


Legend:

Location of future Cape Breton

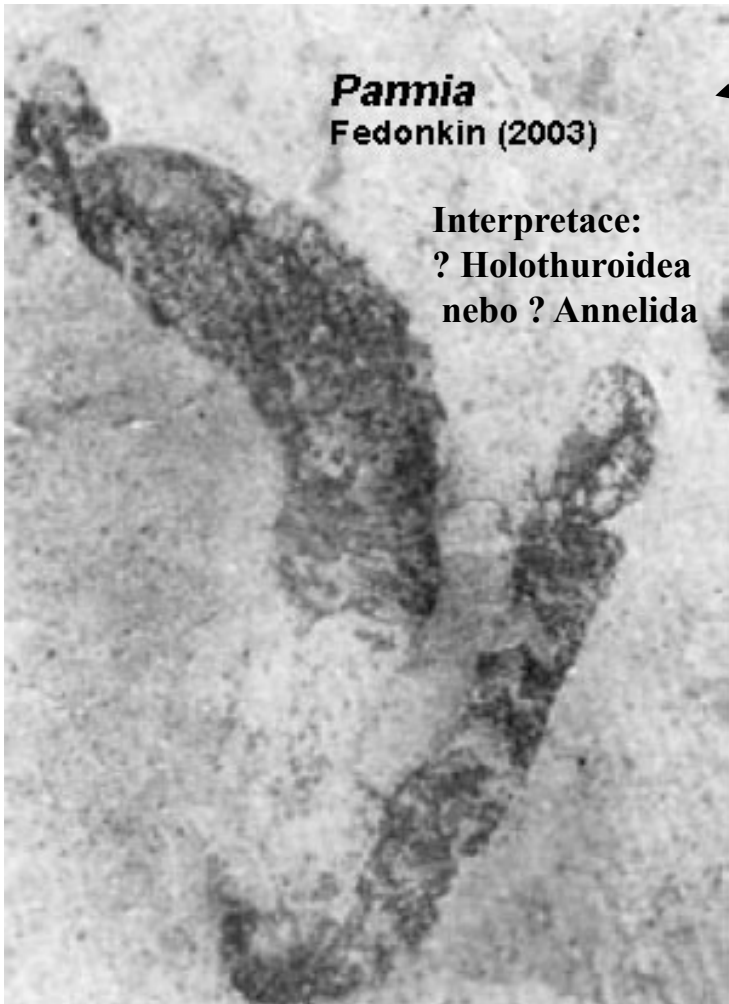
cratons

1.1 Ga belts



Neoproterozoikum

V **tonianu** (1000 - 850 Ma), rozvoj mnohobuněčných , objevují se houby a moderní řády (až do rec.) zelených řas, ale také *Parnia*



1000 My – jasný nástup multicelularity,

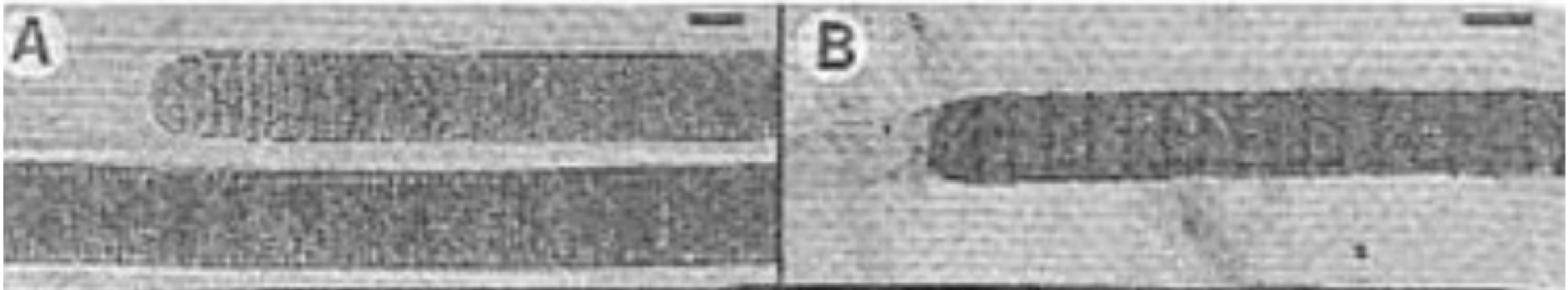
950 My – start Stuartského zalednění

900 My – zemský den má 18 hodin

Měsíc je 350.000 km od Země

recent

fossil



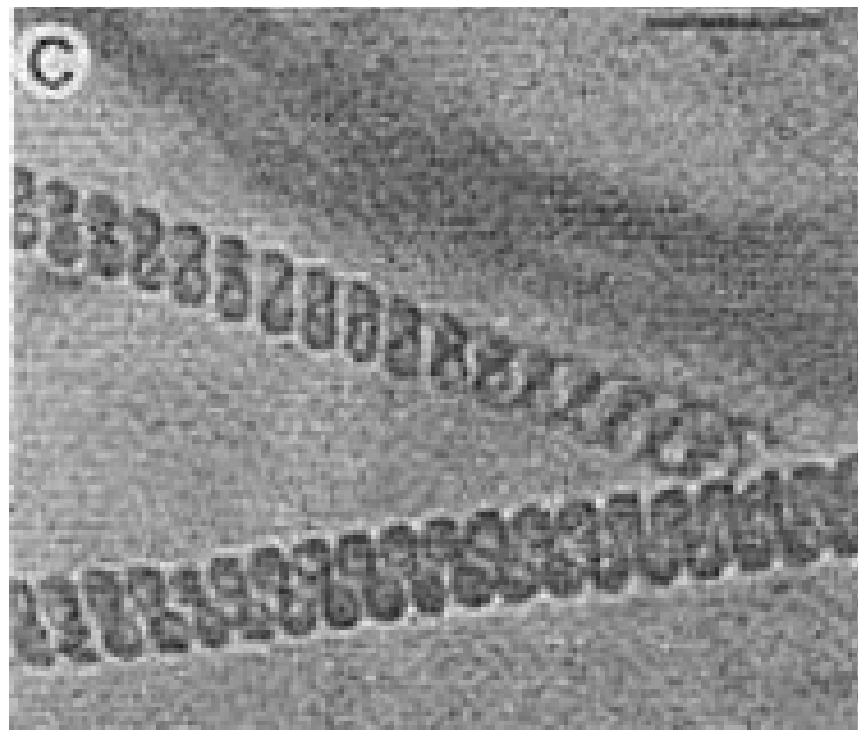
(A) *Lyngbya*, compared with (B) *Palaeolyngbya*.

**A, living stromatolite-building
cyanobacteria from northern Mexico**

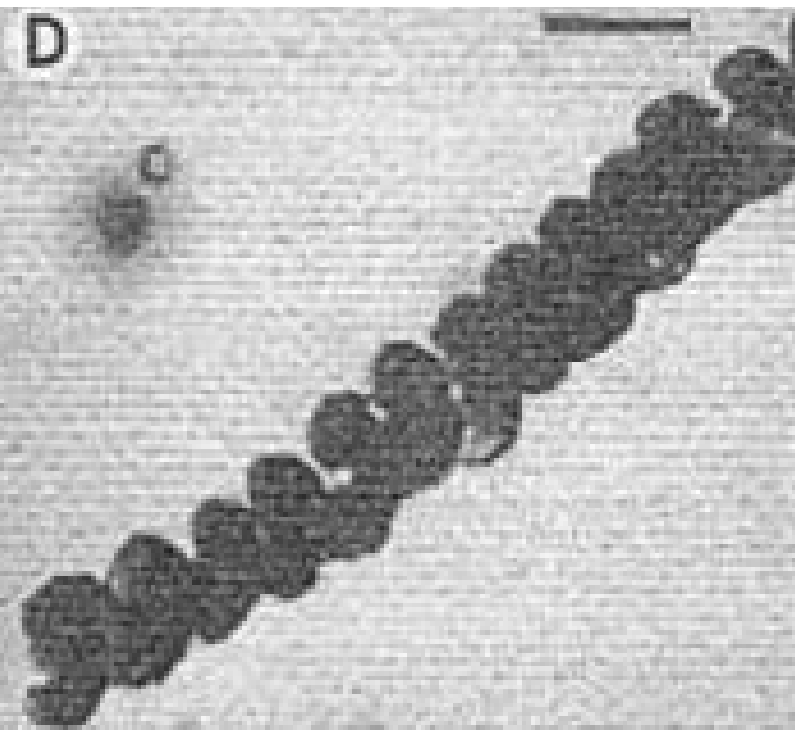
**B, fossil, 950 Ma,
Lakhanda Formation, Siberia**

Bars for scale represent 10μm

recent



fossil



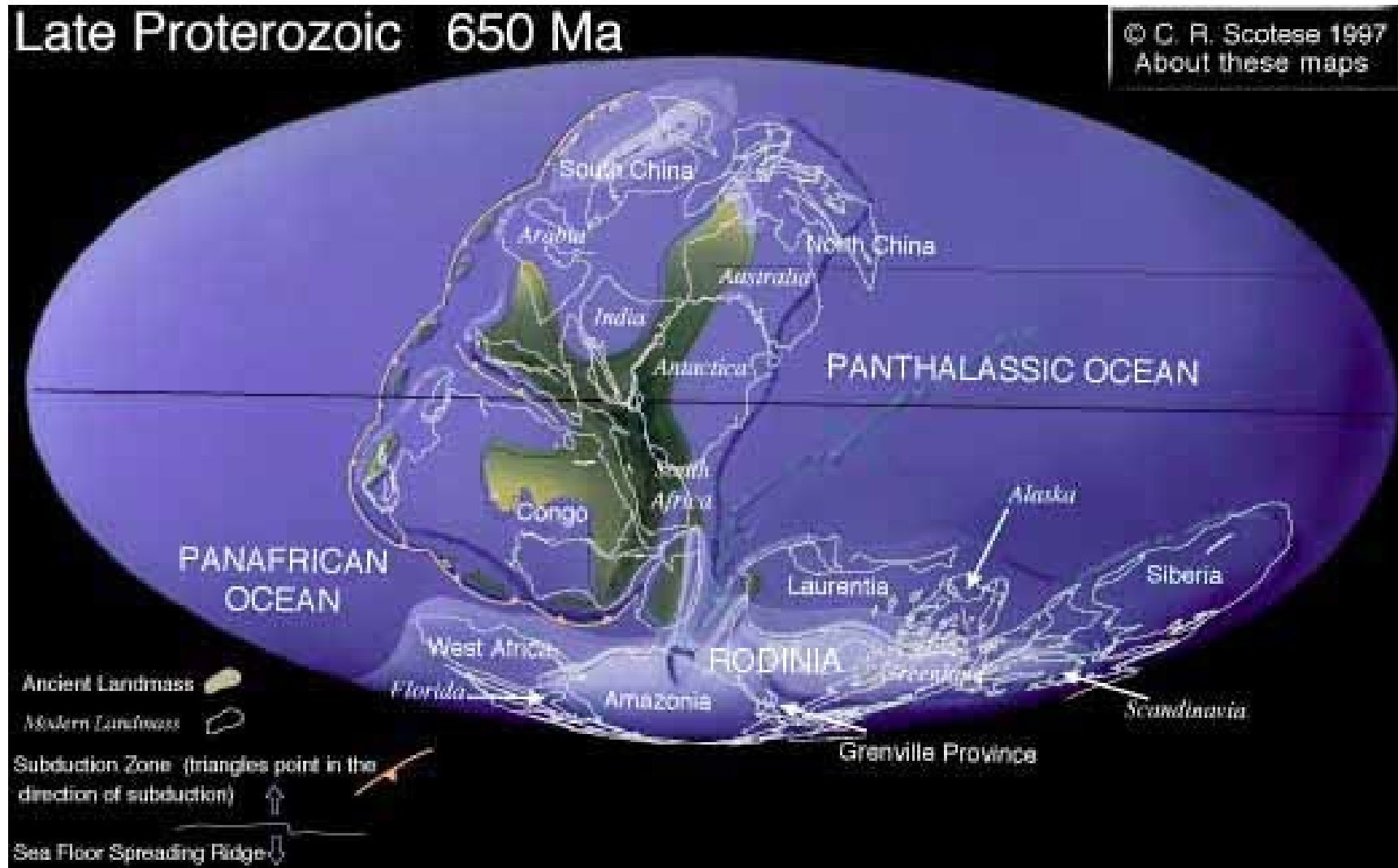
(C) *Spirulina*, compared with (D) *Heliconema*.

C, living stromatolite-building
cyanobacteria from northern Mexico

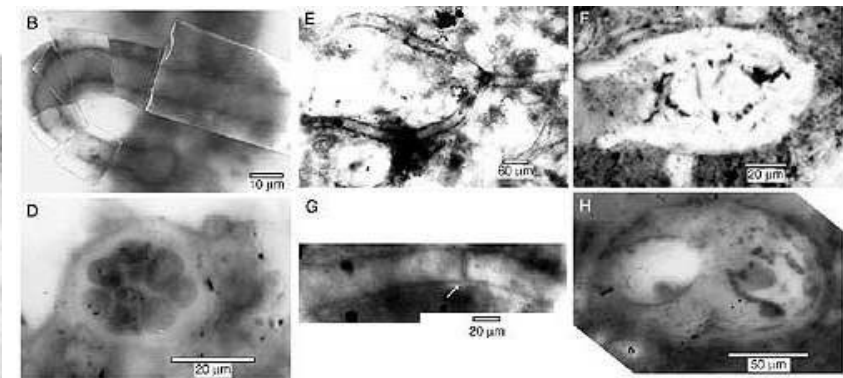
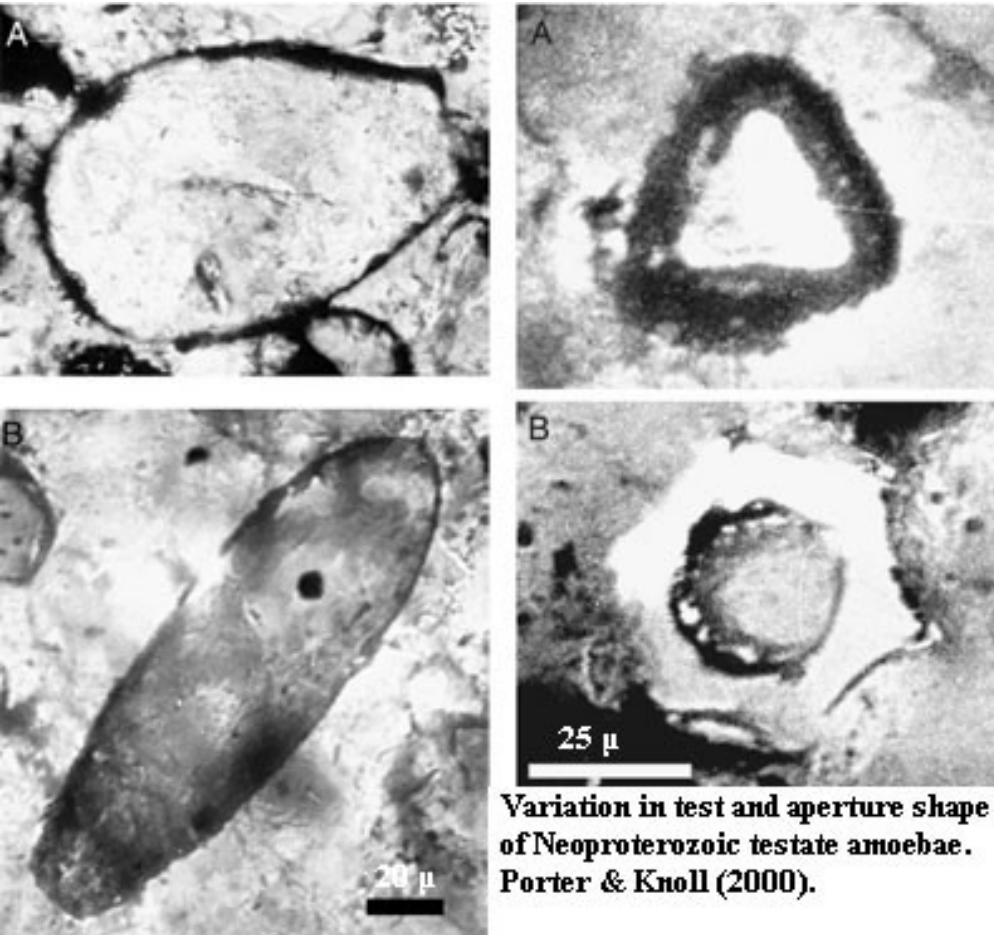
D, fossil, 850Ma,
Miroedikha Formation, Siberia

Cryogenian (850-630 Ma)

Paleogeografie závěru proterozoika (srv. rozsah kont. zemské kůry s dnešním). Šířka kontinentů v archaiku: 100-500km, v proterozoiku, 1000-2000 km, fanerozoiku: 5000-10000 km). Nové práce = růst byl rychlejší do sv. Prz (2x-3x).



**850 Ma - první záznam měňavek jako heterotrofních eukaryot,
750 Ma – tříštění Rodinie a tvorba superkontinentu Pannotia a konec silné
magnetické reverze**



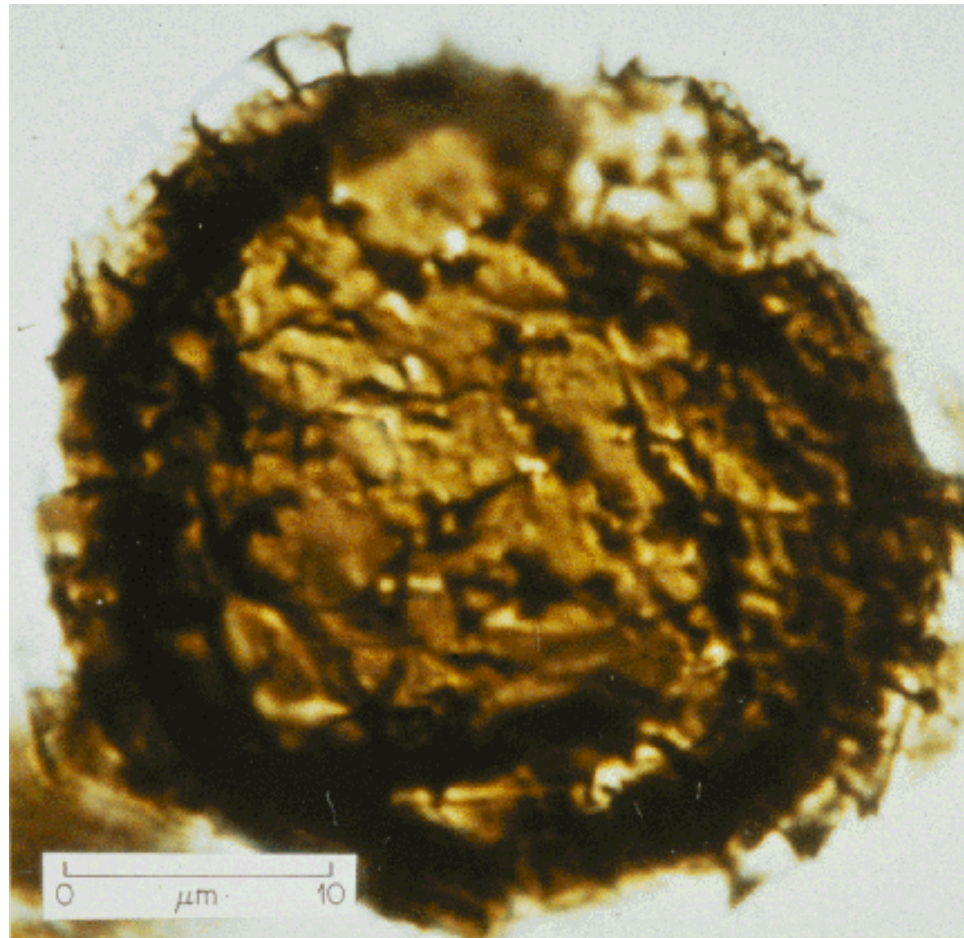
~ „Snowball Earth“ ,
hromadné vymírání řas - 70 %

Měsíc je 357. 000 km
vzdálen od Země



© 2001 Brooks/Cole Publishing/ITP

? cysta řas, ? eukaryontní prvok, měňavka - kryogenian



Vandalosphaeridium walcotti - zástupce akritarch, kwaguntské souvrství,
Grand Canyon, 850 Ma

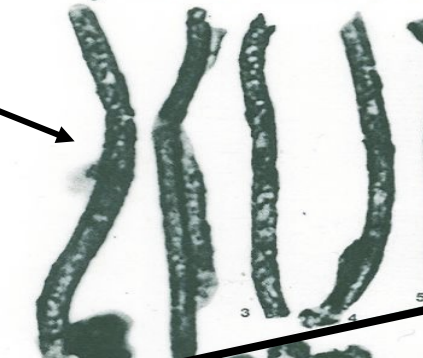


Cyanobacteria (sk. Nostocales), Bitter Springs souvrství, Střední Austrálie, 850 Ma,
vynikající zachování v horninách (fosilní „křemitý gel“)

Mikrofosílie (prokaryota a akritarcha) z různých lokalit proterozoika

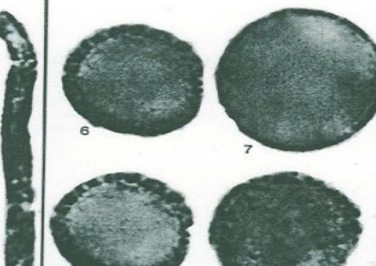
Kanada (~ 2 Ga)

Gunflintia minuta B.



(cyanobacteria)

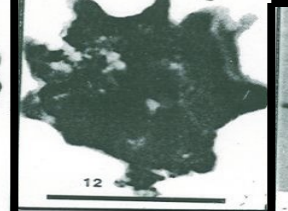
97 *Huroniospora microreticulata* B.



Davlinella sp.
(cyanobacteria)



Eomicrhystridium (řasy)



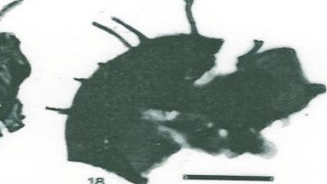
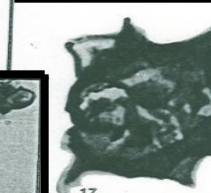
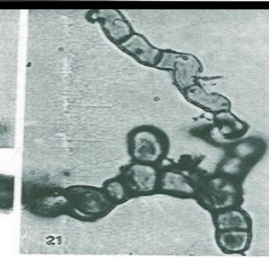
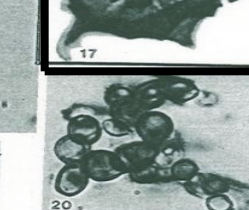
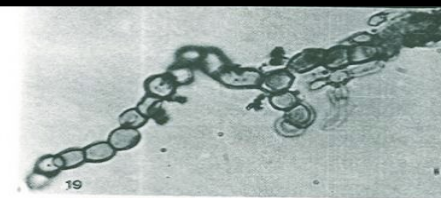
Acritarcha



Acritarcha – cysty a jednobuněčné mikrofosílie
mnohdy nejistého systematického zařazení
(většinou řasy) tvoří převládající fosílie
v proterozoiku

Český masív (~ 800 Ma)

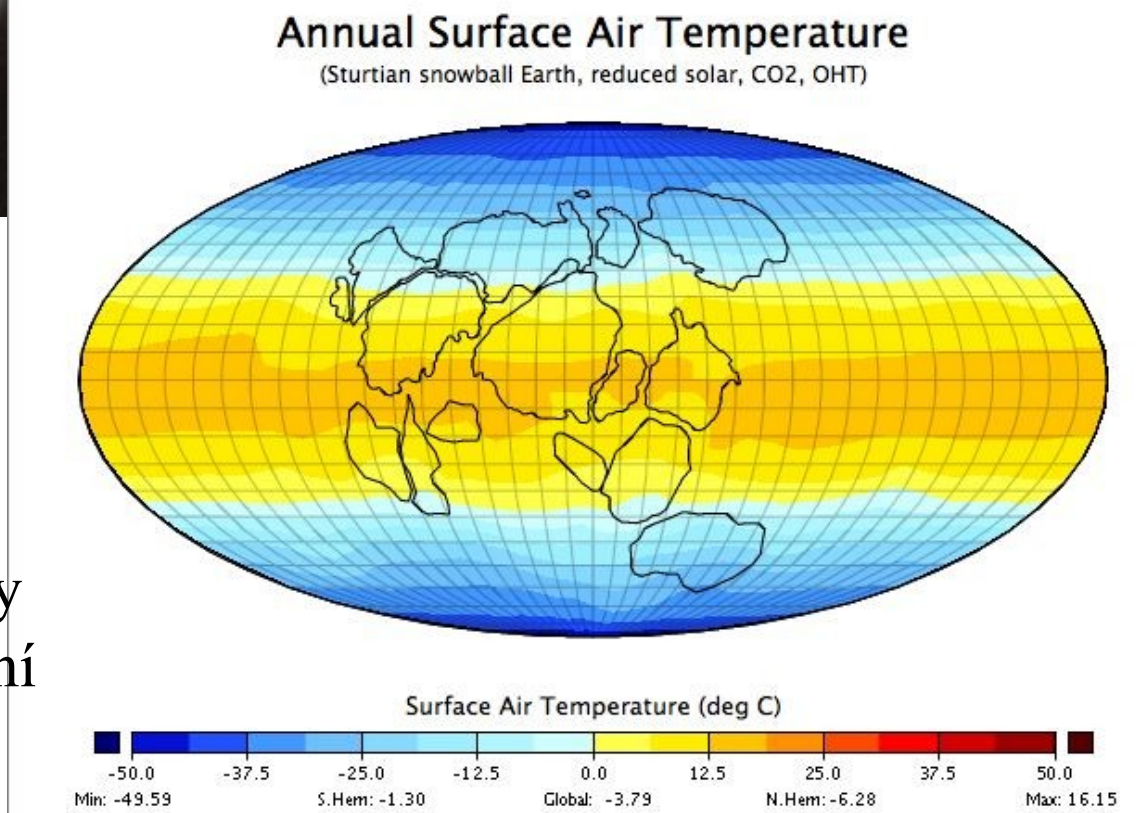
Cyanobacteria (cf. Nostoc)





Modelové teplotní hodnoty
během sturtského zalednění
(~750 Ma)

„Snowball Earth“ –
představa Země během sturtského
zalednění v nejvyšším proterozoiku
(~750 Ma) – tání => obrovské množství
živin do oceánů = rozkvět nanoflóry =
prudké zvýšení O₂ => dostatek energie
pro rozvoj velkých organismů (G. Narbonne, 2006)





Kuesty Jižní Austrálie, neoproterozoikum, kryogenian

....research team member [Adam Maloof](#) co-wrote a March 2010 Science paper demonstrating that glaciers reached the equator some 716.5 million years ago, providing further evidence to support the existence of a Cryogenian "snowball Earth."

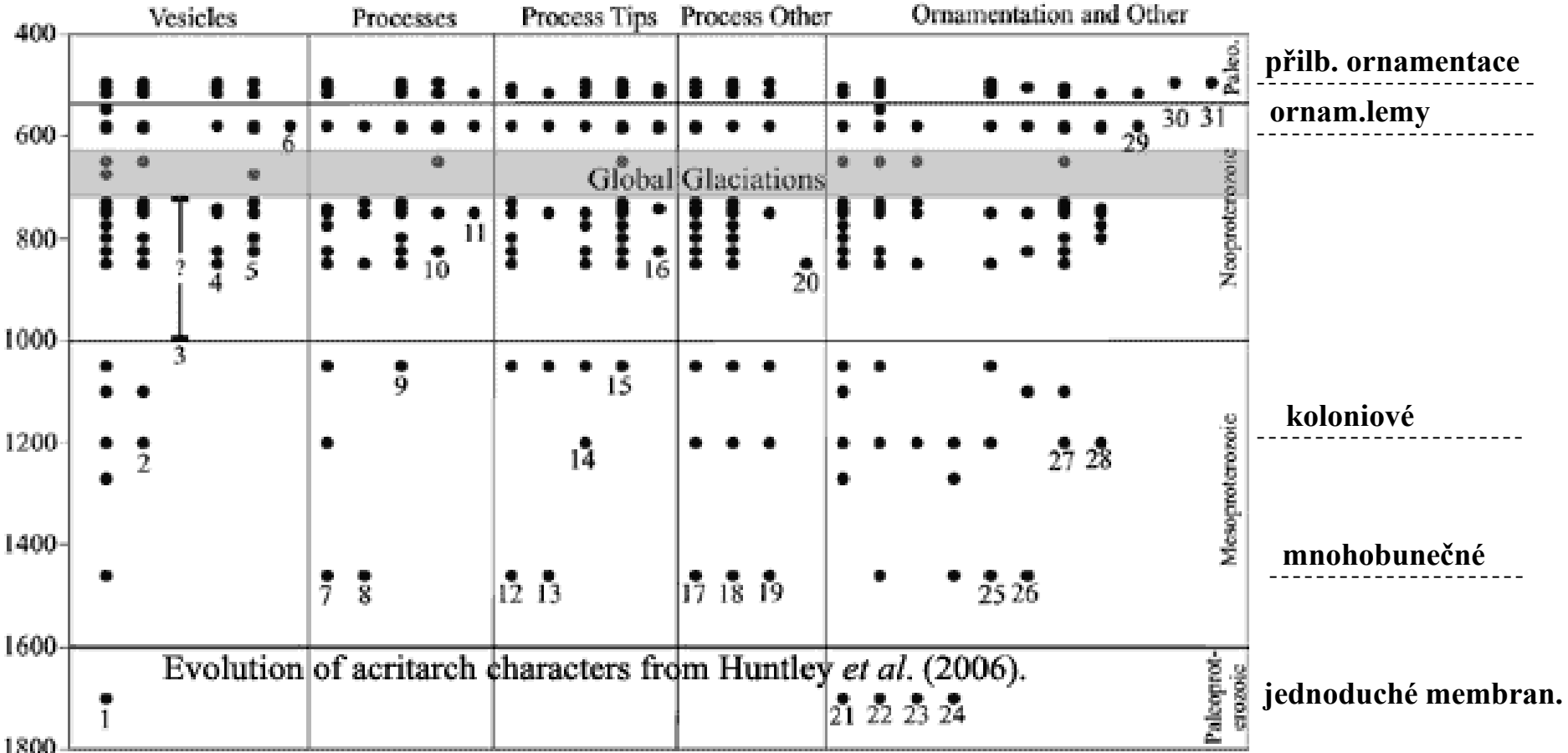
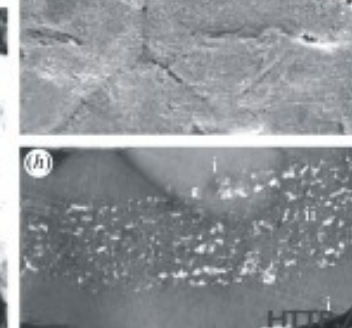
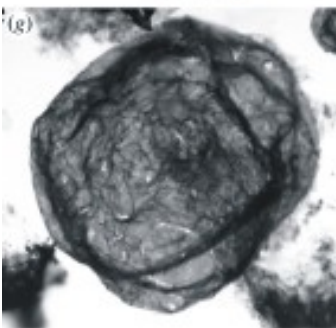
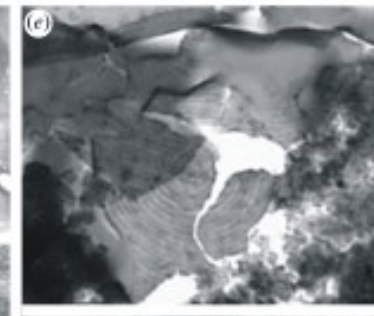
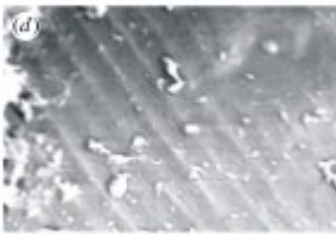
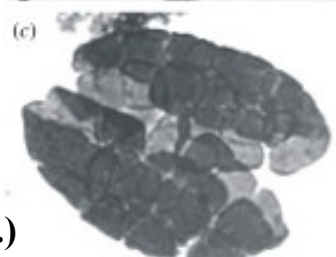
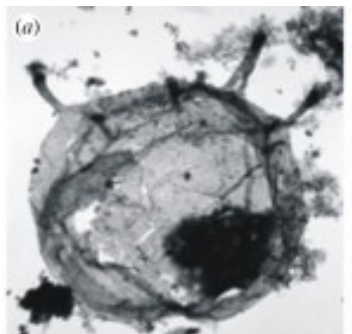


Fig. 5. Stratigraphic occurrences of morphological characters utilized in this study: (1) spherical vesicle; (2) ellipsoidal vesicle; (3) barrel-shaped vesicle; (4) bulb-shaped vesicle; (5) polyhedral vesicle; (6) medusoid vesicle; (7) cylindrical process; (8) dome-shaped process; (9) tapered process; (10) hair-like process; (11) triangular process; (12) rounded-tip process; (13) capitate-tip process; (14) blunt-tip process; (15) pointed-tip process; (16) funnel-tip process; (17) hollow process; (18) interior of process communicates with interior of vesicle; (19) branching process; (20) processes fuse at tip; (21) enveloping membrane; (22) excystment-like structure; (23) internal bodies in vesicle; (24) concentric ornamentation on vesicle surface; (25) plates on vesicle; (26) multi-celled appearance (vesicles contained in a larger envelope); (27) colonial appearance (aggregation of vesicles); (28) pores in vesicle wall; (29) flange ornamentation; (30) crest ornamentation; (31) costae meshwork surrounding vesicle.

Evolve akritarch podle Huntley et al. (2006) - upraveno



Horodyskia

Akritarcha (neornament.)

Grypania

HTTP://WWW.DINOSURFACT.NET



Souhrnný pohled na některé předediakarské fosílie

Ediacaran (630-542 Ma)

Ediakar začíná po Marinoanském zalednění (SE), 630 Ma, vznik atmosferického O₂, následuje řada eventů. Oceánské dno = kryté bakteriálním filmem, jinak pevný substrát, málo mobilních herbivorů, většina pevného substrátu tvořena korály a calcifikujícími baktériemi. Četné diskuse o způsobu života tehdejších tvorů. Zajímavost - většina dobře známých ediakarských živočišných fosilií se zdá pocházet z hlubokých vod (pod dosahem slunečního záření).

Přehled dat:

600 Ma - zemský den má 20.7 hodin

590 Ma - J. Austrálie, Acraman, impakt meteoritu (90 km průměr kráteru)

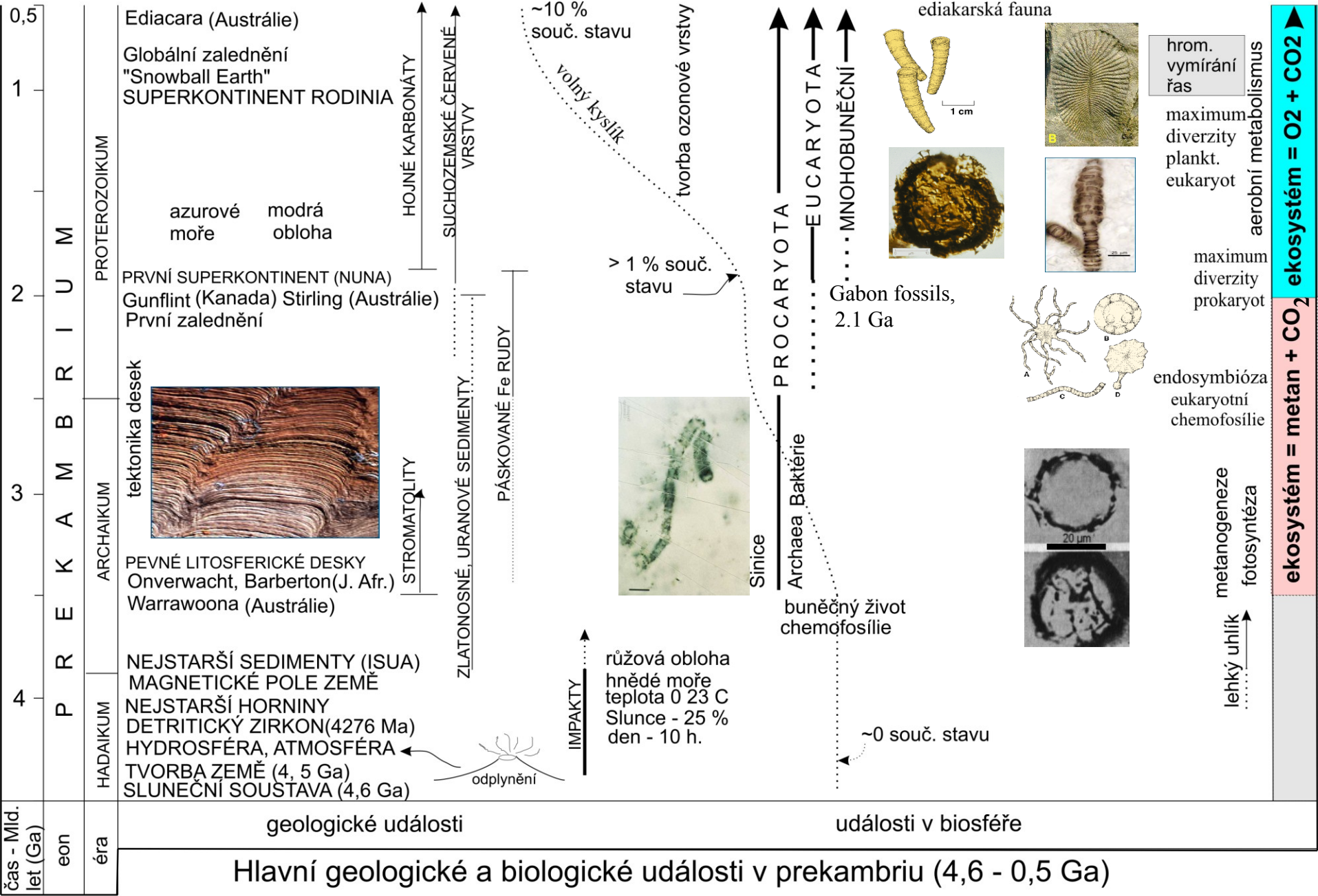
580 Ma - objevují se měkkotělé organizmy *Dickinsonia* etc.

570 Ma - konec Sturtského zalednění, nástup schránečných struktur u bezobratlých

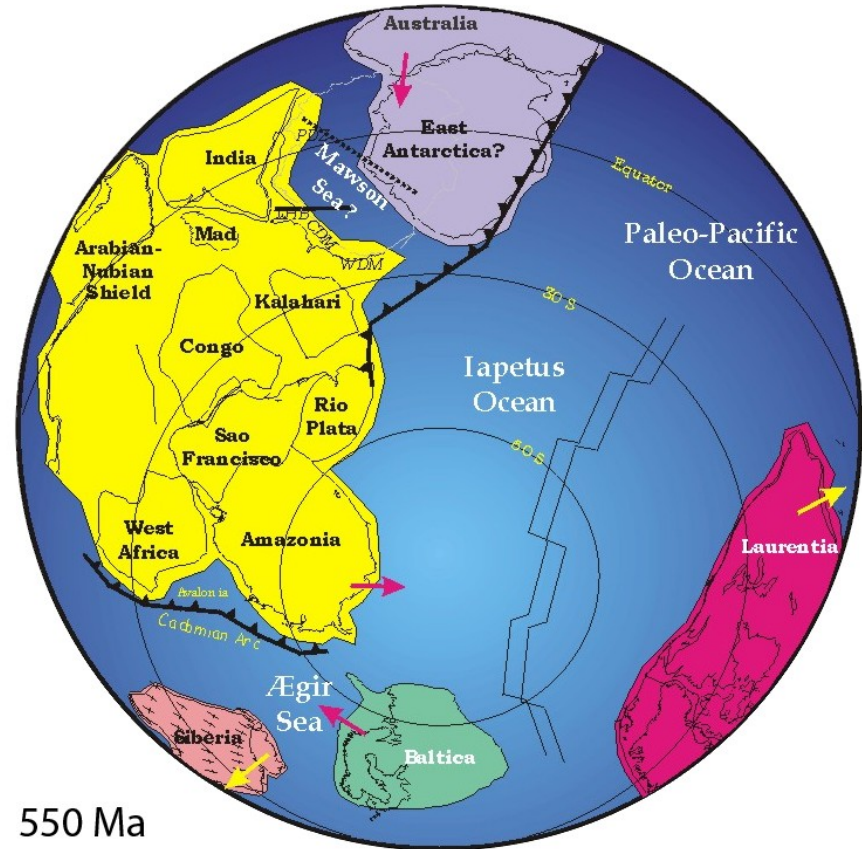
550 Ma - Pannotia se tříští na Laurasií a Gondwanu



Acraman Crater South Australia 580 million years ago -Taking us back over half a billion years back, the Acraman meteor created what is today known as Lake Acraman, featuring an impressive 56-mile (90 km) diameter.



Pannotia

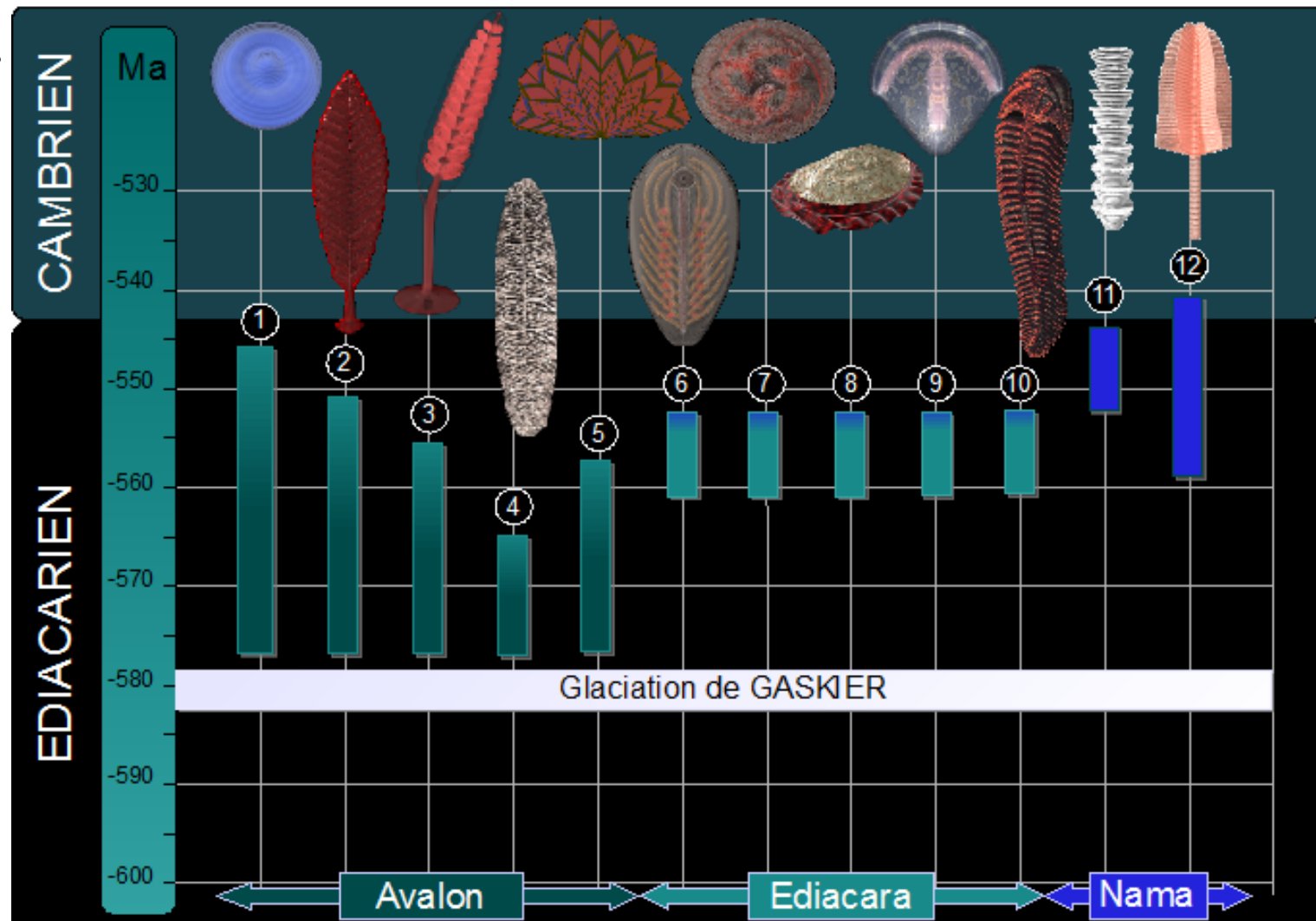




Evolution

Evolution des Métazoaires
l'Ediacarien.

- 1. Aspidella
- 2. Charnia
- 3. Charniodiscus
- 4. "Broche"
- 5. Bradgatia
- 6. Dickinsonia
- 7. Tribrachidium
- 8. Kimberella
- 9. Parvancorina
- 10. Spriggina
- 11. Cloudina
- 12. Swartpuntia



Avalon

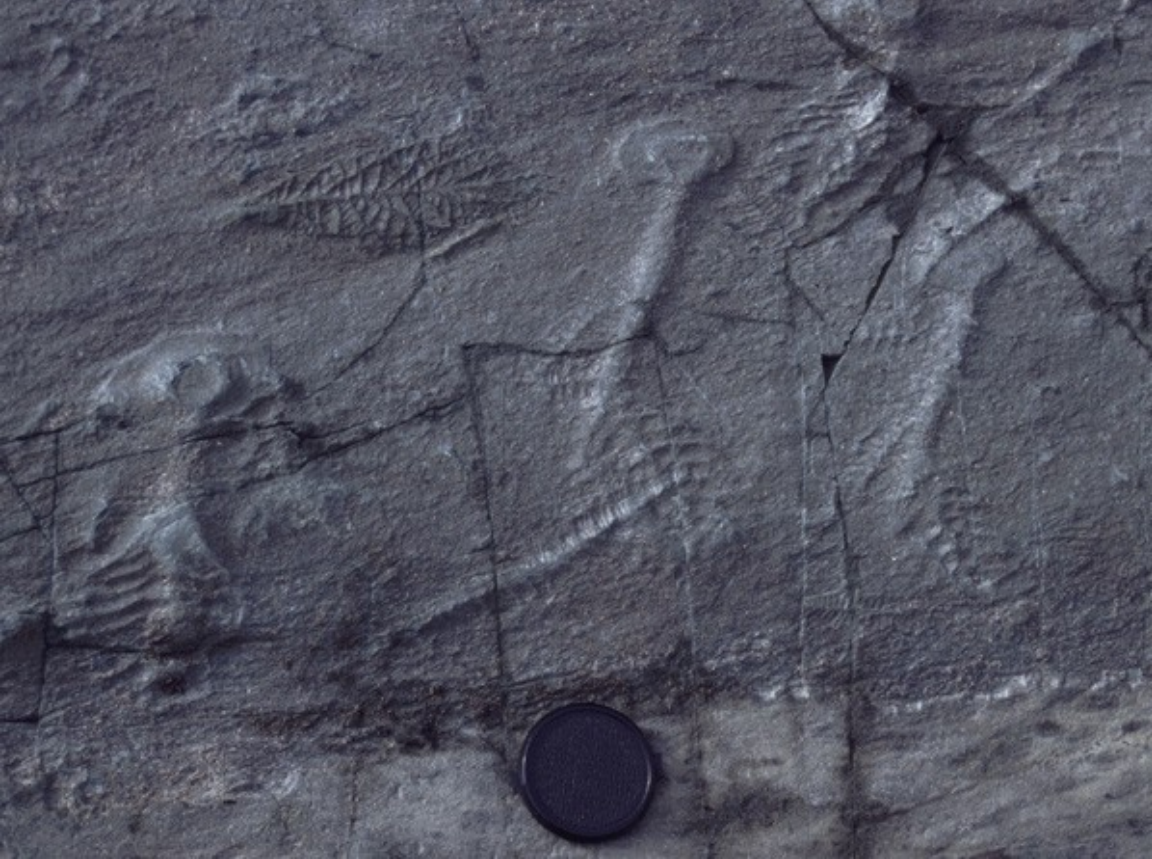
Mistaken Point, Newfoundland, Canada.
The biota of the Ediacaran period (635 – 541 ma).
Localities of this age are justly famous for the exceptional
quality of preservation of soft-bodied organisms.



Mistaken Point, New Foundland



The large, expansive bedding planes seen in this image each lie beneath a volcanic tuff, which has been weathered away to reveal this record of ancient seafloors. The angle of the rocks and the fact that the tuff is easier to weather than the overlying siltstones results in large areas being exposed for study.



Mistaken Point, vrstevní plocha s fosíliemi



A simple horizontal surface locomotion trace from late Ediacaran rocks at Mistaken Point, formed roughly 565 million years ago. Contrast this simple and rare structure with the abundant evidence for locomotion by animals in rocks of Cambrian age, ~20 million years later (next image).





***Fractofusus misrai* na vrstevní ploše,
Mistaken Point**

Mistaken Point – další ukázky



Vřetenovitý organizmus



Fractofusus misrai



fosílie



rekonstrukce

Fractofusus misrai, Mistaken Point, Ediacarian

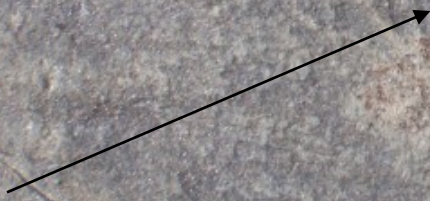


Rangea



Charniodiscus

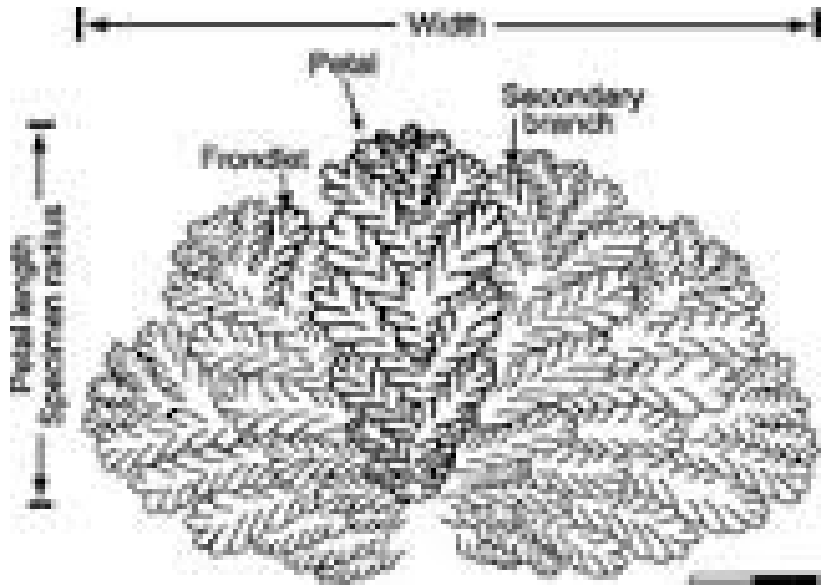
Ediacar, New Foundland, Avalon, inc. sed.



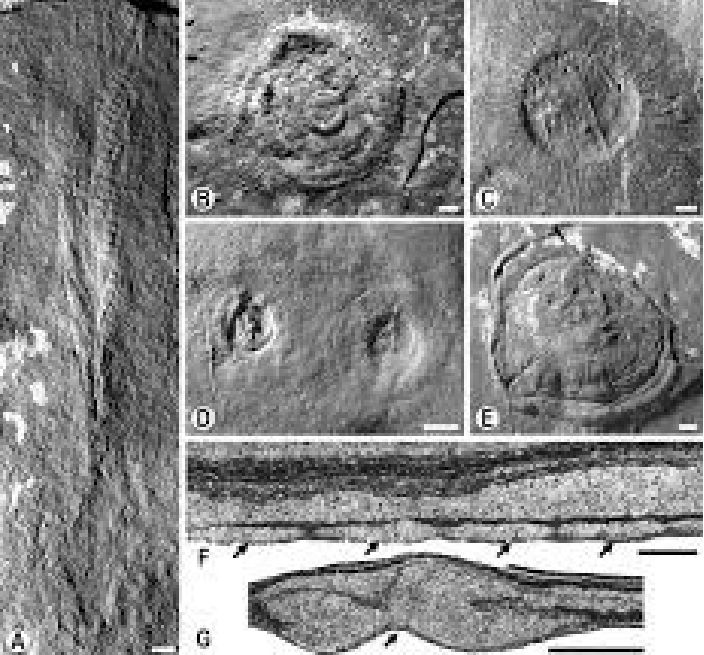
Bradgatia, Rangeomorpha ?, Mistaken Point



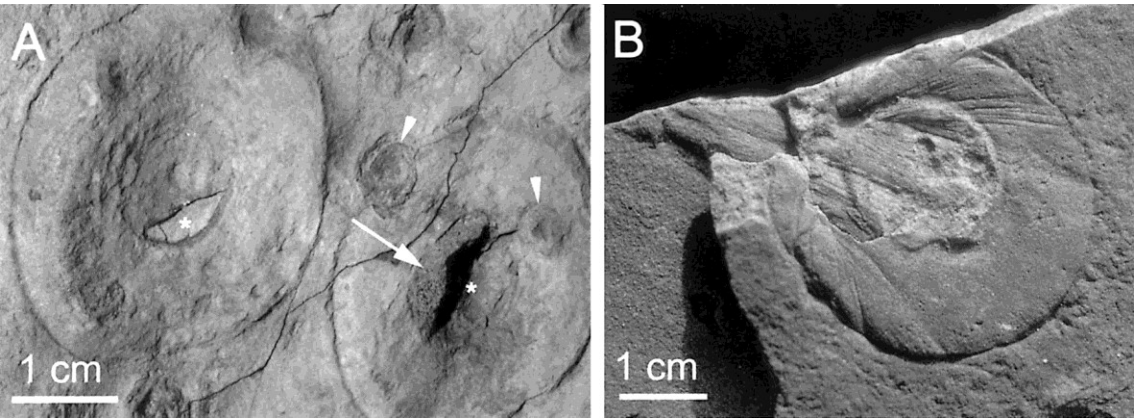
Image © G.M. Narbonne



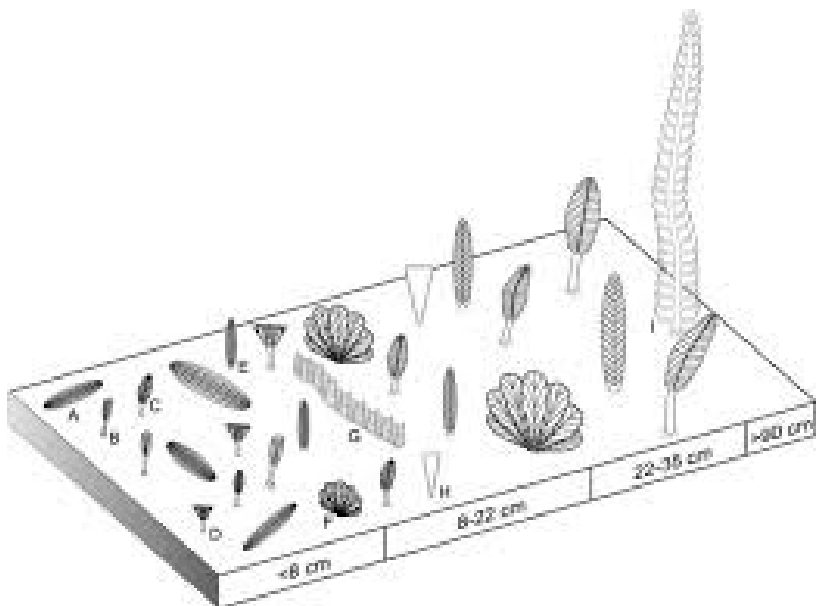
Bradgatia linfordensis, fosilní a možné interpretace



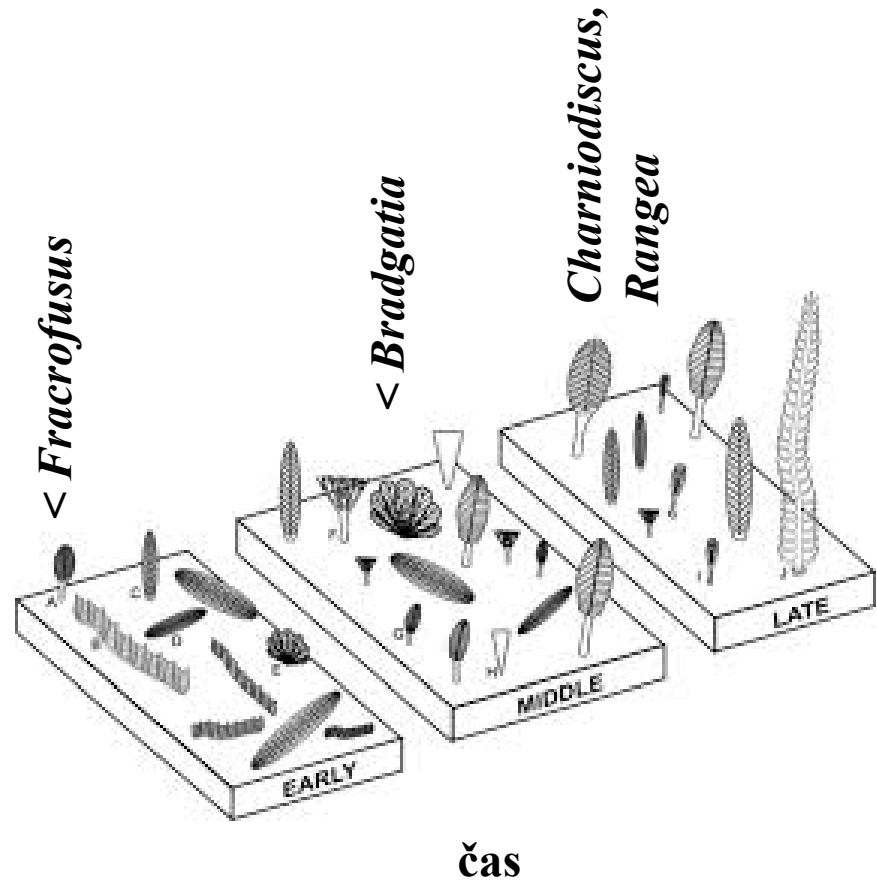
B,C,G -*Aspidella*



***Aspidella* - ? Porifera, Ediacar, Avalon**



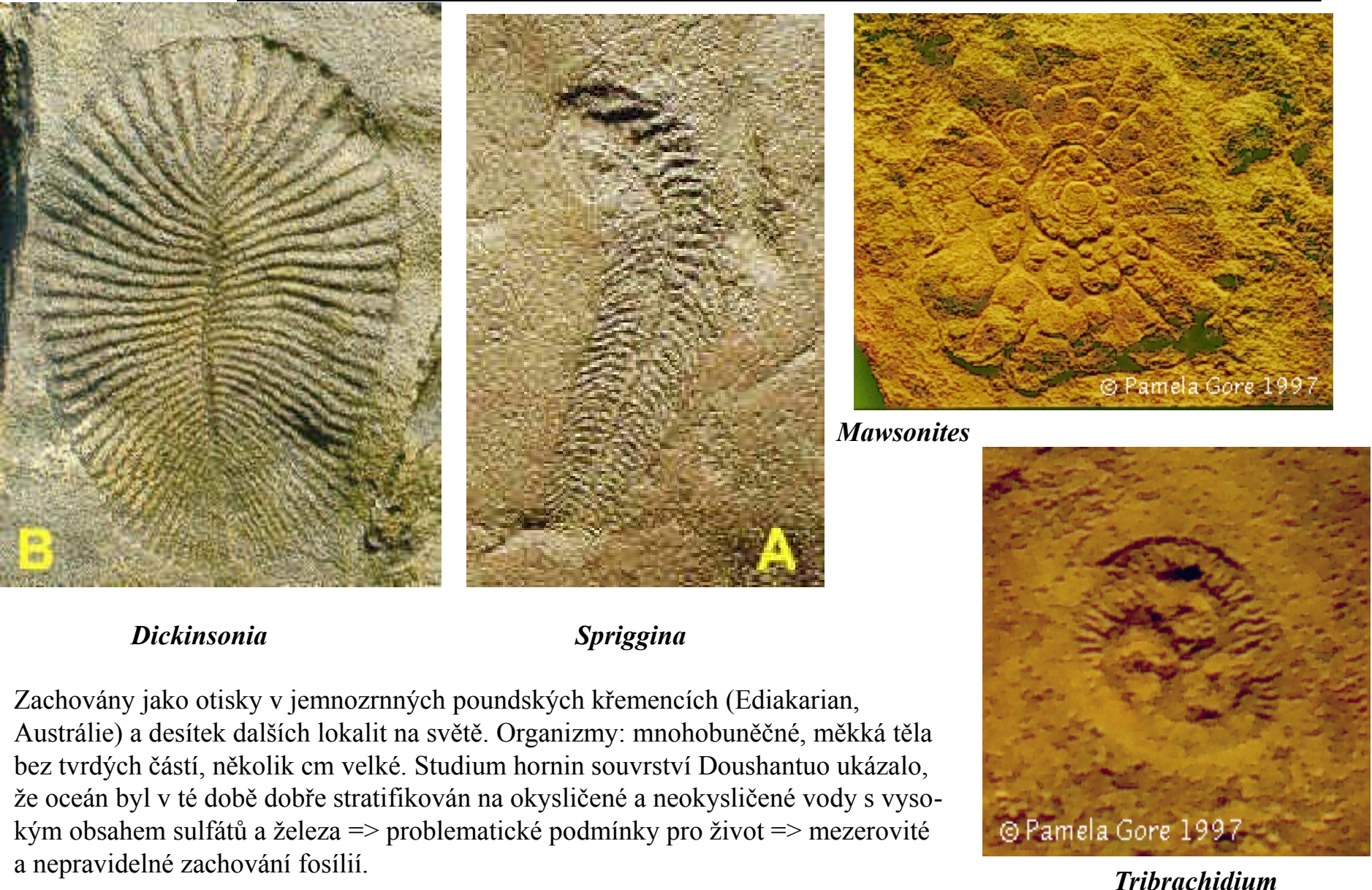
velikost



čas

Avalonské fosílie, nárůst velikosti v čase + změna formy

Fosílie z Ediacary (Austrálie, ~600 Ma, mnohobuněčná Vendobionta, Vendozoa)

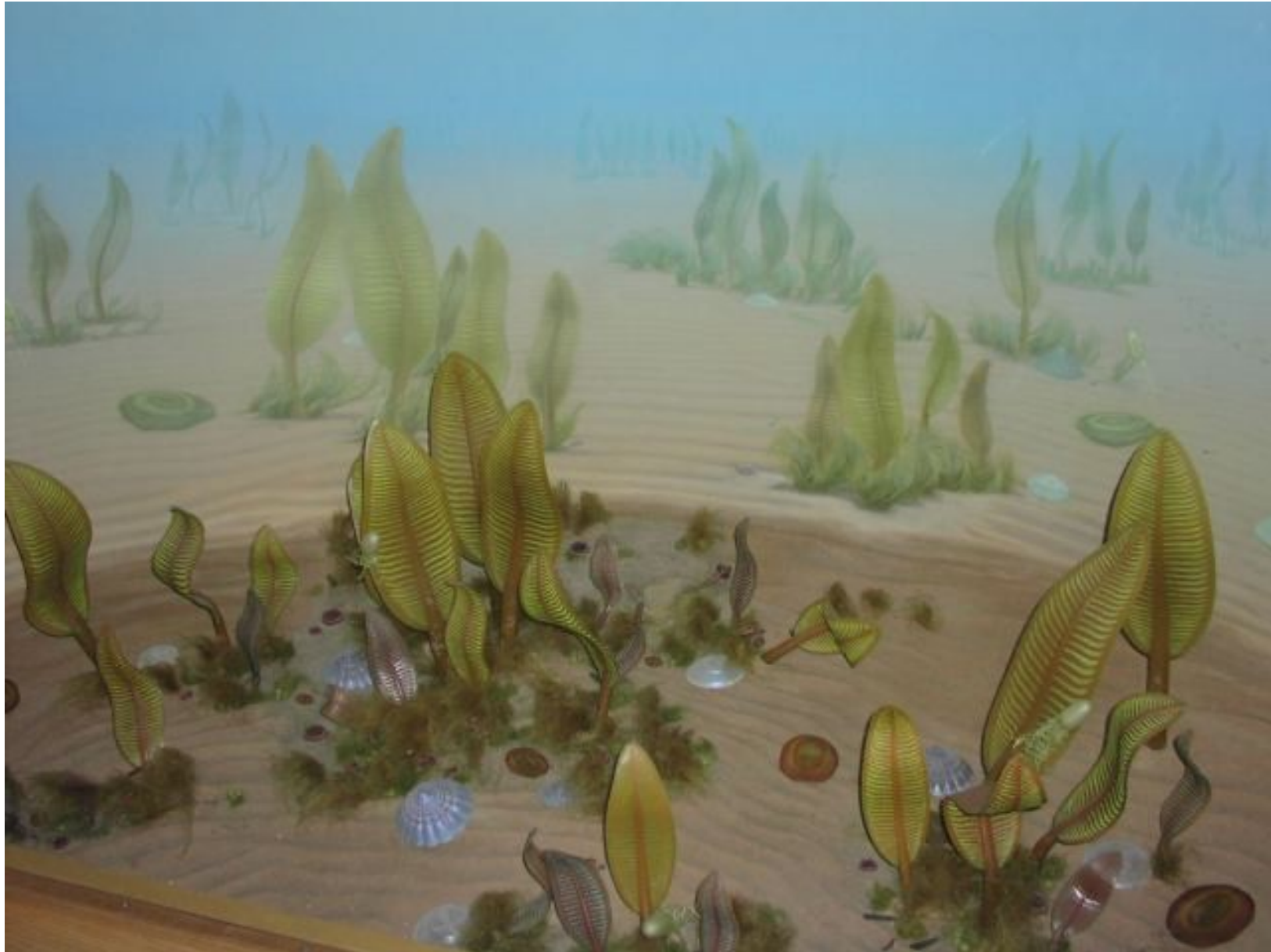


Zachovány jako otisky v jemnozrnných křemencích (Ediacarian, Austrálie) a desítek dalších lokalit na světě. Organizmy: mnohobuněčné, měkká těla bez tvrdých částí, několik cm velké. Studium hornin souvrství Doushantuo ukázalo, že oceán byl v té době dobře stratifikován na okysličené a neokysličené vody s vysokým obsahem sulfátů a železa => problematické podmínky pro život => mezerovité a nepravidelné zachování fosílií.



Dickinsonia - interpretace

Představa možného pohledu na mořské dno v nejvyšším proterozoiku („ediakarská fauna“, ~ 600Ma)



Jiná rekonstrukce ediakarské fauny

Dickinsonia

12

"... to modern animals," says Narbonne, "is a mystery." Fossils were undoubtedly the oldest known kingdom. Others, are array of flattened briefly and then clues that paleontologists can classify them. Both biological innocence, using the oceans, defensive shells and world had sorted out.

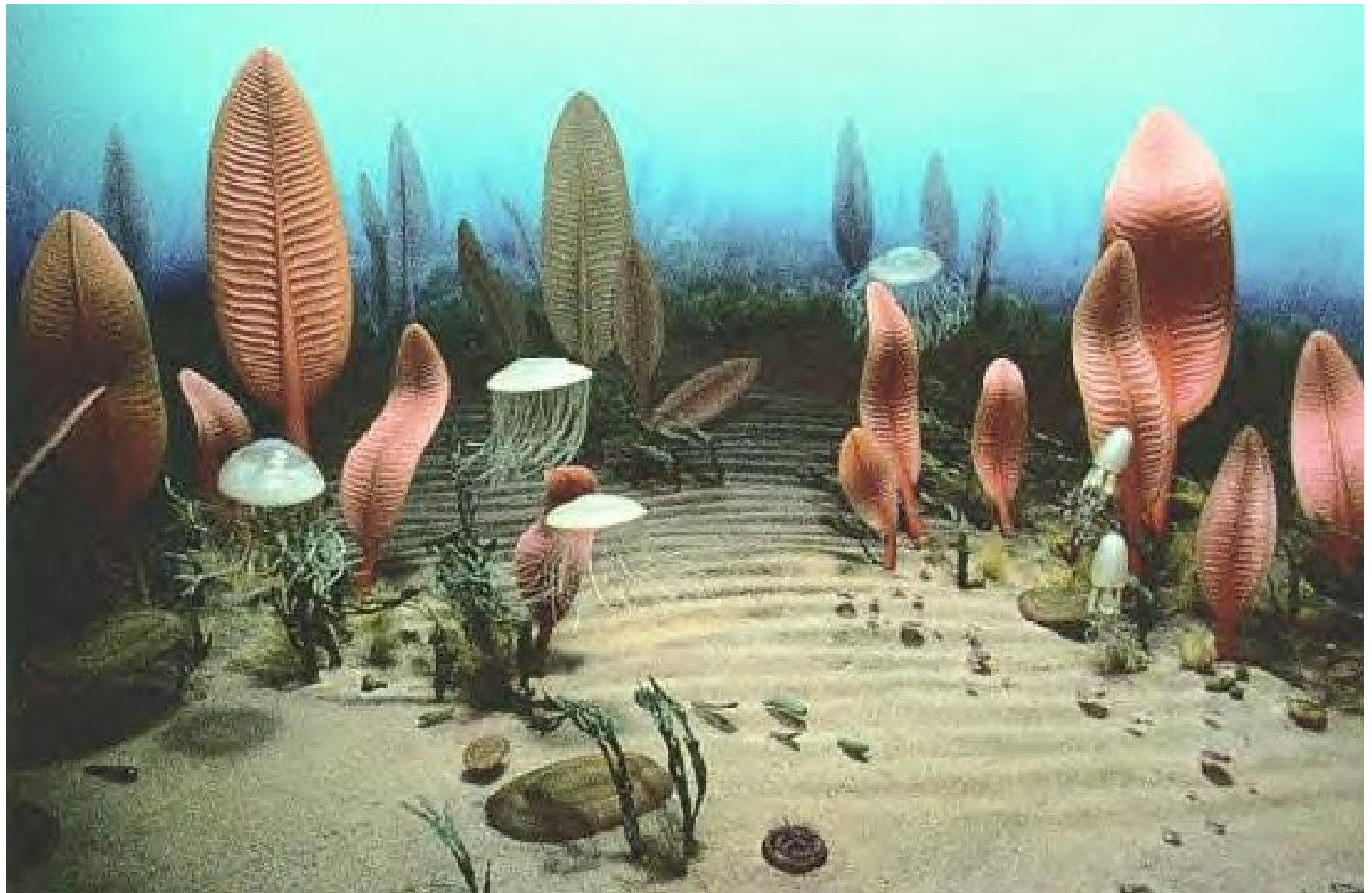
the key to understanding life. "This is one paleontology today," tion of the importance, a committee put out a space for this international geologic period. This is more important to the union. The geologic period was

Tribrachidium

ter these fossils that come up the wall at five just as the sun rises. Only during early morning and late fossils come out of the rock, balding Canada first, huffing from alongside him and eager for me to see. But stare hard, my brain slowly, faint imprints click.

is an oval about the edges radiating from Dickinsonia, it resembles a





„sdsu.edu.seminar“ (2008)



Jiná interpretace ediacarského života

Grafické rekonstrukce některých forem ediakarských vendobiont

5 Die ersten Krisen

41

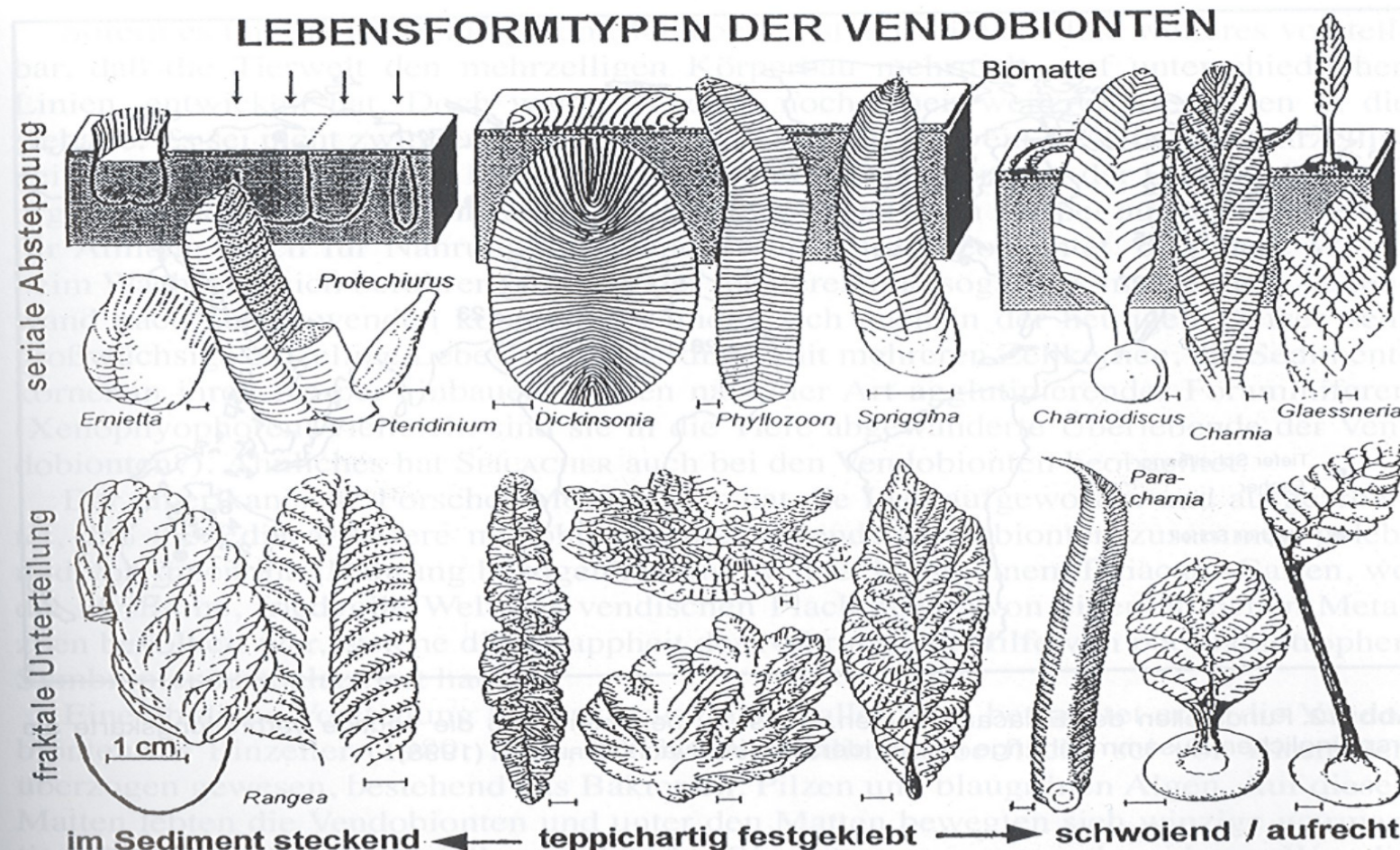
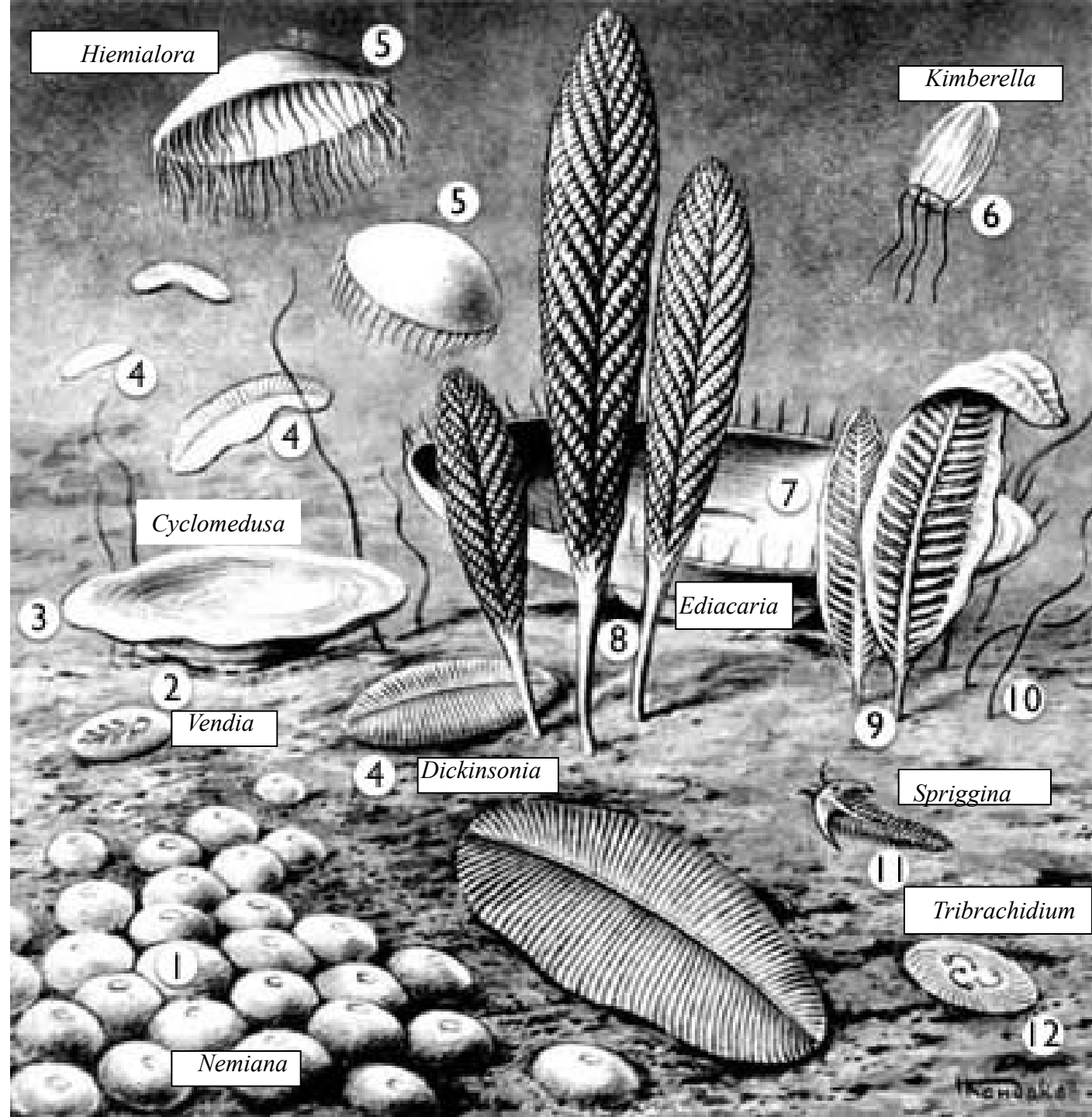


Abb. 11. Charakteristische Formen der Ediacara-Fauna. Nach SEILACHER (2003).

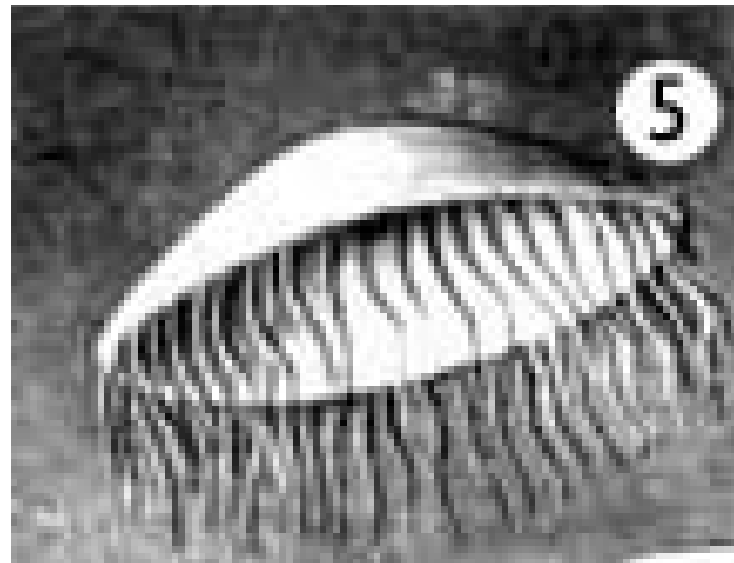
Další možná interpretace ediakarské (vendské) bioty

- 1 sedící polypy
- 2 bilaterální inc. sed.
- 3, 7 bent. medúzy
- 4 ? láčkovci-červi
- 5 nekt. Medúzy
- 6 scifomedúzy
- 8, 9 Chamia, Chamiodiscus (inc. sed.)
- 10 řasa (Vendotaenia)
- 11 ? předek trilobitů
- 12 vymřelí bezobratlí





ZOIC
EX LIBRIS IAPOM
HISTORIA MUNDI

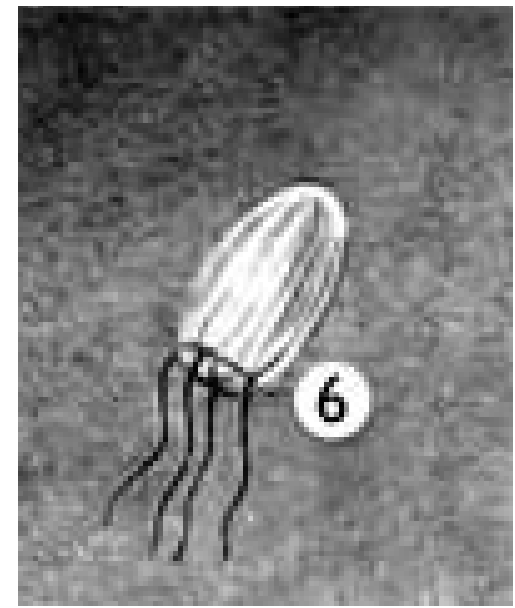


5

Hemialora



Kimberella

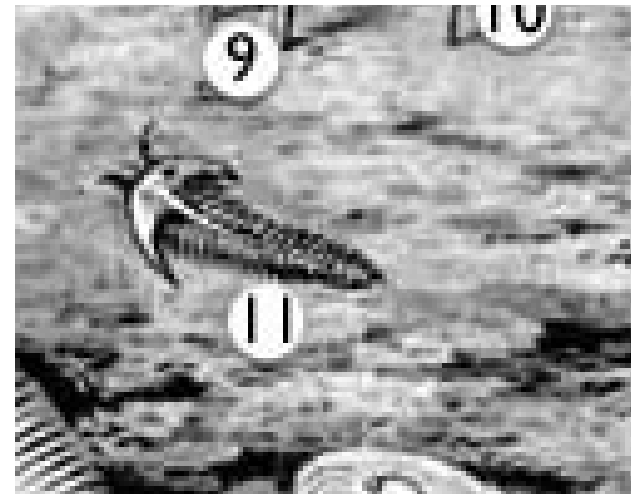


6

?

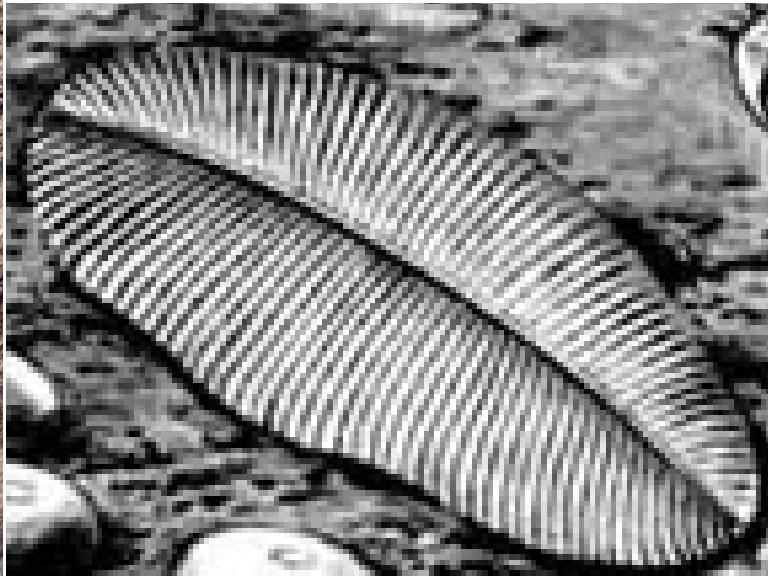
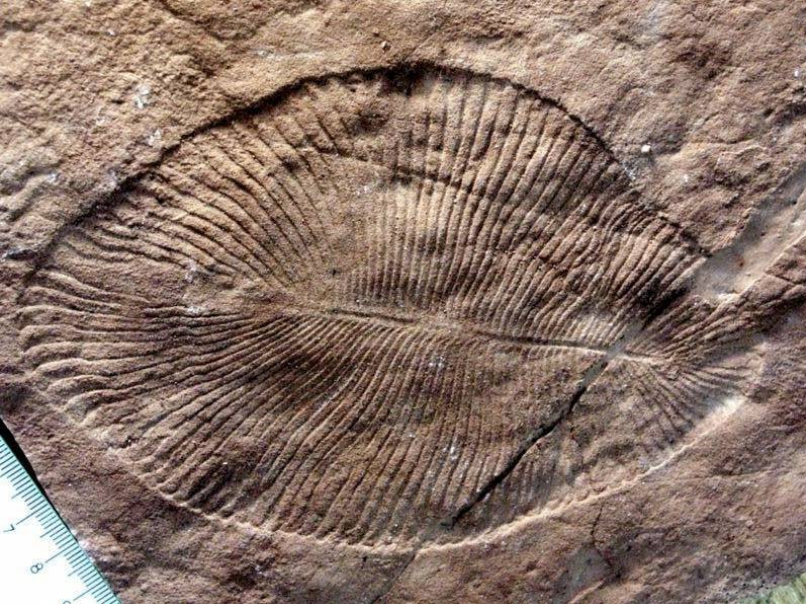


Spriggina

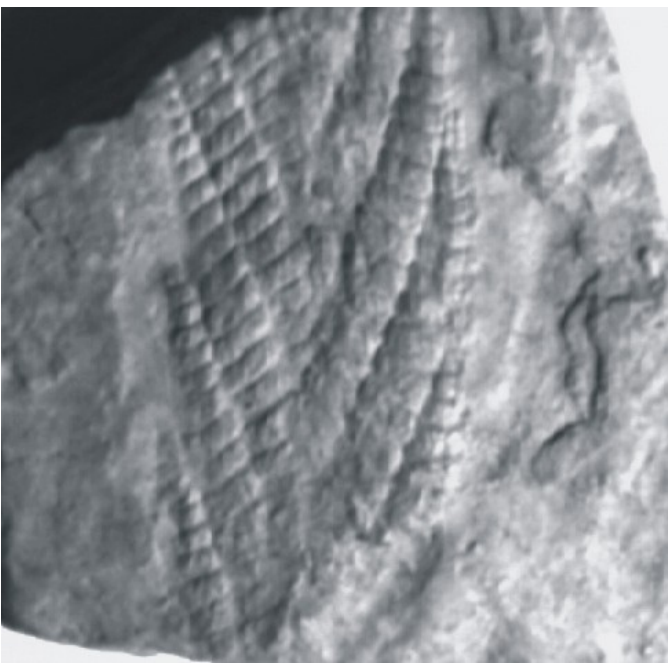


Cyclomedusa

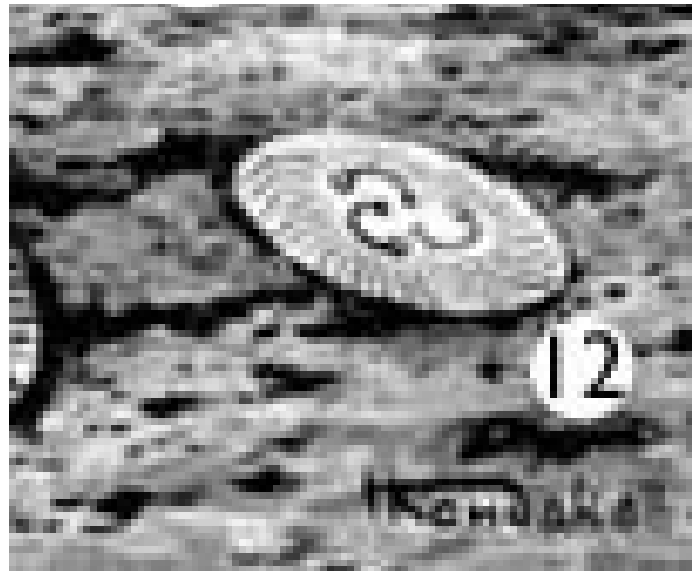




Dickinsonia



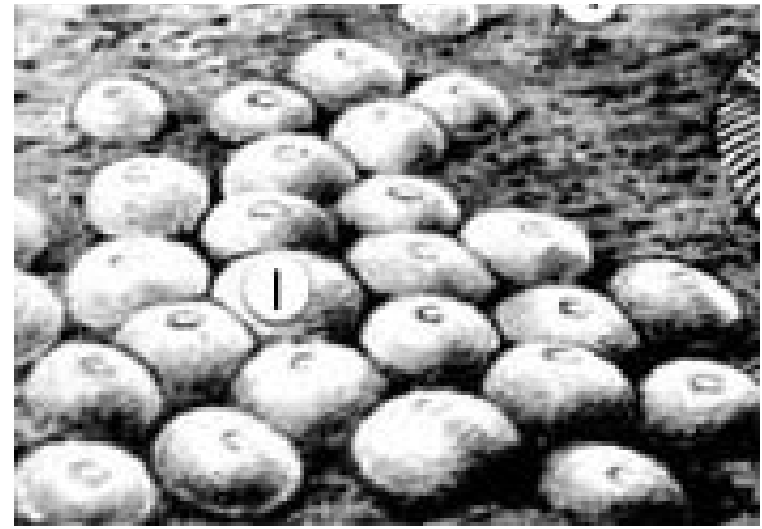
Charnia



Tribrachidium

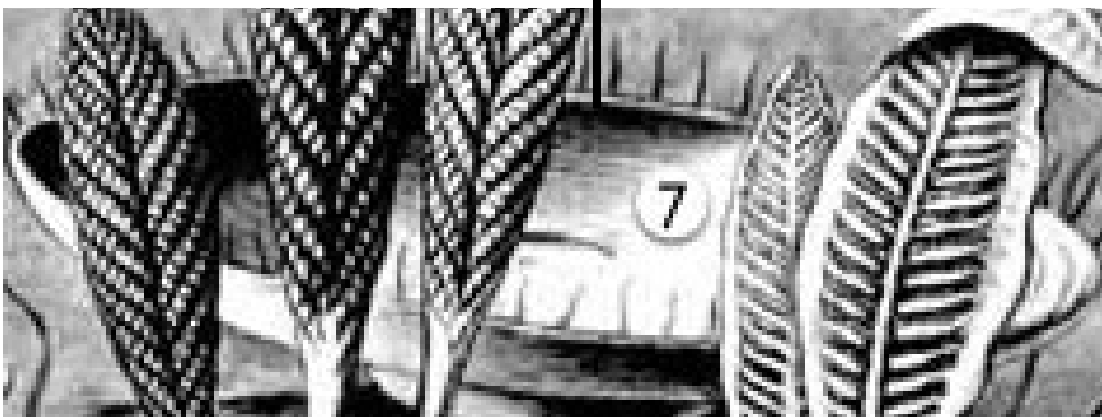


Nemiana





Ediacaria



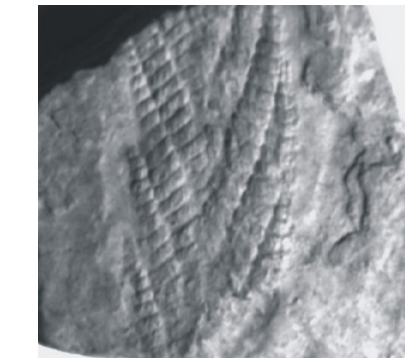
Vendia



Cyclomedusa



Vendia



Charnia



Hemialora

Fosílie dtto
slajd s
rekonstrukcemi



Ediacaria



Spriggina



Kimberella



Dickinsonia



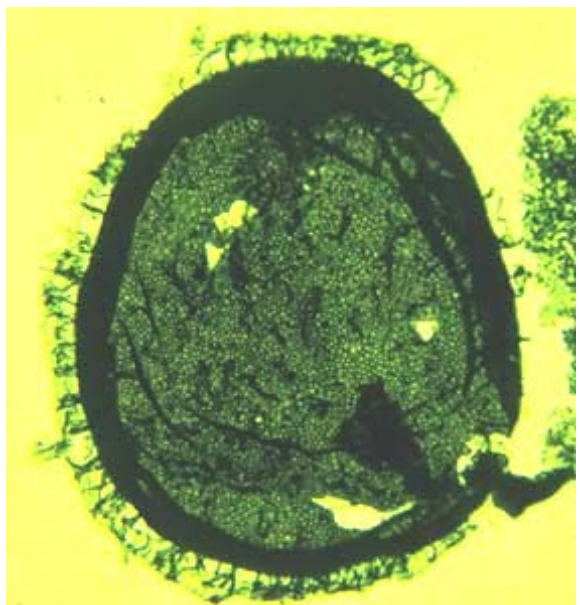
Tribrachidium



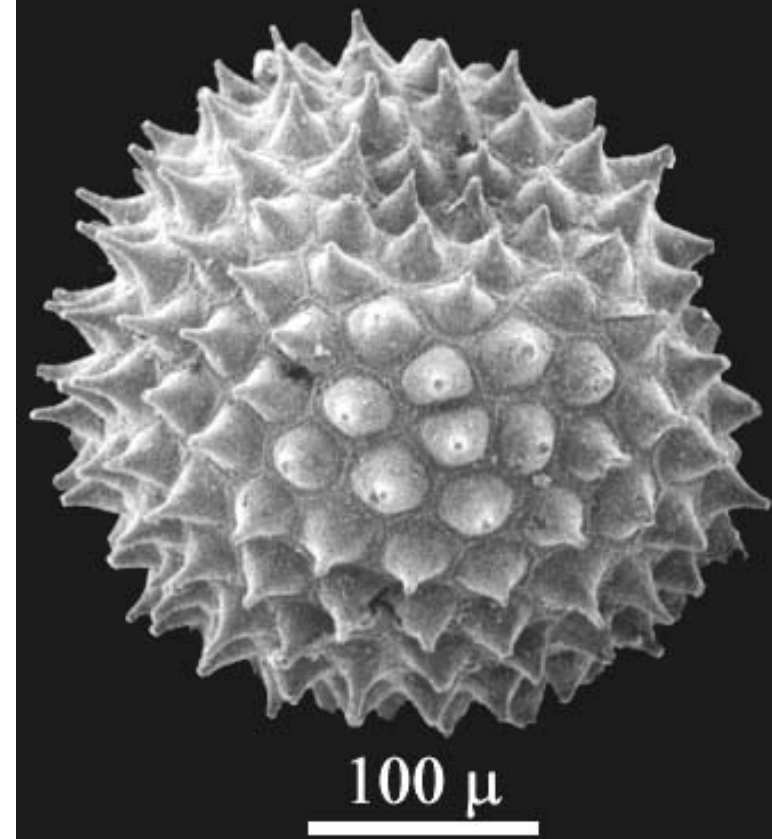
Nemiana

(Wikimedia, různé prameny)

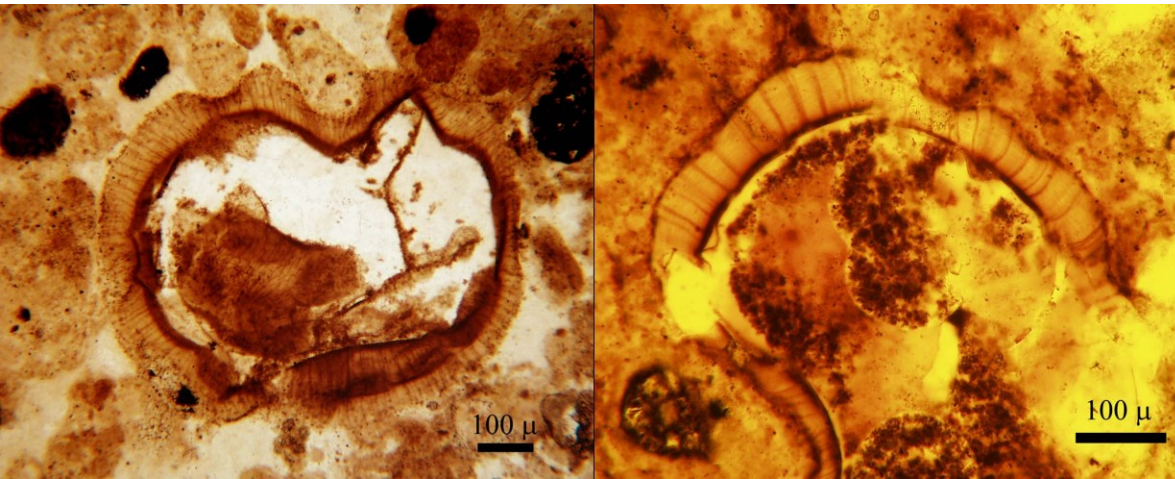
Doushantuo Fm.



Shuyosphaeridium – Acritarcha
(Doushantuo, Čína, neoprz.)



Meghystrichosphaeridium – Acritarcha, Doushantuo
Čína, neoprz.



Tianzhushania – Akritarcha-řezy
(Doushantuo, Čína, neoprz.)

Výrazná ornamentace

Embryologie v horninách

Rýhování vajíček
Souverství Doushantuo (Čína)
(~ 600 Ma)

(průběh rýhování je podobný jako
u členovců)

Pochyby: podobné dělení má i baktérie *Thiomargarita*
(recent, v každé buňce vakuoly a membrány – dtto
i rentgenový snímek parapandoriny – ta se ovšem dál
dělí až na 100 buněk – baktérie ne)

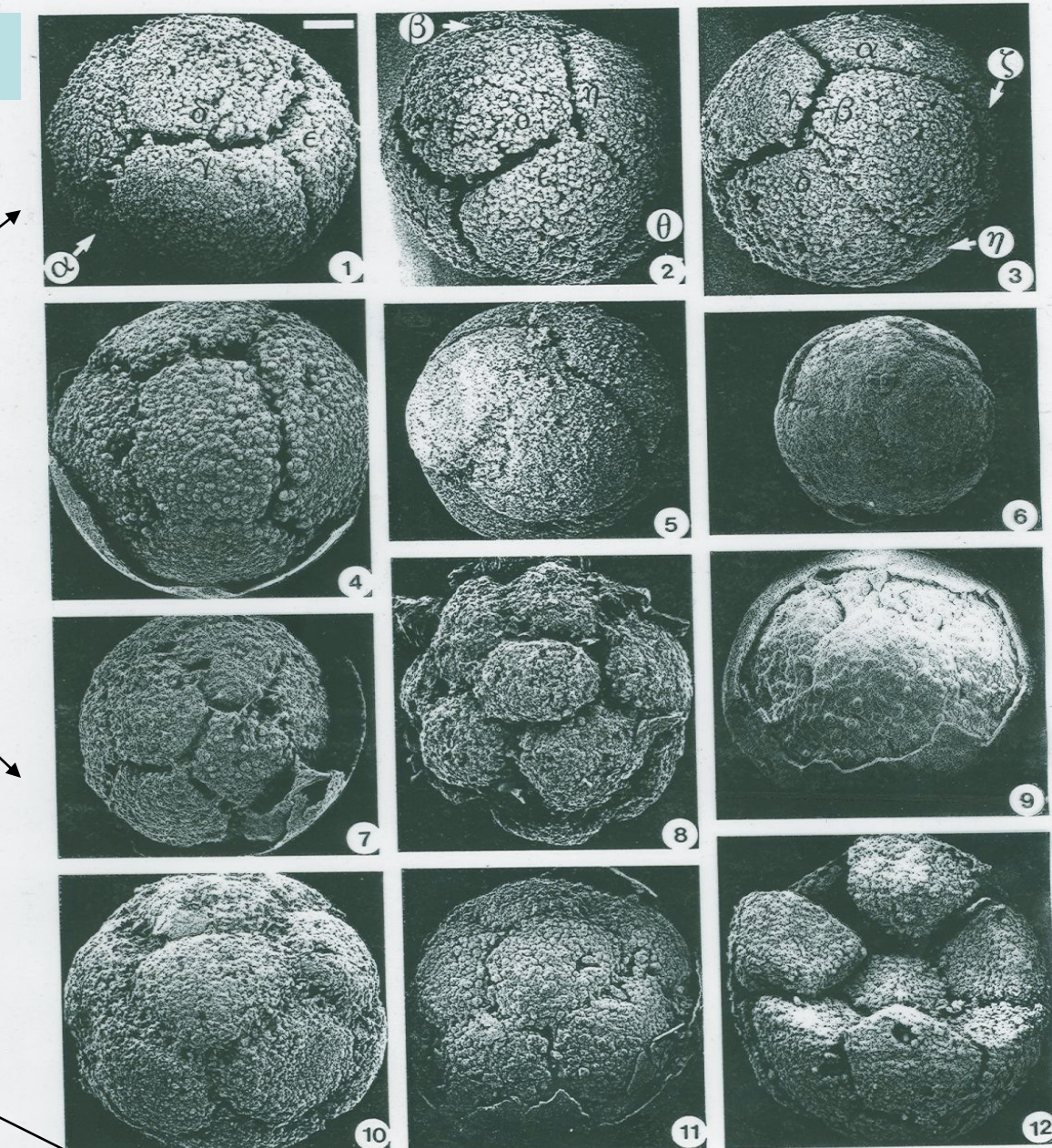


FIGURE 8—*Parapandorina raphospissa*. 1–6, Eight-cell stage; 7–12, later stages. 1–3, Different views of the same specimen. α, β, γ, δ, ε, ζ, η, θ identify the eight internal bodies. SRA-1, 410, 411, 412; 4, SRA-1, 258; 5, WJY-19E, 298; 6, SRA-1, 261; 7, SRA-1, 259; 8, K94-21, 262; 9, SRA-1, 82; 10, WJY-19E, 312; 11, WJY-19E, 322; 12, SRA-1, 294. The scale bar in 1 represents 110 µm for 11; 100 µm all other pictures.

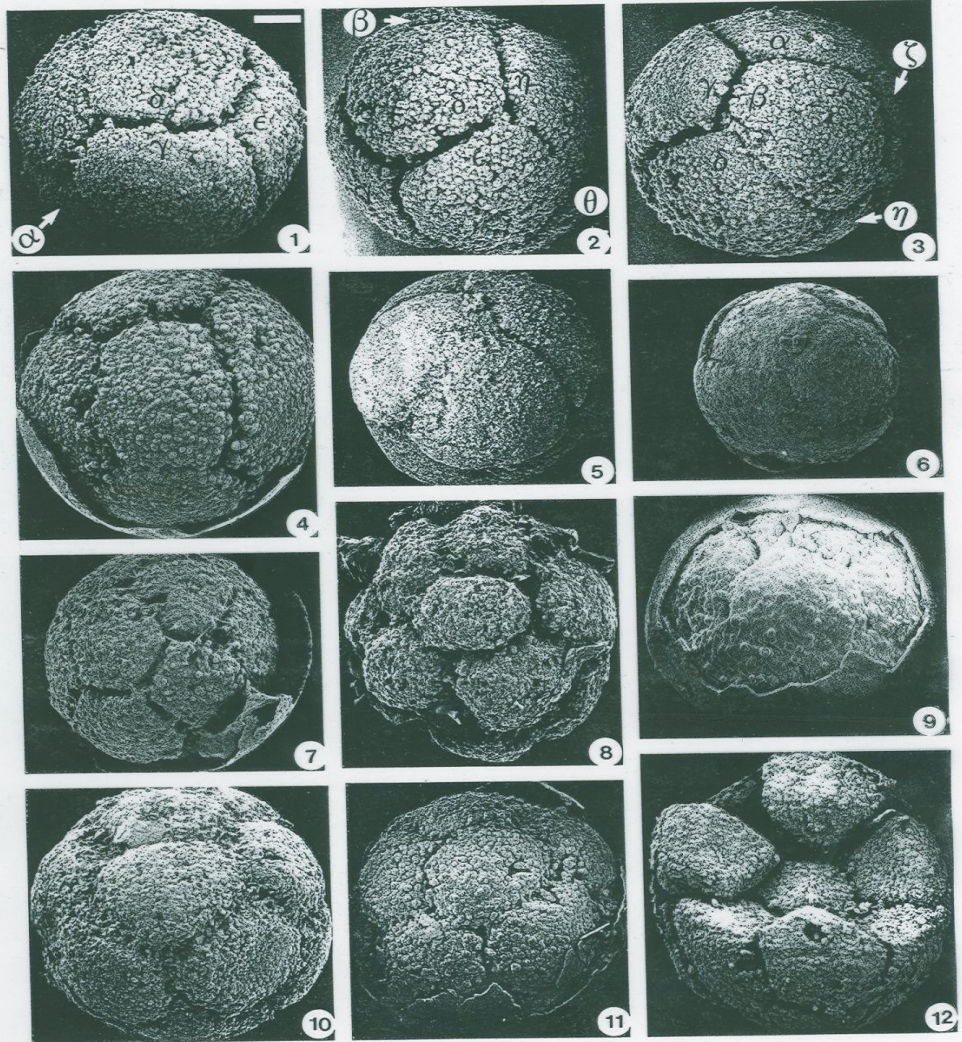
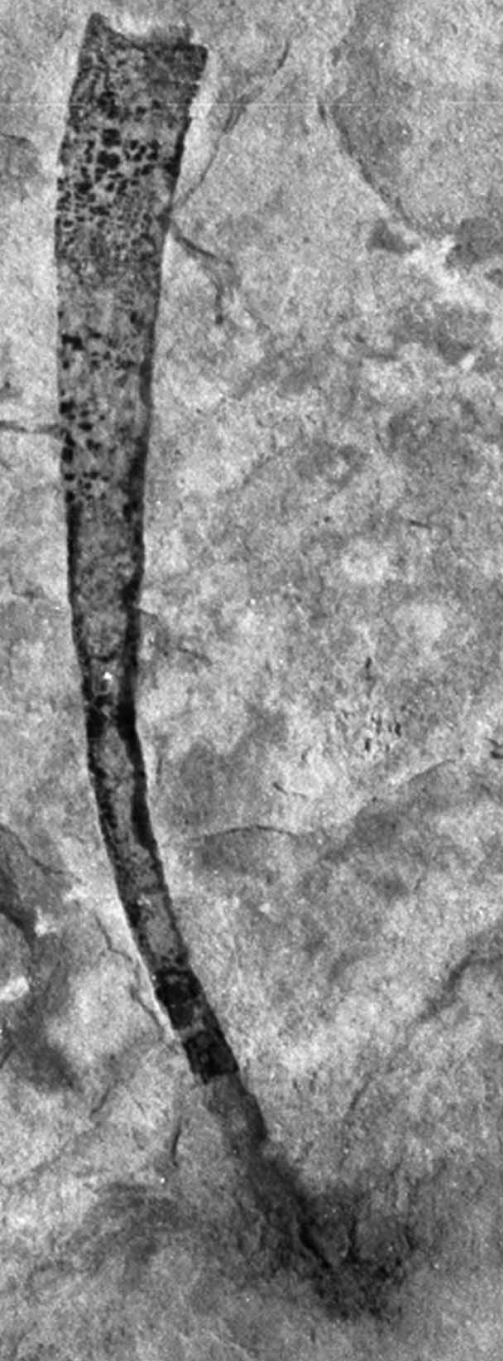


FIGURE 8—*Parapandorina raphospissa*. 1–6, Eight-cell stage; 7–12, later stages. 1–3, Different views of the same specimen. α, β, γ, δ, ε, ξ, η, θ identify the eight internal bodies. SRA-1, 410, 411, 412; 4, SRA-1, 258; 5, WJY-19E, 298; 6, SRA-1, 261; 7, SRA-1, 259; 8, K94-21, 262; 9, SRA-1, 82; 10, WJY-19E, 312; 11, WJY-19E, 322; 12, SRA-1, 294. The scale bar in 1 represents 110 µm for 11; 100 µm all other pictures.

Unikátní fotografie zachycující jednotlivá stadia rýhování vajíček (embriony) mnohobuněčných organismů (ráz rýhování je blízký rýhování některých členovců) z lokality Doushantuo (jižní Čína), 570 Ma (nejvyšší proterozoikum).





Diaoyapolite – řasa, 5 cm, Doushantuo, Čína, neoprz.



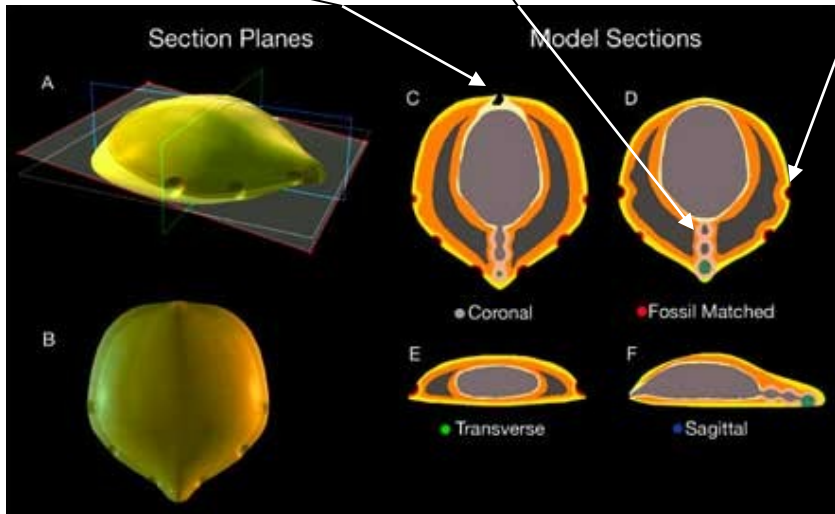
Paratetraphycus – mnohobuněčné řasy
(Doushantuo, Čína, neoprz.)

????NÁSTUP BILATERÁLIÍ – Jižní Čína, Doushantuo (~600Ma)

Vernanimalcula guizhouena - (Eucaryota, Eumetazoa, ??? Bilateria), 0,1–0,2mm, mnohobuněčný, pohyblivý, bilaterální živočich, požírač mikrobů (3 zár. listy, coelom, ústa, rozlišený žaludek-střevo trakt, ? smyslové orgány ?)

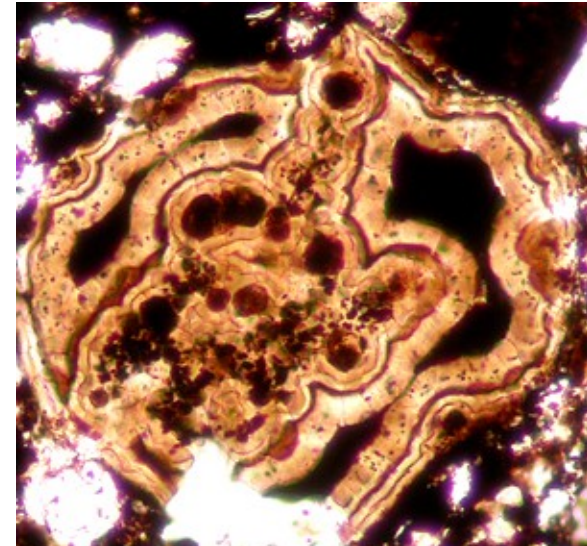


modely

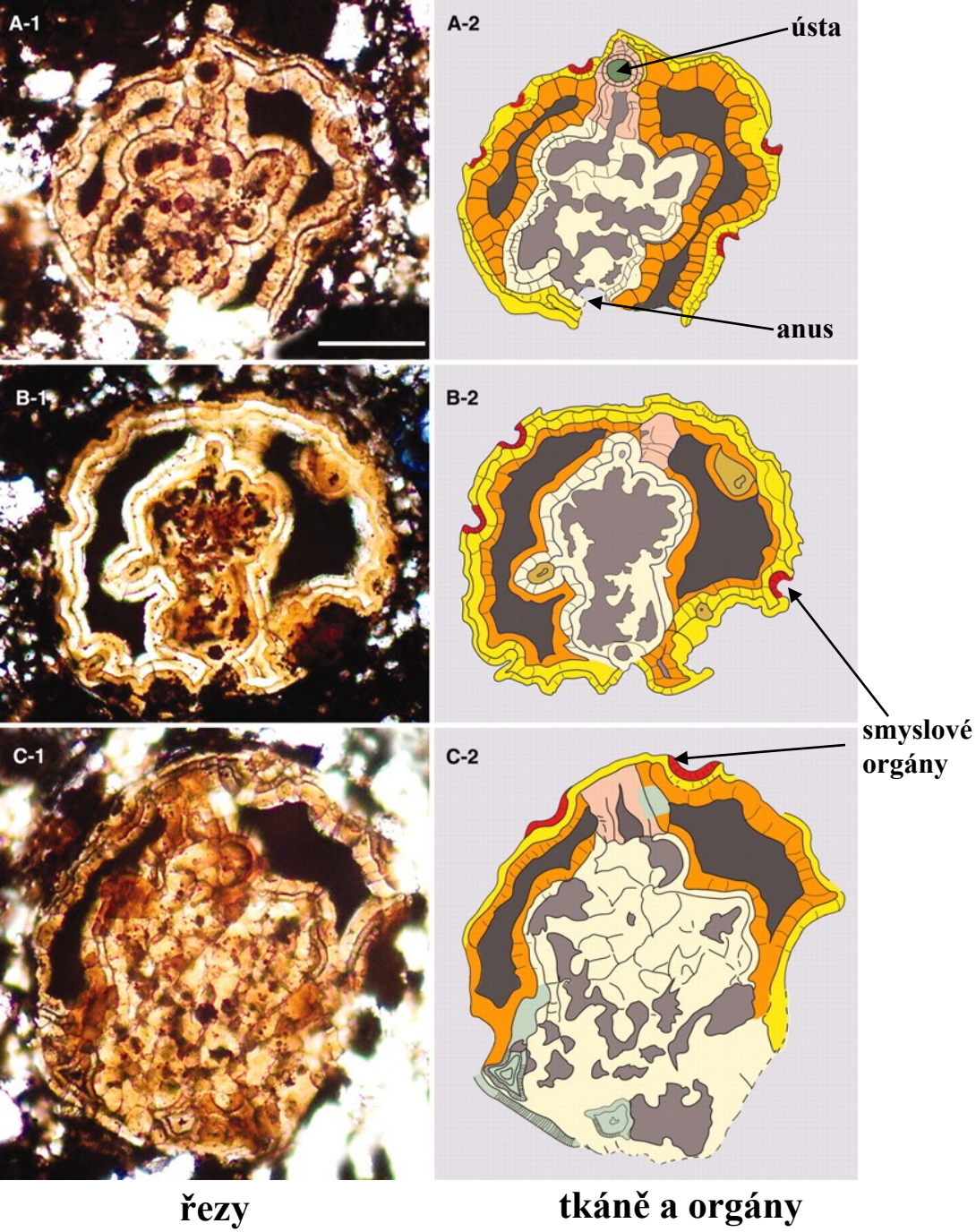


fosílie

řez fosílií



Vernanimalcula gizhoueana

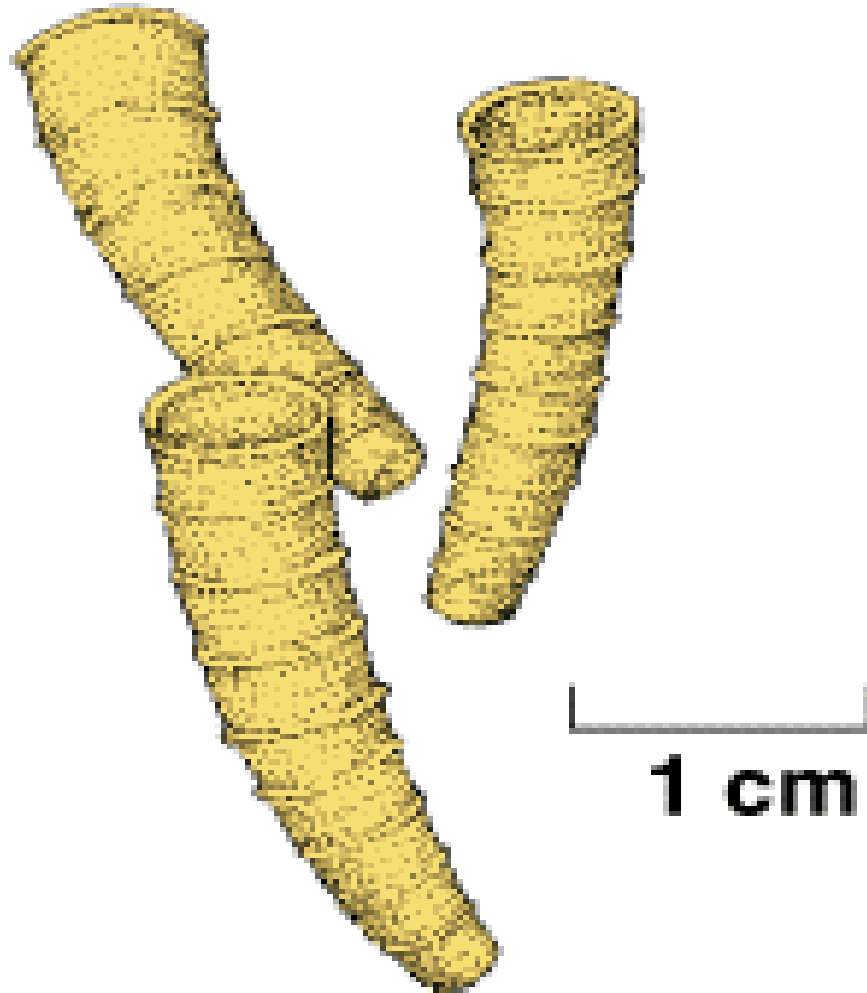


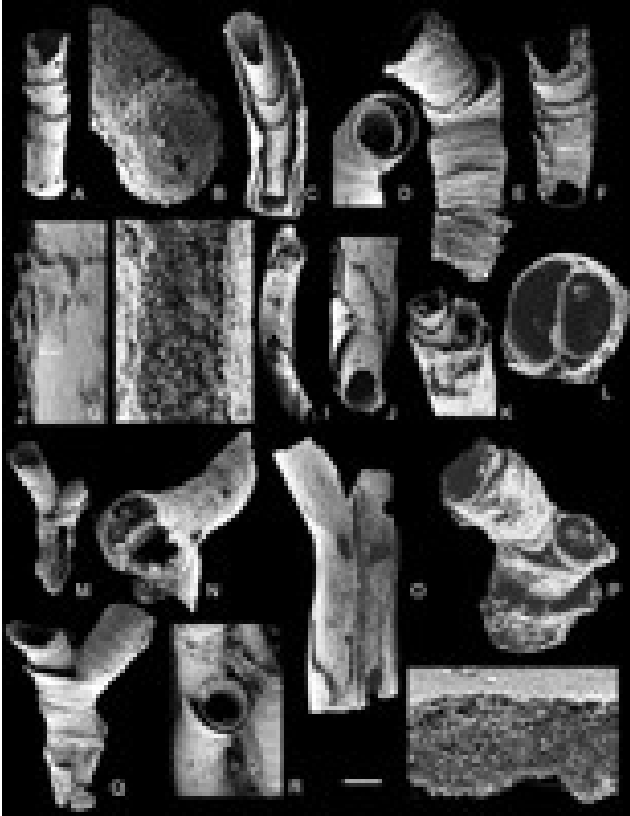
Pozor: jiná interpretace:

...taphonomic
artefact
generated by
phosphate
growth within a
spherical object
such as an
acritarch,

Cloudina - ~ 600 Ma

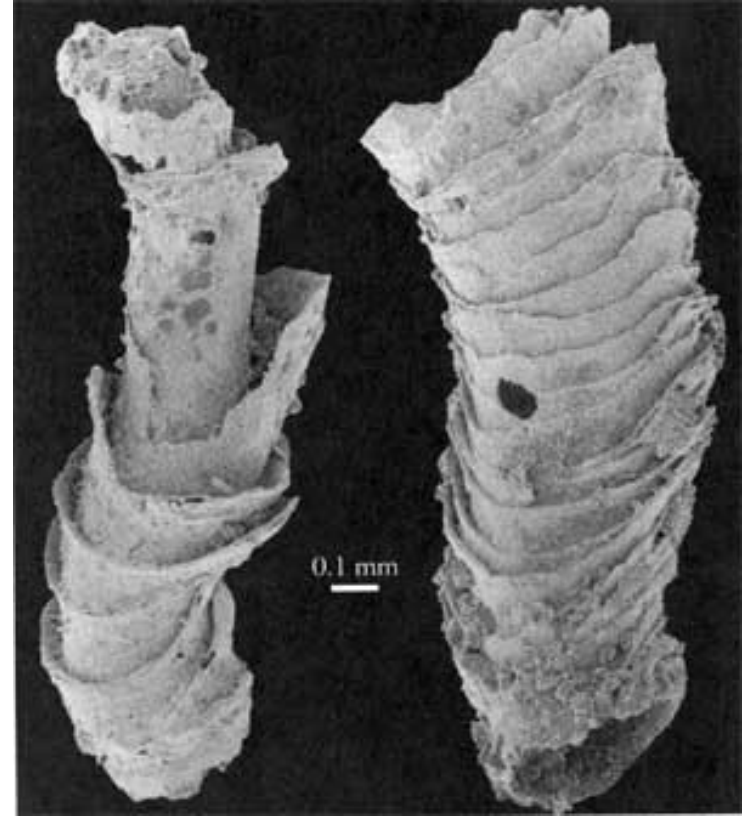
- *Cloudina*, jedna z nejstarších fosílií s pevným materiélem (kostrou) – pohárky z uhličitanu vápenatého (podobné láčkovcům), 3-4 cm velké – nástup biomineralizace





Dengying
(J. Čína)

Cloudina - fosílie



Namibie
(Jz. Afrika)
Skupina Nama
(549–543 Ma)



Větvící se tubulární fosílie s horizontálními strukturami (dna ??), považovaná za časná tabulata, Doushantuo, Čína, neoprz.





Ediakar, Porifera, jehlice hub

Anhui Province, South China, Lantian Formation,
Ediacar,



cca stejná strat. pozice jako Doushantuo Fm.

vysoká diverzita, bentos, zachování in situ,
makroskopická eukaryota, časný ediacar, krátce
po marinoanském zalednění, kyslíkaté prostředí

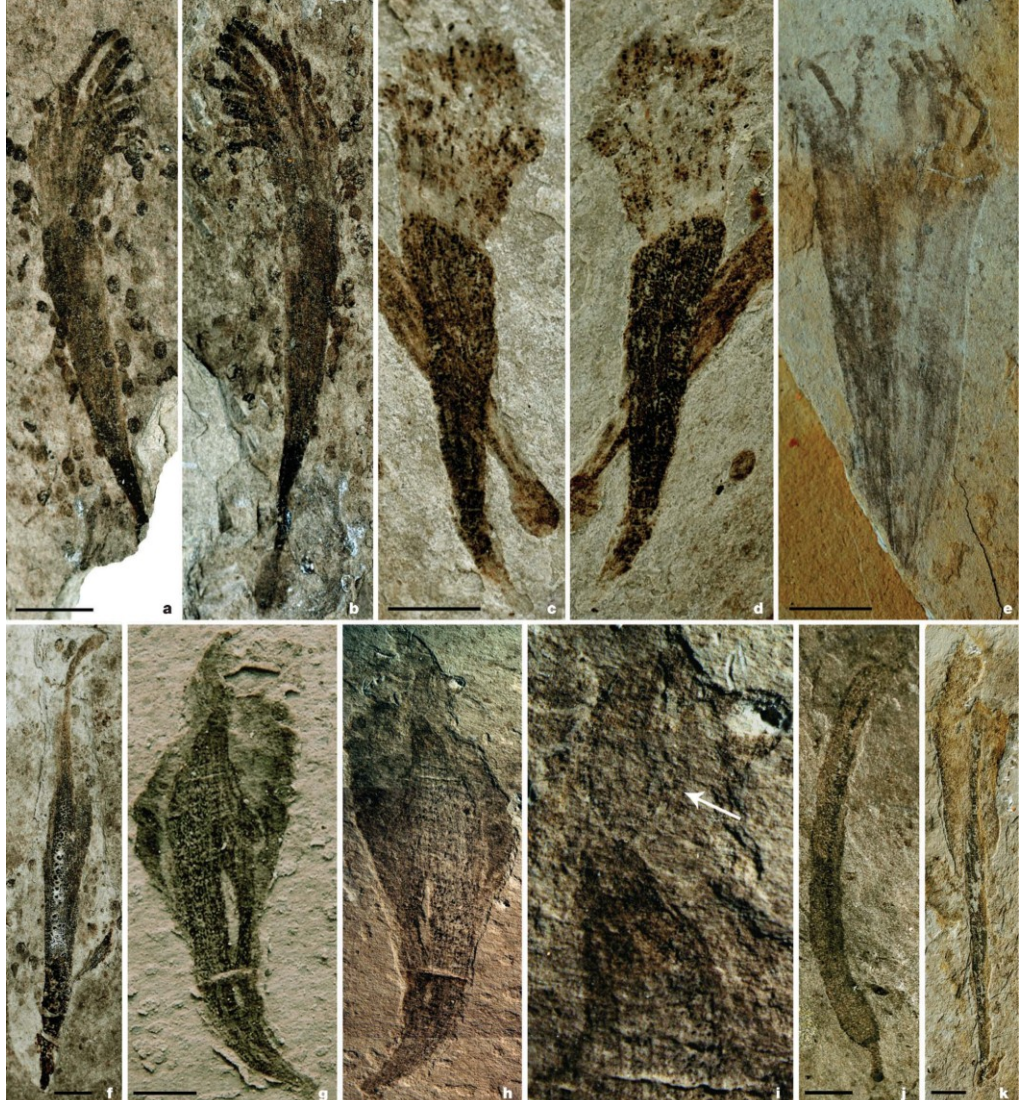


Figure 3 | Photomicrographs of new Lantian forms with uncertain phylogenetic affinities. a–e, f, g–i, j and k represent Type A, B, C, D and E, respectively. a, b, Part and counterpart. Note abundant *Churia circularis* fossils (circular carbonaceous impressions, 1mm in diameter) in background. c, d, Part and counterpart. Scale bar, 3mm. e, Incompletely preserved specimen. f, Specimen similar to a–e, but with a crown consisting of a single ribbon. g–i, Part, counterpart and magnification of upper part showing a conical pyramid that supports a cluster of filaments (arrow in i). j, Specimen with a holdfast, a stalk, a cylindrical tube and an axial trace. Scale bar, 2mm. k, Specimen similar to j in having stalk and axial structure, but with a longer stalk and a broader structure surrounding axial trace. Scale bars, 5mm unless

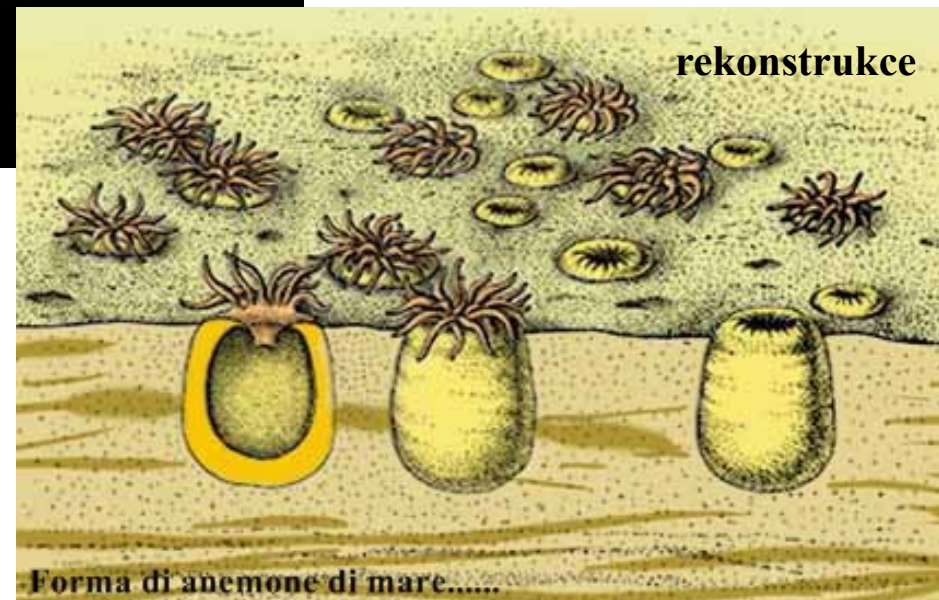


Figure 2 | Photomicrographs of Lantian macrofossils of probably algal affinities. a, *Doushantuophyton cometa*. b, *Huangshanophyton fluticulosum*. c, *Anhuiphyton lineatum*. d, *Flabellophyton lantianensis* with fan-shaped thallus. e and f, *Flabellophyton strigata* with fan-shaped thallus and transverse bands. g–i, *Flabellophyton* sp. with fan-shaped or conical thallus. j, *Orbisiana* sp. Scale bars, 1 cm in b and h, 5mm in all others.

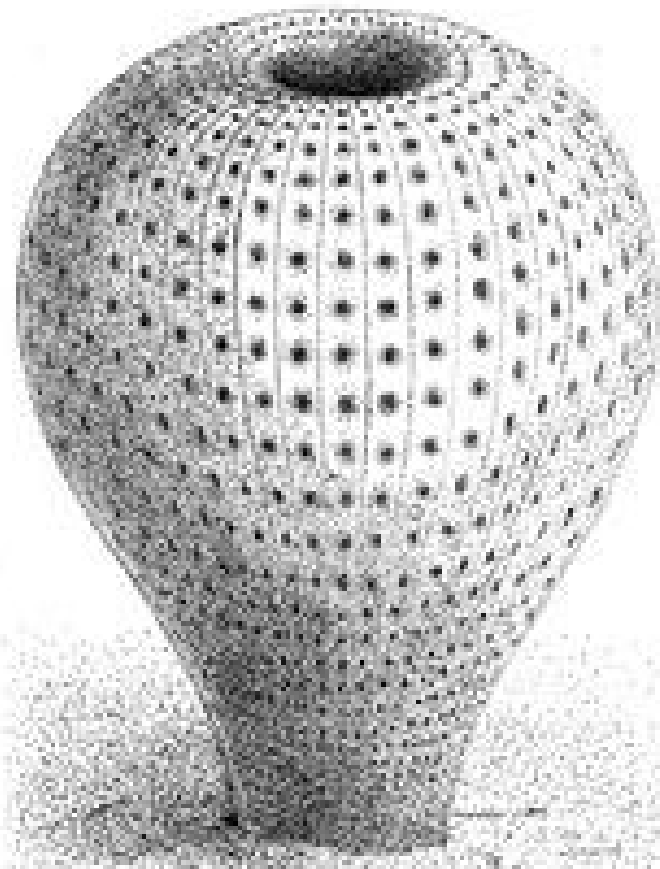
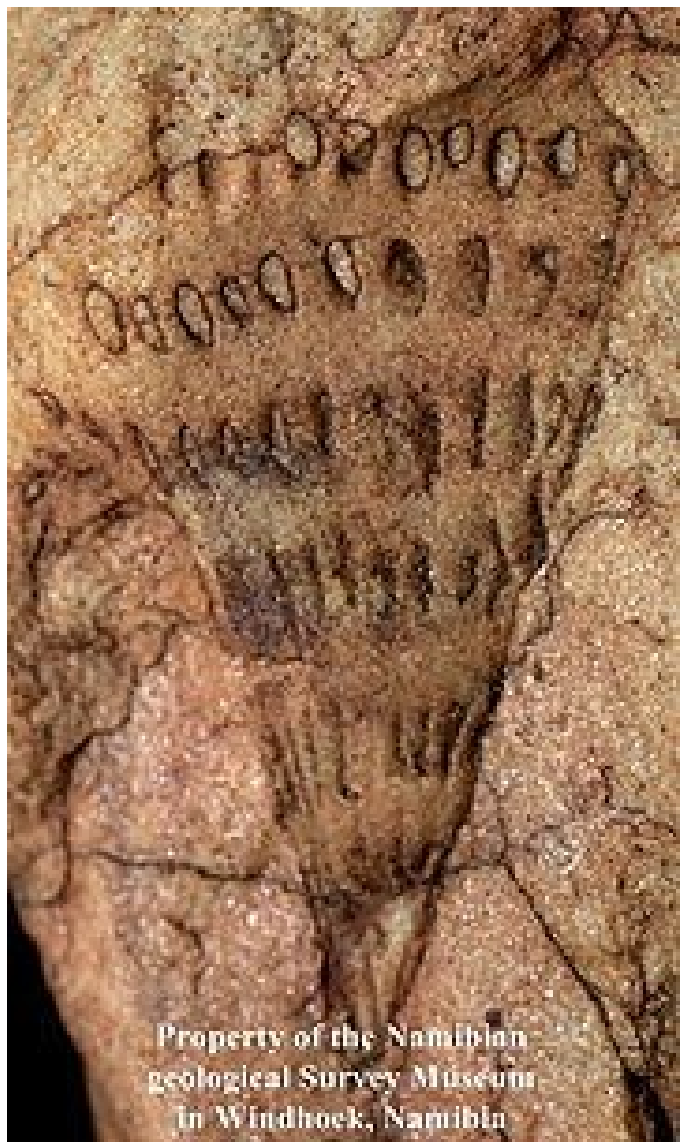


Nemiana simplex (sk. Nama, Jz. Afrika
~565 Ma)

fosílie



Ausia fenestrata (?Vendozoa, ?Urochordata, ?Porifera)



rekonstrukce

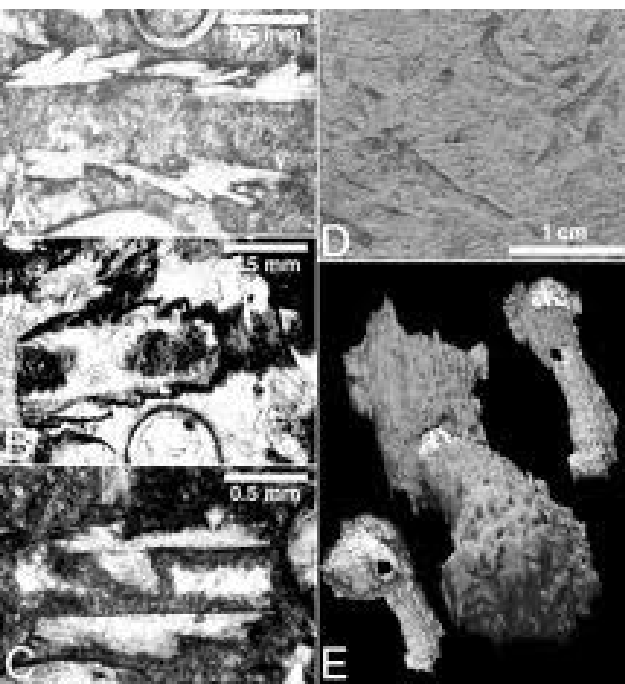
Fosílie (sk. Nama, Jz. Afrika, ~549Ma)



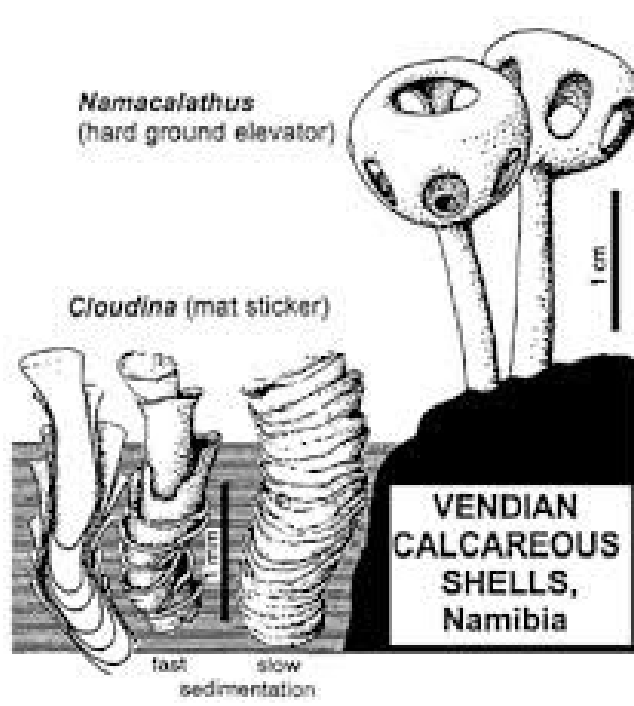
**Pozn: Loren Babcock (Ohio State Univ.,
2008) ohásil nález
stopy (? Arthropoda) v ediakaru (~570
Ma) – drobné důlky jako
stopy po kráčení cca stonožkovitého
tvora**



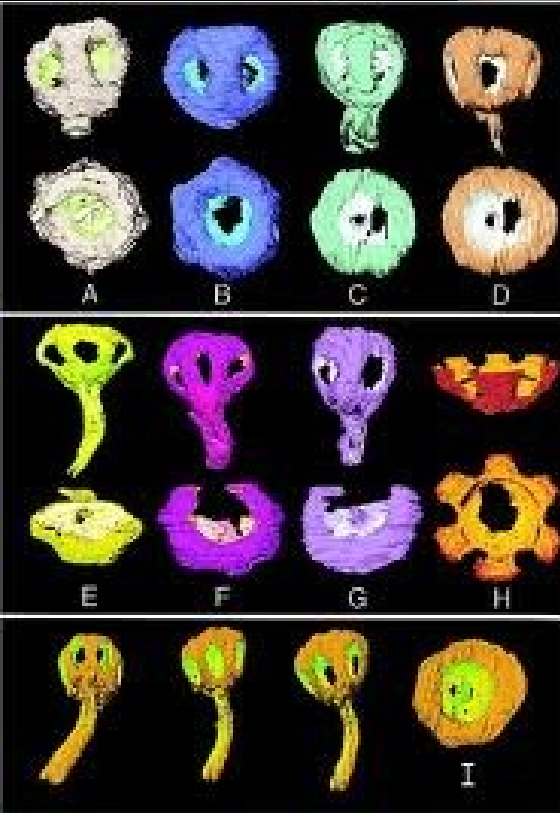
Namapoikia rietoogensis
549 Ma, ?Porifera, ?Cnidaria
Namibie



Namacalathus, 550-542 Ma,
(Grobizinger et al. 2000)



VENDIAN CALCAREOUS SHELLS, Namibia



Namacalathus hermanastes, rekonstrukce

Souhrn o životě v prez:

- 1) Ukazuje se, že po diversifikaci života v pozdním paleoprz. následoval graduální rozvoj až do neoprz. a nic nenasvědčuje tomu, že by tzv. snow-ball earth v cryogenianu ovlivnil tento postup.
- 2) Animalia začínají evolvovat v cryogenianu (Porifera) - některé výsledky pro nástup Metazoí ukazují časnější start (viz např. korálovitá *Horodyskia*, calymnian - 150Ma, S. Amerika, Austrálie, nejasnosti v syst. zařazení). Kooperativní mnohobuněčnost se vyvíjela nejméně v šesti eukaryontních skupinách (červené řasy, zelené řasy, 2-3 skupiny chromistů, houby, metazoa). Překvapivé je, že je dosud známo jen tak málo vymřelých eukaryontních kladů.
- 3) V ediakaru pak lze rozlišit dvě (tři) nová společenstva:
 - avalonská společenstva,
 - ediakarské formy následované přechodnými metazoi typu Doushantuo. Tento typ obsahuje i moderní řády červených řas. Mnohá akritarcha tohoto období nesou pravidelné výrůstky a povrchovou ornamentaci.
- 4) Překvapivé je, že je dosud známo jen tak málo vymřelých eukaryontních kladů.

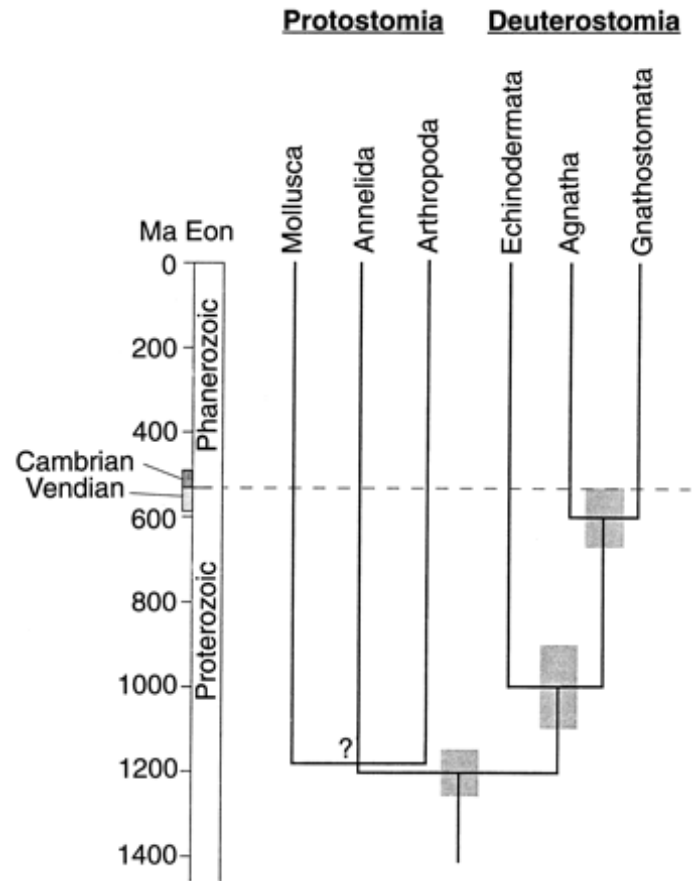


Fig. 1: Reproduction of fig. 2 from Wray *et al.* 1996 showing their estimated divergence times for selected metazoan phyla, based on seven genes, with standard errors indicated by shaded bars. The three estimated divergence times nest in agreement with well-corroborated phylogenetic relationships. Note that the chordate-echinoderm and chordate-protostome divergence times are significantly different from each other. Divergence times among the three protostome phyla were not estimated in their analysis. Although Wray *et al.* 1996 considers "the trend of the data to be more compelling than the exact numerical estimates" of divergence dates, the authors regard their conclusions as "incompatible with the Cambrian explosion hypothesis...."

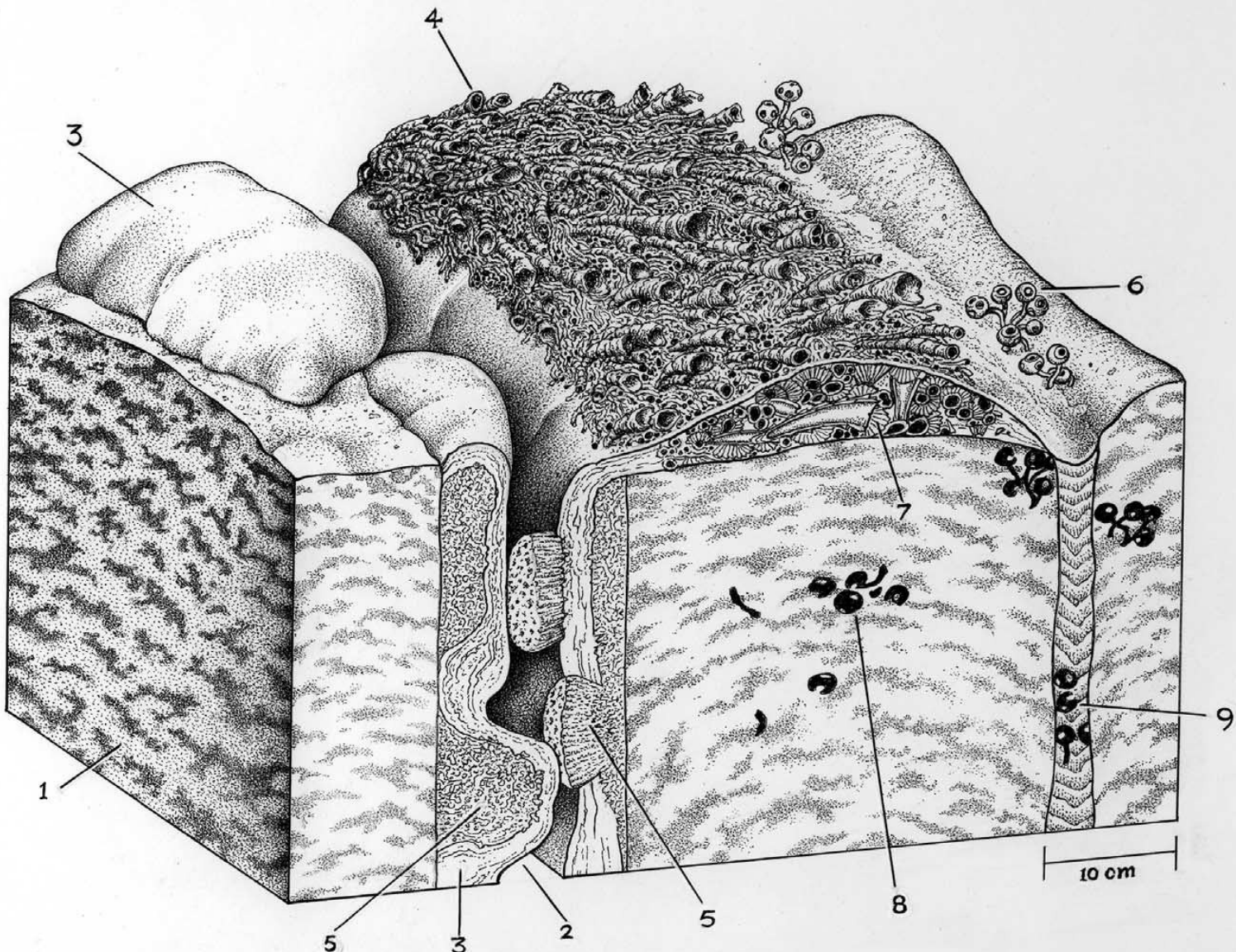


Fig. 2. Reconstruction of a late Ediacaran reef. 1, Thrombolite; 2, Neptunian dyke; 3, stromatolite; 4, Cloudina; 5, Namapoikia; 6, Namacalathus; 7, cement botryoids; 8, trapped Namacalathus; 9, sediment. [Image copyright: J. Sibbick]



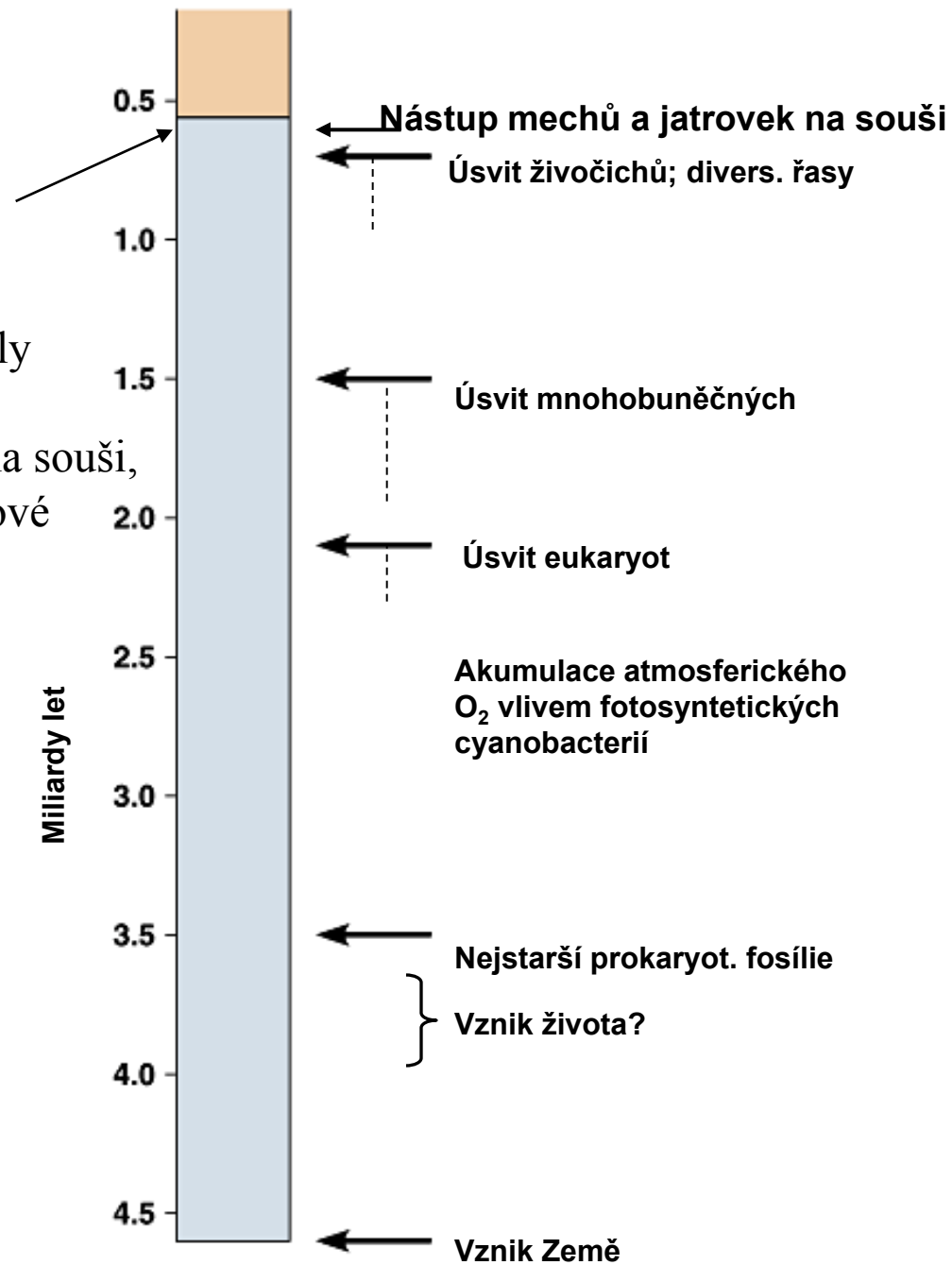
Recentní trombolity, Austrálie, Lake Clifton

Geologický záznam prekambria ukazuje, že

- - náš život je nejspíše čistě zemského původu
- - první známky života se objevují od ~ 3.8 Ga
- - první mikrofosílie od 3.5 Ga
- - první horniny spojené s životní činností organismů od 3.5 Ga
- - ekosystém na bázi kyslíku a eukaryota od ~ 2.3 Ga
- - rozvoj mnohobuněčných s pevnou kostrou, ~ 600 Ma
- - Země prodělávala silné biotické krize již v prekambriu
(např. vymizení 70% akritarch ve sv. prekambriu))

Přehled bioeventů v prekambriu

Izotopy O₁₈ a C₁₃ vápenců cca 800-600 Ma starých ukazují na dešťové vody, které spláchlly zbytky rostlinného původu => existence velkých ekosystémů této vegetace na souši, která dostačovala k vytvoření výrazné izotopové stopy. Toto zjištění upozorňuje i na to, že sturtské zalednění nemohlo být tak globální a intenzívní, aby neumožnilo vegetaci v ledovci nepokrytých oblastech.



Proterozoikum (2.5-0.543 Ga) se vyznačuje:

1. Počátkem **moderního stylu deskové tektoniky**. Laterální pohyby, podsouvání desek, rozpínání desek oceánského dna. Zemská kůra narůstá.
2. Počátek **moderního stylu sedimentace**. Na kontinentech vznikají široké kontinentální šelfy. Na nich se ukládají klastika a karbonáty.
3. **Zaledněními (začátek a konec proterozoika – cca 2.1 - 2.6, a 1.0 - 0.57 Ga).**
4. **Zvyšování koncentrace kyslíku v atmosféře** má za následek **vznik ozonové vrstvy, konec sedimentace páskovaných Fe rud**, které se tvoří jen při nízkém a kolísajícím O₂ a **nástup sedimentace červených vrstev** – klastických sedimentů (pískovce a prachovce s červeným železitým tmelem).
5. Po ukončení posledního zalednění (cca 575 Ma) **prudce vzrůstá obsah O₂** v atmosféře i relativně hlubokých vodách (měřeno na Novém Founlandu). Zde poté nastupuje avalonská a ediakarská biota (**Ediacarian**). Prudký vzrůst O₂ viz výše.
Názory (Knoll 2006): nástup hub a lišejníků na souši + zvětrávání + orogeneze

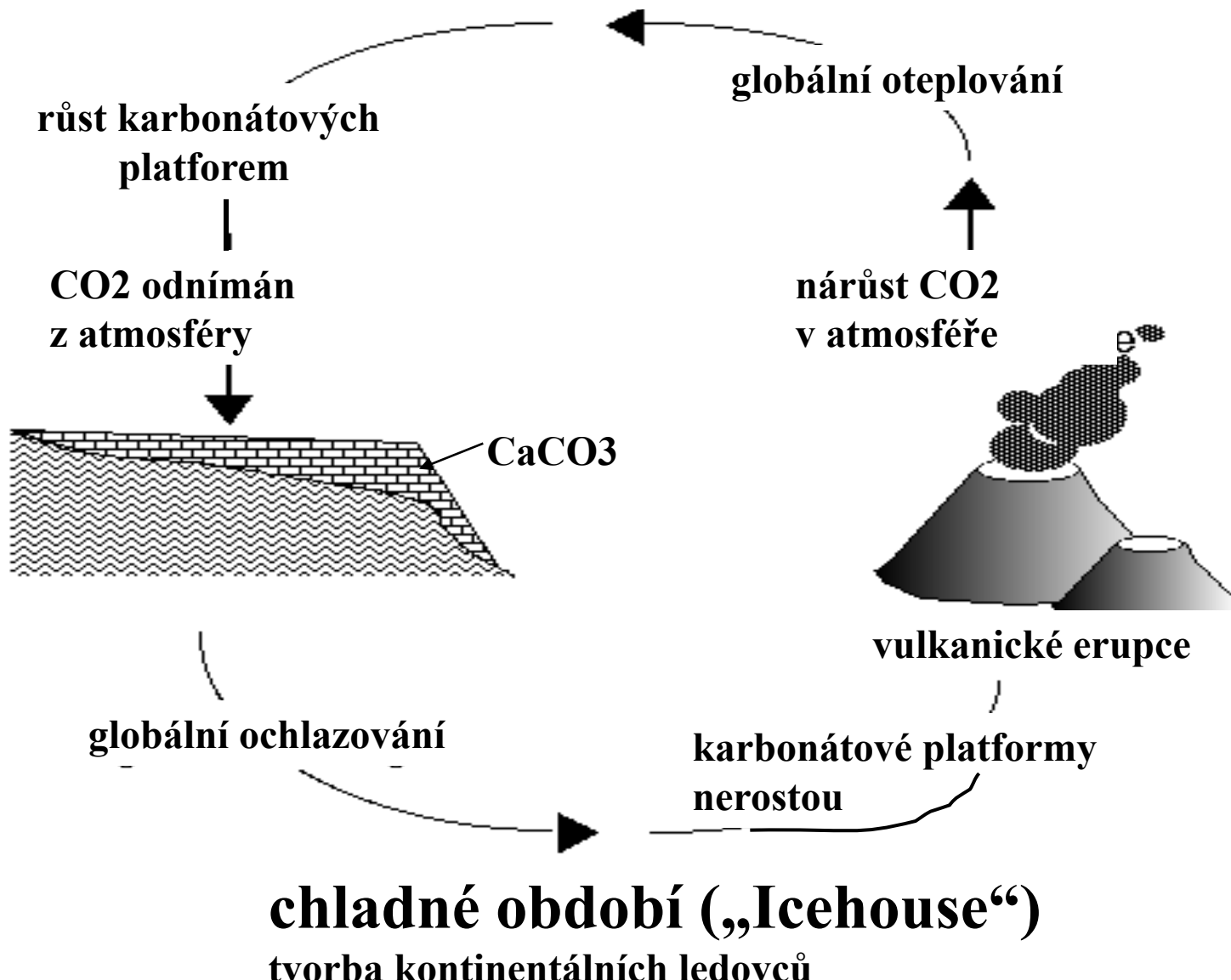
Role CO₂

Počátkem proterozoika vznikaly už značné plochy kontinentálních šelfů. Pokrýval je diverzifikovaný jednoduchý život v podobě řasových filmů, povlaků či koberců. To vedlo k tvorbě rozsáhlých karbonátových plošin (podobné jaké dnes existují v tropických oblastech – např. na Bahamách).

Tvorba karbonátových souvrství, podobně jako fotosyntéza, používá atmosferický CO₂ jako základního zdroje. Zatímco **organické látky** produkované fotosyntézou jsou poté rychle reoxidovány a **uvolňují (vracejí) CO₂** zpátky do atmosféry, **karbonáty** jsou ukládány jako sedimentární horniny **podržující CO₂** na velmi dlouhou dobu a vracející ho zpět až během dlouhého geologického času (např. desková tektonika-vulkanismus). **Růst karbonátových plošin** vede tedy ke **snížení obsahu CO₂** v atmosféře a ke snížení obsahu skleníkových plynů a tím i k **ochlazení**. Naopak, **zastavení růstu karbonátových plošin** vede k opačnému efektu a **oteplování planety**. Tak v proterozoiku startuje střídání teplých („greenhouse“) a chladných („icehouse“) období.

Viz následující obr.

teplé období („Greenhouse“)



Pro planetu je charakteristické střídání teplých a chladných období

Vymírání na konci proterozoika:

- **750 Ma** = zalednění (Země jako sněhová koule) = mizí 70 % všech řas (akritarcha)
- **550 Ma** = na hranici prekambrium/kambrium tříštění kontinentů, v nejspodnějším kambriu změna chemismu oceánů (např. exkurze izotopů Mo – profily Oman, Čína = upwelling euxinických dnových vod, Wille et al. 2007), mizí prakticky zcela měkkotělá „ediakarská fauna“, nástup skeletonizace, současně zaznamenána globální regrese, žádné stopy po impaktu, žádné zvýšení vulkanické činnosti.
=====> Hranice Prz/Cm = zemské faktory

Použité prameny:

- Courtillot, V. , 1999: Evolutionary Catastrophes, The Science of Mass Extinction. – Cambridge University Press, pp.173, Cambridge (UK).
- Gould J.S. (ed.), 1998: Dějiny planety Země. – Knižní klub, Columbus, pp. 256, Praha.
- Hallam, A., Wignall, P.B., 1997: Mass Extinctions and their Aftermath. – Oxford Univ. Press, pp. 320. Oxford.
- Kalvoda, J., Bábek, O., Brzobohatý, R., 1998: Historická geologie. – UP Olomouc, pp. 199. Olomouc.
- Lovelock, J., 1994: Gaia, živoucí planeta. – MF, MŽP ČR, Kolumbus 129, pp. 221. Praha.
- Margulisová, L., 2004: Symbiotická planeta, nový pohled na evoluci. – Academia, pp. 150. Praha.
- Pálfy, J., 2005: Katastrophen der Erdgeschichte – globales Aussterben ? – Schweizerbart. Ver. (Nägele u. Obermiller), pp. 245, Stuttgart.
- Paturi, F. X., 1995: Kronika Země. - Fortuna Print, pp. 576. Praha.
- Pokorný, V. a kol., 1992: Všeobecná paleontologie. – UK Praha, pp. 296. Praha.
- Raup, D.M., 1995: O zániku druhů. – Nakl. LN, pp.187. Praha.

Internet – různé databáze (především obrazová dokumentace)

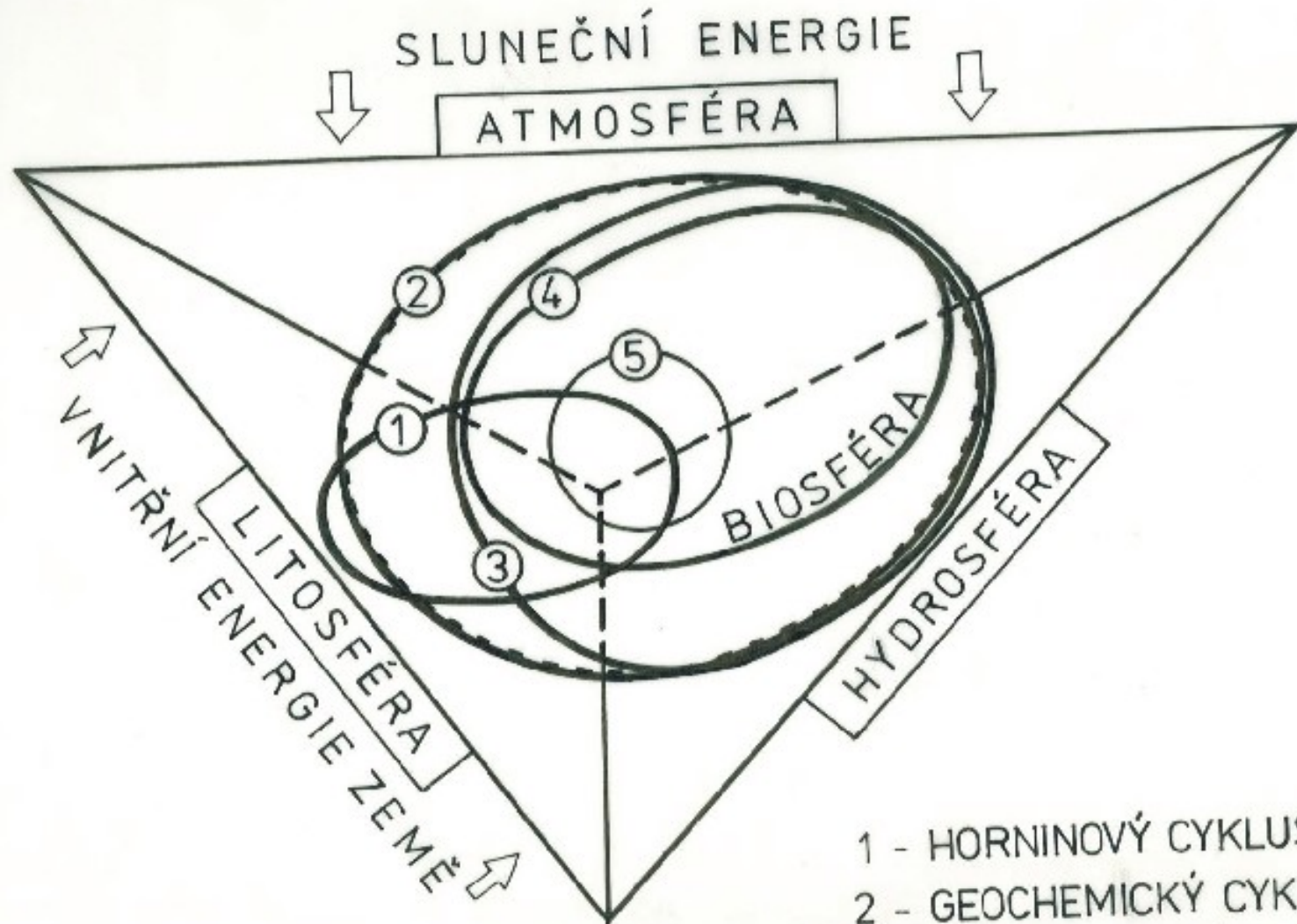


The Neoproterozoic era, which lasted from 1,000 million years ago to 542 million years ago, is divided into three distinct periods, beginning with the Tonian, extending through the Cryogenian and ending with the Ediacaran. The Cryogenian period is notable in Earth history for the extensive and repeated ice ages that took place, beginning with the massive Sturtian glaciation at the start of the period. This marked the first ice age on Earth in roughly 1.5 billion years, which is an unusually long time span between glaciations. Since the Cryogenian, Earth has endured an ice age about once every 100 to 200 million years.

The "snowball Earth" theory suggests that the Sturtian glaciation was global in scope, literally encasing the planet in ice, which could have wreaked havoc on the normal functioning of the carbon cycle. While the theory is controversial and the extent of the deep freeze is under investigation, research team member [Adam Maloof](#) co-wrote a March 2010 Science paper demonstrating that glaciers reached the equator some 716.5 million years ago, providing further evidence to support the existence of a Cryogenian "snowball Earth."

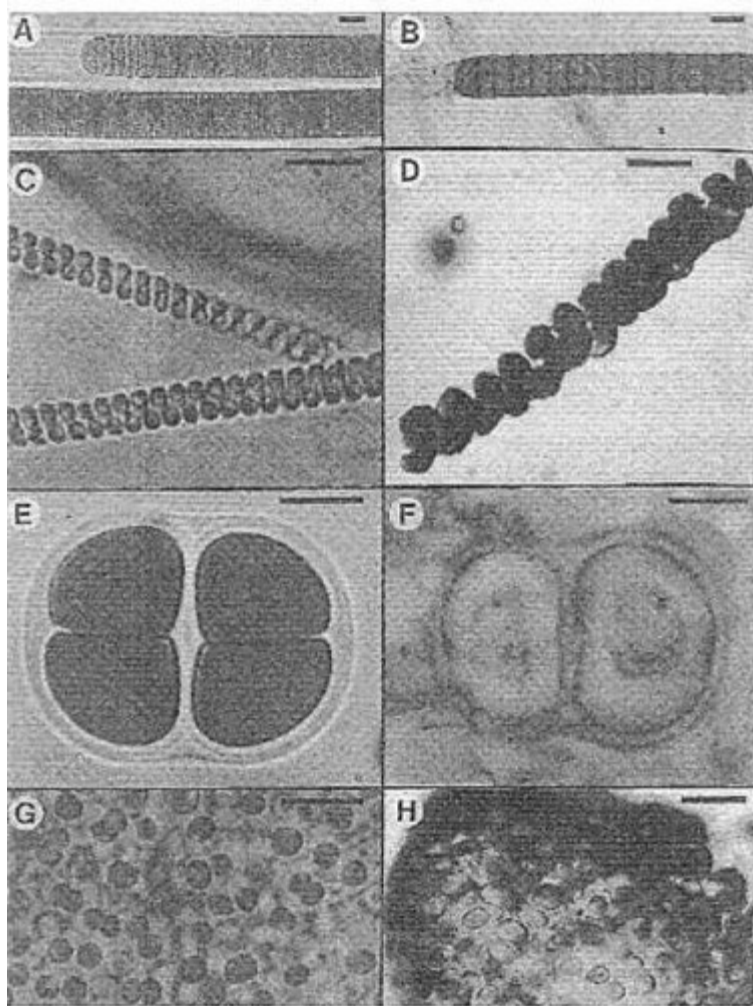
In the latest research, Swanson-Hysell, Maloof and their collaborators collected samples of limestone from Central and South Australia dating back to the Tonian and Cryogenian periods. Using a technique known as isotope analysis to learn how the carbon cycle worked in ancient times, the team pieced together clues that are hidden in the atomic composition of the carbon found in inorganic limestone sediment and ancient organic material. In addition, the geologists recorded where the samples were found in the rock layers to determine crucial information about the relative age of the samples and the environmental conditions under which they formed.

K Foto: Kuesty Jižní Australie



**Znázornění prolínání jednotlivých sfér
– Země jako celistvá entita**

- 1 - HORNINOVÝ CYKLUS
- 2 - GEOCHEMICKÝ CYKLUS
- 3 - HYDROLOGICKÝ CYKLUS
- 4 - BIOLOGICKÝ CYKLUS
- 5 - LIDSKÁ SPOLEČNOST



Living stromatolite-building cyanobacteria from northern Mexico (A, C, E, and G) and Precambrian look-alikes (B, from the 950-Ma-old Lakhanda Formation, and D, the 850-Ma-old Miroedikha Formation, both of Siberia; F, the 1,550-Ma-old Satka Formation of Bashkiria; and G, the 2,100-Ma-old Belcher Supergroup of Canada, Hudson Bay. (A) *Lyngbya*, compared with (B) *Palaeolyngbya*. (C) *Spirulina*, compared with (D) *Heliconema*. (E) *Gloeocapsa*, compared with (F) *Gloeodiniopsis*. (G) *Entophysalis*, compared with (H) *Eoentophysalis*. Bars for scale represent 10 μ m. From J. W. Schopf (1999) Fig. 8.10.